

WIADOMOŚCI TECHNICZNE

LOTNICTWA

KWARTALNIK

WYDAWANY PRZEZ DEPARTAMENT AERONAUTYKI M. S. WOJSK., JAKO DODATEK DO
„PRZEGLĄDU LOTNICZEGO”

AUTORZY ARTYKUŁÓW ZAMIESZCZONYCH W „PRZEGLĄDZIE LOTNICZYM” I „WIADOMOŚCIACH TECHNICZNYCH LOTNICTWA,
SĄ ODPOWIEDZIALNI ZA POGŁĄDY W NICH WYRAŻONE

TREŚĆ:

	Str.
<i>Inż. Jerzy Teisseyre</i> — Teorja autożyra	2
<i>Dr. inż. Stefan Neumark</i> — Obliczanie długości startu i lądowania z uwzględnieniem wiatru	33

*Czytelnikom i sympatykom „Przeгляdu
Lotniczego” i „Wiadomości Technicznych
Lotnictwa” składamy z Nowym Rokiem
na tej drodze życzenia wszelkiej pomyśl-
ności.*

REDAKCJA



4926
W or

Inż. JERZY TEISSEYRE

Teoria autożyra

W S T E P.

Autożyro, nowy typ maszyny latającej cięższej od powietrza, który pojawił się kilka lat temu na widowni, jest najmłodszym samolotem typu ruchomych skrzydeł. Dzięki epokowym pracom Juana de la Cierva, hiszpańskiego inżyniera, typ ten jest dzisiaj jedynym przedstawicielem maszyn latających przy pomocy rotujących skrzydeł, który stanął w rzędzie normalnych samolotów, posiadających za sobą przeszło ćwierć wieku rozwoju.

De la Cierva po katastrofie swego wielkiego samolotu bombardowego, zbudowanego w r. 1920 dla armji hiszpańskiej, postanowił zbudować samolot, którego bezpieczeństwo lotu nie zależałoby od szybkości poziomej.

Doświadczenia zajęły wynalazcy kilka lat czasu i dopiero ożwarta jego maszyna wzbila się w powietrze. Od tego czasu datuje się szybki rozwój autożyra.

Rotor autożyra, po szeregu ewolucyj, doszedł do obecnego swego stanu konstrukcyjnego. Składa się on z trzech lub czterech śmig, osadzonych na wspólnej piąście i rotujących samoczynnie podczas lotu maszyny. Śmig umocowane są do piasty zawiasowo w ten sposób, iż mogą się wychylać dookoła osi pionowej i poziomej. Okazało się to konieczne celem uniknięcia momentu żyroskopowego, b. trudnego do zrównoważenia w locie (a starającego się pochylić całą maszynę w bok) oraz celem uniknięcia momentów, gnących śmig rotora.

W ten sposób śmig rotora poddane są w locie sile odśrodkowej, której moment względem osi zawieszenia śmig równoważy moment wyporu dla każdej pojedynczej śmig.

Jasne jest zatem, iż każda ze śmig ustawia się w danym momencie w kierunku siły wypadkowej z siły nośnej i siły odśrodkowej. Śmig rotora tworzą zatem w locie bardzo płaski stożek, którego wierzchołek leży w osi rotora, podczas gdy śmig są wychylone lekko w górę.

Prócz tego, wskutek zmiany siły nośnej pojedynczej śmig w czasie jej jednego obrotu (spowodowanej składaniem się szybkości postępowej i obrotowej), każda ze śmig wykonuje ruch wahadłowy w górę i w dół.

Mianowicie, śmiga, poruszająca się do przodu, posiada oprócz swej szybkości obrotowej, jeszcze szybkość postępową, tak, iż zwiększona szybkość wypadkowa powoduje większy wypór i śmiga wychyla się w górę. Z tą chwilą otrzymuje śmiga składową szybkość pionową, która zmniejsza jej kąt natarcia, co pociąga znowu za sobą zmniejszenie wyporu i śmiga zaczyna opadać w dół. Odwrotnie ma się rzecz ze śmigą, poruszającą się do tyłu.

Ten ruch wahadłowy śmig da się dobrze przedstawić matematycznie w postaci krzywej, której równanie określa szereg Fourier'a (patrz dalej — teoria).

Samoczynny ruch obrotowy rotora występuje w locie pod wpływem wypadkowych sił aerodynamicznych, a mianowicie składowych wyporu, skierowanych do przodu, przyczem, jak wynika z teorii, $\frac{1}{2}$ zewnętrznej części śmigi jest napędzana przez $\frac{2}{3}$ wewnętrznej jej części.

Wypór, jaki daje rotor autożyra, daje początek nowej szybkości „indukowanej”, prostopadłej do płaszczyzny rotora, tak, że powstaje przepływ powietrza przez tę płaszczyznę w kierunku z dołu do góry, przyczem rozkład szybkości tej nie jest jednostajny wzdłuż płaszczyzny rotora.

Możemy zatem wirujący rotor uważać jako pewnego rodzaju przekrój przepływowy powietrza, przez który przepływa ono pod ciśnieniem

$$p = \frac{G}{R^2 \pi} \frac{\text{ciężar całkowity autożyra}}{\text{powierzchnia rotora}}$$

Ruch obrotowy rotora jest utrzymywany kosztem pewnej energii, powstałej przez przepływ mas powietrza przez płaszczyznę rotora, pod wpływem obciążenia powierzchniowego „ p ”. Jednak z powodu napotykanym w tym przekroju oporów, masa powietrza, przepływającego przez przekrój, będzie w jednostce czasu mniejszą, niżby to odpowiadało ciśnieniu „ p ”. Dla idealnego rotora, przepływ powietrza byłby równy zero (patrz rozdział XII), gdyż w tym wypadku opór profilu samej śmigi (nie rotora), jest równy zero (oczywiście jest to z fizycznego punktu widzenia fikcją). Zatem im mniejsza jest moc, jakiej potrzebuje rotor do utrzymania swego ruchu wirowego, tem mniejszy jest przepływ powietrza przez jego płaszczyznę, tem „szczelniejsza” jest powierzchnia rotora.

Przebieg zjawisk w rotorze z powodu różnych szybkości, jak obrotowej, postępowej, indukowanej — złożonego przestrzennego układu strug powietrza — oraz z powodu ruchu wahającego śmig i ich bezwładności, jest tak skomplikowany, że możemy tylko pod pewnemi przybliżonemi założeniami upraszczającemi, rozpatrywać ten problem.

W rotorze należy rozróżnić dwa problemy: jeden odnosi się do zjawisk, zachodzących na poszczególnych śmigach, drugi do rotora jako całości.

Rotor, jako całość odpowiada dobrze teorii płaszczyzn nośnych Prandtl'a i określa nam wielkość oporu indukowanego. Poszczególne śmig natomiast, oprócz siły nośnej, określają nam dolną granicę dla strat przepływu, jeżeli rozpatrujemy problem przy znacznem uproszczeniu zjawisk, zaś przy dokładniejszym rozpatrywaniu dają nam zjawiska ruchu wahającego, oraz dalsze pochodne tego zjawiska.

W ogólności podczas lotu działają na rotor następujące siły: siła wyporu pionowa w górę, siła oporu pozioma, prócz tego siła boczna prostopadła do poprzednich dwóch, a zatem i do osi obrotu rotoru. Siła ta powstaje dzięki stożkowi, utworzonemu w locie przez śmigły, jakoteż dzięki zakrzywieniu samych śmigł.

Poza tem działa na rotor moment obrotowy, który przy ruchu jednostajnym jest oczywiście równy zeru.

Pierwszą teorię autożyra opracował w roku 1926 H. Glauert, zaś uzupełnił ją i rozszerzył Lock.

Teoria Glauert'a opiera się na szeregu założeń upraszczających z których najważniejsze są:

1) Szybkość osiowa prostopadła do płaszczyzny rotoru pozostaje w stałym stosunku do szybkości postępowej i jest wobec niej mała.

2) Spółczynnik wyporu śmigły jest proporcjonalny do kąta natarcia, zaś współczynnik oporu jest stały.

3) Ruch wahający śmigł możemy przedstawić w postaci szeregu Fourrier'a.

4) Śmigła wygięta jest w locie w łuk koła o małej wysokości strzałki ugięcia. (Lock przyjmuje 3% promienia).

Należy zwrócić uwagę, iż niektóre z tych założeń można z góry osądzić jako nie odpowiadające rzeczywistości, a wprowadzone jedynie celem uproszczenia teorii.

Co do szybkości osiowej, to rozkład jej nie jest równomierny na całej powierzchni rotoru, co zresztą Glauert uwzględnił w swej pracy, jednak rodzaj tego rozkładu przyjmuje dość dowolnie. Sprawa ta nie jest dotychczas należycie wyjaśniona, przyczem teoria natrafia tu na znaczne trudności matematyczne. Jedynie doświadczenia, prawdopodobnie, będą nam mogły dać należyte wyjaśnienie tej kwestji.

Co do współczynnika oporu śmigły, to założenie stałego współczynnika można uważać za słuszne jedynie w pierwszym i to grubym przybliżeniu. Współczynnik wyporu śmigły ma wzdłuż jej promienia różne wartości, zaś współczynnik oporu jest zależny od C_y .

Należałoby tu raczej (wg. Schrenk'a) wprowadzić zależność paraboliczną $C_x = C_{x0} + m \cdot C_y^2$.

Również założenie, iż śmigła wygina się w locie w łuk koła o stałej strzałce ugięcia, jest niezgodne z rzeczywistością. W przybliżonych rozważaniach, można założyć, iż siła odśrodkowa jest tak duża w porównaniu do siły wyporu, iż śmigła ma kształt prosty, a kąt jej wychylenia jest bardzo mały. Jednak tak zachowują się jedynie modele rotoru w tunelach aerodynamicznych, gdzie śmigły są stosunkowo znacznie mocniejsze i cięższe, niż w rzeczywistości (około 3 — 5 razy cięższe, ze względu na możliwość wykonania modelu).

W rzeczywistości śmigła jest sprężysta i aby to uwidocznić w teorii, nie można przyjąć średniej szybkości przepływu za podstawę rachunku, gdyż chodzi tu nie o siły średnie, lecz maksymalne.

Rozkład obciążenia na śmigłach wygląda następująco: Siła odśrodkowa rośnie linjowo wzdłuż długości śmigły od zera do pewnej wartości maksymalnej zaś siła

nośna rośnie parabolicznie (położenie śmigły równoległe do osi podłużnej autożyra kąt $\psi = 0^\circ$ i 180°) zatem śmigła na skutek różnicy momentów obu obciążeń wygina się lekko wypukłością w górę.

Przy wychyleniu śmigły o kąt $\psi = 90^\circ$ do przodu (od płaszczyzny symetrii autożyra) przesuwają się wypadkowa wyporu silnie ku środkowi obrotu rotoru (a nawet może stać się ujemną), przyczem śmigła wygina się lekko wypukłością w dół.

Odwrotnie, przy kącie położenia śmigły $\psi = 270^\circ$, siła wypadkowa rotoru wędruje silnie na zewnątrz, czyli w tym wypadku śmigła będzie najbardziej wygięta łukiem w górę.

Zatem podczas jednego obrotu poddana jest śmigła pewnemu przymusowemu drganiu gnącemu.

Widzimy zatem, iż teoria Glauert'a, oparta na pewnych założeniach upraszczających, jest jedynie pierwszym przybliżeniem.

Jednak, mimo to, oddaje ona dobrze właściwości aerodynamiczne rotoru oraz wzajemne związki i zależności, zachodzące pomiędzy poszczególnymi czynnikami.

Teoria, podana w niniejszym artykule, opracowana została na podstawie publikacji Glauert'a. Uzupełniłem ją pracami późniejszych autorów (Lock, Townend, Caygill, Nutt i inni), oraz własnymi przeliczeniami, których dokonałem, celem lepszego uświadomienia czytelnikowi samej teorii, jako też sposobu jej zastosowania i lepszego wnikięcia w jej istotę.

Przy końcu podałem przykład przeliczenia wycyńców autożyra według tej teorii.

Ponieważ cała teoria, jako też wszystkie współczynniki doświadczalne, podane są w pracach Glauert'a w odniesieniu do miar, używanych w Anglii, przeto by nie przeliczać wielu współczynników (co byłoby rzeczą uciążliwą), przeliczeń dokonałem według miar, używanych w Anglii, zamieniając następnie otrzymane wyniki na miary, używane w Polsce.

Poniżej podaję kilka ważniejszych wielkości w miarach angielskich i polskich.

	Miary Angielskie	Miary Polskie
Gęstość powietrza	$\gamma = \rho = \frac{1}{420} \frac{lb, sek^2}{ft^4}$	$\frac{1}{8} \frac{kg, sek^2}{m^4}$
Długość	stopa = ft	0,3048 mtr.
Ciężar	funt = lb	0,4536 kg.
Obciążenie	lb/ft ²	4,883 kg/m ²
Moc	1 HP	1,0138 MK
Długość	1 mila	1609,3 mtr.
Moc	550 lb.ft/sek	75 kgm/sek

Do studjowania teorii autożyra i napisania niniejszej pracy, skłoniło mnie przeświadczenie, iż już obecnie ten rodzaj maszyn latających wkroczył zdecydowanie w sferę realnych możliwości, a wyniki przez nie osiągnięte wróżą im dużą przyszłość.

Jasną jest rzeczą, iż autożyro nie zastąpi samolotu o stałych skrzydłach, jednak zajmie w dziedzinie ma-

szyn latających miejsce obok niego — podobnie jak sterowce i t. p.

Sądzę, iż polscy inżynierowie i technicy lotnicy spotkają się prędzej czy później z problemem autożyra.

Należy zaznaczyć, iż teoria autożyra jest dopiero w początkach swego rozwoju, a praca tu podana stanowi wstęp do dalszego gruntownego studjum.

Niezbędne są dalsze badania, które będą musiały wyświetlić wiele kwestyj, dotychczas niejasnych lub niedokładnie zbadanych — stanowią one cel dalszych prac w tej dziedzinie, koniecznych do podjęcia.

TEORJA AUTOŻYRA

W poniższych wywodach przyjęto następujące oznaczenia.

B = ilość śmig rotora.

R = $D/2$ = promień śmig.

c = szerokość śmig.

M_1 = moment ciężaru jednej śmig około jej osi.

J_1 = Biegunowy moment bezwładności śmig (względem jej osi wahan).

ψ = kąt określający położenie śmig w płaszczyźnie rotora, liczony od płaszczyzny symetrii autożyra.

Θ = kąt zaklinowania profilu śmig.

r = promień danego elementu śmig.

G_1 = ciężar jednej śmig.

I_1 = moment bezwładności śmig (około jej osi wahan).

ω = szybkość kątowa rotora.

β = wychylenie kątowe śmig (około jej osi poziomej wahan).

Φ = kąt natarcia szybkości wypadkowej na element łopaty.

RUCH ROTORU

i = kąt natarcia całego rotora.

V = szybkość lotu autożyra.

u = szybkość osiowa prostop. do płaszc. rotora.

$U = R\omega$ = szybkość obwodowa końców śmig.

v_i = szybkość osiowa indukowana.

W = szybkość wypadkowa w odniesieniu do elementu śmig.

S I Ł Y

G = ciężar całkowity rotora.

T = ciąg prostop. do płaszc. rotora.

X = opór rotora.

Y = wypór rotora.

$p = \frac{G}{R^2 \pi}$ = obciążenie powierzchni rotora.

H = siła podłużna.

Z = siła boczna.

Q = moment obrotowy w płaszc. rotora.

SPÓŁCZYNNIKI.

$T_c = \frac{T}{\pi R^2 \frac{\gamma}{g} \omega^2 R^2}$ podobnie $H_c = \frac{H}{\pi R^2 \frac{\gamma}{g} \omega^2 R}$ i t. d.

$$K_x = \frac{X}{\pi R^2 \frac{\gamma}{g} V^2} \text{ podobnie } K_y = \frac{Y}{\pi R^2 \frac{\gamma}{g} V^2}$$

K_L oraz K_D = współczynniki wyporu i oporu profilu śmig.

δ = średni współczynnik oporu profilu śmig.

$$\sigma = \frac{B \cdot c}{R \pi} = \frac{\text{powierzchnia śmig}}{\text{powierzchnia rotora}}$$

$$s = \frac{u}{R \omega} = \frac{\text{szybkość osiowa}}{\text{szybkość obwodowa końca śmig}}$$

$$t = \frac{V}{R \omega} = \frac{\text{szybkość lotu}}{\text{szybkość obwodowa końca śmig}}$$

I. SIŁY DZIAŁAJĄCE NA ROTOR.

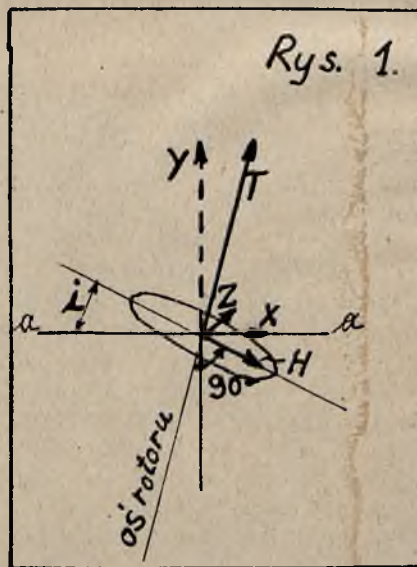
Konstruktor projektujący autożyra, musi zgóry określić jego własności aerodynamiczne i ich zmianę w razie zmiany głównych wymiarów rotora. Do tego celu służy teoria, która pozwala zorientować się co do przypuszczalnych wyników, jako też co do ważności danego czynnika na własności lotne rotora.

Teoria podana poniżej, rozwinięta została pod następującymi założeniami ogólnymi (prócz dodatkowych założeń, podanych w tekście):

1) Kąty natarcia śmig są małe.

2) Wpływ splotu strug jest podobny, jak przy normalnym skrzydle.

3) Ruch bijący śmig możemy przedstawić w postaci szeregu Fourier'a, przyczem tylko pierwsze wyrazy harmoniczne wystarczy zatrzymać w wyrażeniach perjo-dycznych.



Uważajmy linię a-a (rys. 1), jako kierunek lotu autożyra, zaś kąt „i” jako kąt natarcia rotora, natenczas ogólnie biorąc, siły wypadkowe działające na rotora będą:

T = ciąg w górę prostop. do pł. rotora,

H = siła pozioma prostop. do ciągu T , a leżąca w płaszczyźnie rotora oraz w płaszczyźnie ruchu autożyra.

Z = siła boczna prostop. do poprzednich i uważana za dodatnią, jeżeli leży po stronie ruchu śmigła do przodu.

Zatem wypór Y i opór X wyrażają się równaniami:

$$\left. \begin{aligned} Y &= T \cos. i - H \sin. i \\ X &= T \sin. i + H \cos. i \end{aligned} \right\} \dots \dots (1)$$

By wyrazić siły w formie niemianowanych współczynników, bierzemy za podstawę odniesienia powierzchnię całego rotora $F = R^2 \cdot \pi$, zaś jako szybkość, szybkość obwodową końca śmigła $U = R \omega$.

Dzięki przegiębnemu umocowaniu śmigła, jedyny moment, jaki można przenieść na oś rotora, jest moment kręcący „ Q ” — dodatni, jeżeli przeciwstawia się ruchowi obrotowemu rotora.

Siły T, H, Z, Q , możemy wyrazić zapomocą równań

$$\left. \begin{aligned} T &= T_c F \frac{\gamma}{g} R^2 \omega^2 = T_c F \frac{\gamma}{g} U^2 \\ H &= H_c F \frac{\gamma}{g} U^2 \\ Z &= Z_c F \frac{\gamma}{g} U^2 \\ Q &= Q_c F \frac{\gamma}{g} R^3 \omega^2 = Q_c F \frac{\gamma}{g} U^2 \cdot R \end{aligned} \right\} \dots (2)$$

Widzimy odrazu, iż wielkości T, H, Z, Q , są niezależne od szybkości lotu autożyra, lecz jedynie od szybkości obwodowej, a zatem od średnicy i ilości obrotów rotora. Z drugiej strony możemy wziąć pod uwagę całkowitą powierzchnię rotora, jako jednostajną płaszczyznę, poruszającą się w powietrzu z szybkością V , natenczas otrzymamy:

$$\left. \begin{aligned} X &= K_x F \frac{\gamma}{g} V^2 \\ Y &= K_y F \frac{\gamma}{g} V^2 \\ Z &= K_z F \frac{\gamma}{g} V^2 \end{aligned} \right\} \dots \dots (3)$$

Równania znane dobrze z aerodynamiki płatowca oznaczając $\frac{V}{R \omega} = \frac{V}{U} = t$, i rugując Y i X oraz T i H (z równania 1) otrzymamy:

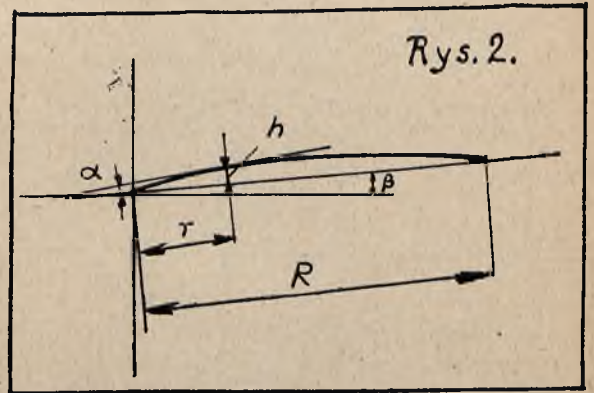
$$\begin{aligned} X &= K_x F \frac{\gamma}{g} V^2 = T_c F \frac{\gamma}{g} V^2 \sin. i + \\ &+ H_c F \frac{\gamma}{g} V^2 \cos. i \text{ czyli: } \dots \dots (4) \end{aligned}$$

$$\begin{aligned} t^2 K_x &= T_c \sin. i + H_c \cos. i \\ t^2 K_y &= T_c \cos. i - H_c \sin. i \end{aligned} \dots \dots (5)$$

które to równania, jak widzimy, dają nam związek między obiema grupami współczynników K_x, K_y, T_c, H_c .

II. RUCH ŚMIG.

Nim przejdziemy do dalszych rozważań ogólnych, musimy zająć się bliżej ruchami samych śmigła. Jak mówiliśmy każda śmigła jest zawieszona swobodnie na osi pociągowej, tak, iż może się wychylać od płaszczyzny rotora w górę (i w dół). Istnieje też oś pionowa, pozwalająca na ruchy śmigła w jej własnej płaszczyźnie obrotu, jednak w tej chwili nie obchodzi nas ona. W czasie lotu śmigła nie zachowuje linii prostej, lecz tworzy linię krzywą, lekko wypukłą ku górze, przyczem linja ta jest w przybliżeniu łukiem koła (rys. 2) i za taki będziemy



Rys. 2.

ją uważać w dalszych rozważaniach. Weźmy dowolny przekrój przez śmigło w odległości „ r ” od osi obrotu. Wzniesienie łuku wynosi w tym przekroju „ h ” zaś z styczną w tym punkcie tworzy kąt „ α ” z płaszczyzną chwilową śmigła $x - x$,

$$\text{czyli } d \alpha \simeq \frac{d h}{d r}$$

Ogólnie biorąc do matematycznego przedstawienia krzywizny śmigła potrzeba nam znajomości następujących czterech całek:

$$\begin{aligned} \int_0^R \alpha d r &= 0 \\ \int_0^R \alpha r d r &= - \int_0^R h d r = - \eta_1 R^2 \\ \int_0^R \alpha r^2 d r &= - 2 \int_0^R h r d r = - 2 \eta_2 R^3 \\ \int_0^R \alpha^2 r d r &= e R^2 \end{aligned} \dots (6)$$

Czyli, że krzywizna śmigła jest całkowicie określona trzema współczynnikami η_1, η_2, e . Ruch bijący śmigła zależy zatem od trzech całek obejmujących masę śmigła „ m ” i jej ciężar G_1 .

Jeżeli przyjmiemy, że ciężar śmigła rozłożony jest równomiernie wzdłuż jej długości, to równanie określające moment ciężaru śmigła według jej osi obrotu (poziomej) będzie:

$$M_1 = \int_0^R m \cdot g \cdot r d r = m \cdot g \cdot \frac{R^2}{2} = \mu G_1 R \dots (7a)$$

gdzie g = jest przysp. ziemskim, zaś m = masa śmigła na jednostkę długości.

$$I_1 = \int_0^R m \cdot r^2 \cdot dr = \mu_2 \frac{C_1}{g} R^2 \dots (7b)$$

Równanie to określa moment bezwładności śmigła względem jej osi poziomej wahania.

$$J_1 = \int_0^R m h r dr = \epsilon I_1 \dots (7c)$$

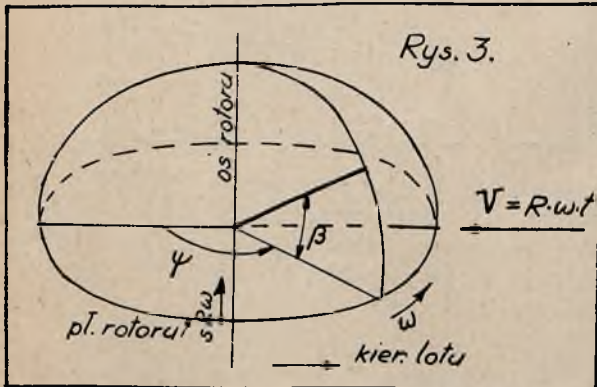
Równanie to daje nam biegunowy moment bezwładności śmigła względem jej osi wahania.

Jeżeli przyjmiemy jednostajne rozłożenie masy śmigła, a jej wygięcie za łuk koła to współczynniki powyższe mają wartości:

$$\begin{aligned} \mu_1 &= 0,5 & \eta_1 &= 2/3 \epsilon \\ \mu_2 &= 1/3 & \eta_2 &= 1/3 \epsilon \dots \dots \dots (8) \\ & & \text{zaś } e &= 8/3 \epsilon^2 \end{aligned}$$

Dla typowej wartości $\epsilon = 0,03$, otrzymujemy

$$\begin{aligned} \eta_1 &= 0,02 \\ \eta_2 &= 0,01 \\ e &= 0,0024 \end{aligned}$$



Położenie śmigła w każdej chwili jest ściśle określone jej kątem obrotu ψ (Rys. 3) (od położenia zerowego), oraz kątem β wzniesienia śmigła ponad płaszczyznę idealną rotora. Ponieważ kąty α oraz β są bardzo małe, możemy napisać równanie ruchu bijącego śmigła w postaci:

$$\int_0^R m r^2 \ddot{\beta} dr = \int_0^R \frac{dT_1}{dr} r dr - \int_0^R m g r dr - \int_0^R m \omega^2 r (r \beta + h) dr \text{ lub } \dots (9)$$

$$I_1 (\ddot{\beta} + \omega^2 \beta) = (T \cdot M_1) - M_1 - \omega^2 J_1 \dots (10)$$

przyczem wskaźnik „I” oznacza, że wartości te odnoszą się do jednej śmigła (zaś β oznacza przyspieszenie kątowe ruchu bijącego).

Widzimy, że wyraz po lewej stronie równania 9 jest masowym momentem bezwładności śmigła według jej osi wahania, pierwszy wyraz po prawej stronie jest momentem siły nośnej według osi wahania, drugi wyraz

jest momentem ciężaru śmigła według jej osi wahania, zaś wyraz trzeci momentem siły odśrodkowej śmigła.

Kąt β jak już powiedziano, jest zmienny, gdyż śmigła wykonuje kolejno ruch w górę i w dół, zależnie od swego położenia, czyli od kąta ψ . Kąt β jest zatem (przy danych wymiarach śmigła, jej ciężarze, kącie nastawienia i ilości obrotów), pewną funkcją kąta ψ , przyczem należy zaznaczyć, iż ruch bijący śmigła jest ruchem perjodycznym. Jak wiadomo, można według Fourier'a prawie każdą dowolną funkcję przedstawić jako sumę sinusoid, a zatem każde perjodyczne wahanie można rozłożyć na pewną liczbę sinusoid o 1 — 2 — 3 ...n perjodach i dowolnym przesunięciu fazy. Glauert zakłada, iż funkcję $\beta = f(\psi)$ można rozwinąć w szereg Fourier'a — co dobrze zgadza się z rzeczywistością. Zatem otrzymamy:

$$\beta = a_0 - a_1 \cos. \psi - b_1 \sin. \psi - a_2 \cos. 2\psi - b_2 \sin. 2\psi \dots (11)$$

przyczem w myśl poprzednio podanych założeń zachowujemy tylko dwa pierwsze wyrazy harmoniczne, a zatem równanie przybierze postać:

$$\beta = a_0 - a \cos. \psi - b_1 \sin. \psi \dots (12)$$

Wartości a_0 , a_1 , b_1 można w przybliżeniu określić następująco:

Oznaczając przez β_a , β_c , β_b , β_d wartość kąta β dla $\psi = 0^\circ$, 90° , 180° i 270° można udowodnić, iż (zaniedbując wyrazy harmoniczne 4-go i wyższych rzędów

$$a_0 = \frac{1}{4} [\beta_a + \beta_b + \beta_c + \beta_d] \dots (13)$$

zaś zaniedbując wyrazy harmoniczne 3-go i wyższych rzędów:

$$\begin{aligned} a_1 &= \frac{1}{2} (\beta_a - \beta_c) \\ b_1 &= \frac{1}{2} (\beta_b - \beta_d) \dots \dots \dots (14) \end{aligned}$$

Wartość a_0 zależy w pierwszym przybliżeniu od:

- 1) momentu ciężaru śmigła według jej osi (mom. ten jest w przybliżeniu stały),
- 2) momentu siły odśrodkowej (proporcj. do ω^2),
- 3) momentu siły nośnej (w przybl. prop. do ω i niezależny od kąta natarcia).

Czyli, że a_0 jest funkcją ω , którą to funkcję można przedstawić w postaci:

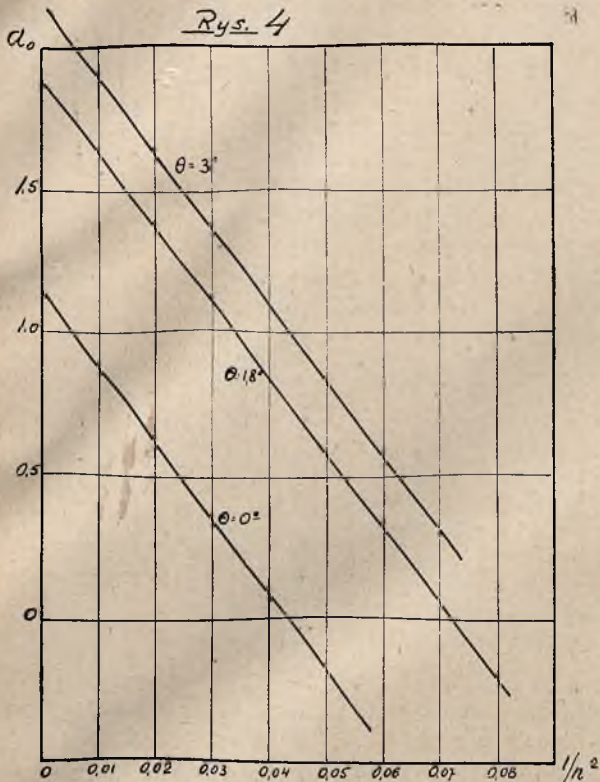
$$a_0 = A - \frac{M_1}{I_1 \cdot \omega^2} \dots \dots \dots (15)$$

gdzie A jest wartością stałą.

Na rys. 4 mamy wykreślone a_0 w zależności od

$$\frac{1}{n^2} - \left(\text{prop. do } \frac{1}{\omega^2} \right)$$

Doświadczenia wykazały, iż dla danej śmigła na każdym kącie zaklinowania funkcja $a_0 = f \left(\frac{1}{n^2} \right)$ jest linią prostą:

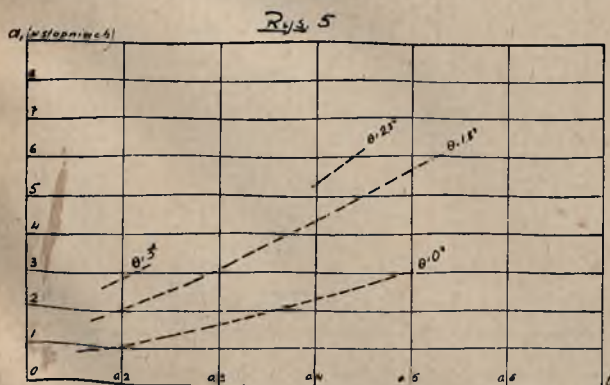


Współczynnik a_1 przedstawia pól składowej waha-
nia w płaszczyźnie symetrii. Rys. 5 pokazuje nam ten
współczynnik w funkcji $t = \frac{V \cos. i}{R_0 \omega}$. Widzimy tam,
iż a_1 rośnie wraz z kątem zaklinowania śmigła θ oraz
wraz z „ t ”. Współczynnik b_1 przedstawia boczne nachy-
lenie koła, po którym poruszają się końce śmig. Wraz
z tym współczynnikiem należy rozpatrzyć siłę boczną Z ,
a to z powodów następujących:

Wartości b_1 i Z stają się równe zero dla nieskoń-
czenie ciężkich, równych śmig — ponieważ wtedy kąt
wychylenia „ β ” jako też krzywizna śmigła są równe zero.

Zniknięcie b_1 i Z dla prostych śmig zależy w dużym
przybliżeniu od zniknięcia kąta a_0 .

Te wyniki zależą od założenia początkowego, mia-



nowicie, że szybkość przepływu powietrza dzięki inter-
ferencji strug (patrz niżej) jest stała na całej powierzch-
ni rotora, jednak H. Glauert sądzi, iż zakrzywienie stru-
mienienia daje początek wystąpienia współczynników b_1 i Z
i otrzymuje równania (rozdział III i X) pod założeniem,
iż szybkość indukowana zmienia się linijowo wraz ze
współrzędną kątową położenia śmigła.

Na modelach wykazano, iż zmiana ciężaru śmigła i jej
siły odśrodkowej zmienia b , znacznie a_0 wraz ze zmianą
ilości obrotów rotora, co daje t. zw. fikcyjny „efekt
skali”.

Ten „efekt skali” wpływa też na b_1 i Z w takim
stopniu, w jakim zależą one od a_0 , co się zaś dotyczy ich
zależności od krzywizny strumienia *) to „efekt skali”
nie daje się odczuć.

Glauert przyjmuje cylindryczne zakrzywienie pola —
celem wyjaśnienia faktu istnienia siły bocznej.

Równanie 11 podaje nam kąt wychylenia śmigła w za-
leżności od kąta obrotu rotora ψ . Współczynniki zawarte
w tem równaniu możemy wyliczyć według Lock'a z na-
stępujących równań:

$$a_0 = C \left\{ \frac{1}{3} s + \frac{1}{4} \theta (1 + t^2) \right\}$$

$$a_1 = a'_1 - \frac{2}{3} t b_2 \text{ gdzie: } a'_1 = \frac{2 t (s + \frac{4}{3} \theta)}{1 - \frac{1}{2} t^2} \dots (16)$$

$$b_1 = \frac{\frac{4}{3} t a_0}{1 + \frac{1}{2} t^2} + \frac{2}{3} t a_2$$

oraz:

$$3 a_2 - \frac{1}{2} C b_2 = C \left[-\frac{1}{4} t^2 \theta + \frac{1}{3} t a_1 \right]$$

$$\frac{1}{2} C a_2 + 3 b_2 = C \left[-\frac{1}{4} t^2 a_0 + \frac{1}{3} t b_1 \right] \dots (17)$$

W równaniu 17 jest zupełnie wystarczające wsta-
wić:

$$a_0 = \left[\frac{1}{3} s + \frac{1}{4} \theta \right]$$

$$a_1 = 2 t \left[s - \frac{4}{3} \theta \right]$$

$$b_1 = \frac{4}{3} t a_0 \dots (17a)$$

W równaniach tych współczynnik C (wynoszący dla

*) Teoria wykazuje, iż „pole przepływu” powietrza
nie jest płaskie lecz posiada pewną krzywiznę.

normalnych maszyn około 5 do 10) określa się równaniem (stosunek wyporu do siły odśrodkowej):

$$C = \frac{c \frac{\gamma}{g} \alpha R^1}{I_1}$$

gdzie jak wiadomo

$$I_1 = \mu_2 \frac{G_1}{g} R^2 \text{ (rów. 7b) (17b)}$$

Przykład: Załóżmy ciężar śmigła

$$G_1 = 16,5 \text{ kg}$$

$$R = 5,5 \text{ m}$$

$$c = 0,25 \text{ m}$$

$$n = 215 \text{ obr. rot. na min. (można obliczyć z równania 50 lub 81)}$$

$$V = 170 \text{ km/godz.}$$

$$\text{Wówczas } t = \frac{R \omega}{V} = 0,38, \text{ zaś } \alpha \text{ możemy przyjąć ok. } 3\%$$

Skąd otrzymujemy

$$C = \frac{0,25 \cdot 3 \cdot 5,5^4}{8 \cdot 17} \text{ gdyż } I_1 = \frac{1}{3} \frac{16,5}{9,81} 5,5^2 = 17 \text{ kgm}$$

$$\text{zatem } C = 5,25, \text{ zaś kładąc } s = 0,022 \text{ (por. równ. 57) } \theta = 2^\circ$$

otrzymamy:

$$a_0 = 5,25 \left\{ \frac{1}{3} 0,022 - \frac{1}{4} 2^\circ (1 - t^2) \right\} = 3,05^\circ$$

$$a'_1 = \frac{0,76 \left(0,022 + \frac{4}{3} 2 \right)}{1 - \frac{1}{2} 0,145} = 2,2^\circ$$

z równań 17a wyliczamy analogicznie:

$$a_1 = 0,76 \left(0,022 - \frac{4}{3} 2 \right) = 2,05$$

$$b_1 = \frac{4}{3} 0,38 \cdot 2,67 = 1,36$$

$$a_0 = 5,25 \left(\frac{1}{3} 0,022 - 0,5 \right) = 2,67 \text{ i wstawiamy w równania 17, wtedy otrzymujemy:}$$

$$3a_2 - \frac{1}{2} 5,25 b_2 = 5,25 \left\{ -\frac{1}{4} 0,38^2 + \frac{1}{3} 0,38 \cdot 2,05 \right\} = 0,99$$

oraz:

$$\frac{1}{2} 5,25 a_2 - 3b_2 = 5,25 \left\{ -\frac{1}{4} 0,38^2 \cdot 2,67 + \frac{1}{3} 0,38 \cdot 1,36 \right\} = 0,395$$

po rozwiązaniu tych równań otrzymujemy:

$$a_2 = 0,254 \text{ zaś } b_2 = -0,089$$

czyli ostatecznie:

$$a_1 = a'_1 - \frac{2}{3} 0,38 \cdot b_2 = 2,2 + \frac{2}{3} 0,38 \cdot 0,089 = 2,22$$

$$b_1 = \frac{\frac{4}{3} 0,38 \cdot 3,05}{1 + \frac{1}{2} 0,38^2} +$$

$$+ \frac{2}{3} 0,38 \cdot 0,254 = 1,44 + 0,0644 = 1,504$$

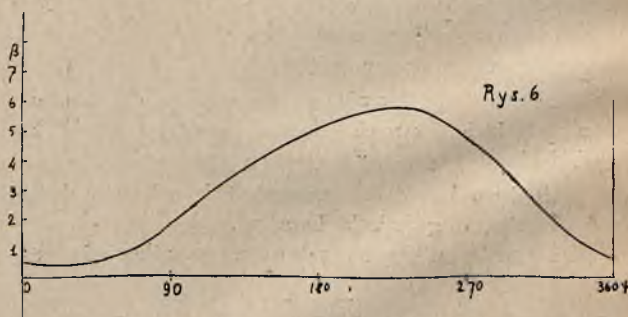
Zatem otrzymamy równanie:

$$\beta = 3,05 - 2,22 \cos. \psi - 1,5 \sin. \psi - 0,254 \cos. 2\psi + 0,089 \sin. 2\psi$$

Ustawiamy tabelkę (patrz niżej):

Na wykresie 6 mamy przedstawioną tę funkcję. Jak widzimy najmniejszy kąt $\beta = 0,51^\circ$ otrzymaliśmy przy $\psi = 45^\circ$, następnie śmigła zaczyna iść w górę (pod wpływem sił aerodynamicznych) i siłą swjej bezwładności osiąga punkt szczytowy wzniesienia po przekroczeniu skrajnego położenia, gdyż dopiero przy kącie $\psi = 225^\circ$. Odrazu widzimy, iż kąt ten odpowiada kątowi 45° , czyli, że, gdy jedna ze śmigła jest wzniesiona pod kątem $5,77^\circ$ to śmigła przeciwległa ma wtedy kąt wzniesienia tylko $0,5^\circ$.

Fakt ten jest rzeczą bardzo ważną przy konstrukcji



$\psi =$	0°	45°	90°	135°	180°	225°	270°	315°	360°	
$\cos. \psi$	1	0,707	0	-0,707	-1	-0,707	0	0,707	1	
$\sin. \psi$	0	0,707	1	0,707	0	-0,707	-1	-0,707	0	
$\cos. 2\psi$	1	0	-1	-0,707	1	0	-1	0	1	
$\sin. 2\psi$	0	1	0	-0,707	0	1	0	-1	0	
$\beta =$	$0,576^\circ$	$0,51^\circ$	$1,8^\circ$	$3,67^\circ$	$5,016^\circ$	$5,77^\circ$	$4,80^\circ$	$2,45^\circ$	$0,576^\circ$	stopnia

autożyra, gdyż pociąga za sobą konieczność odpowiedniego ustawienia osi rotora.

Dla kontroli sprawdzamy równania 13 i 14:

$$a_0 = \frac{1}{4} (0,576 + 1,8 + 5,016 + 4,8) = \frac{12,2}{4} = 3,05$$

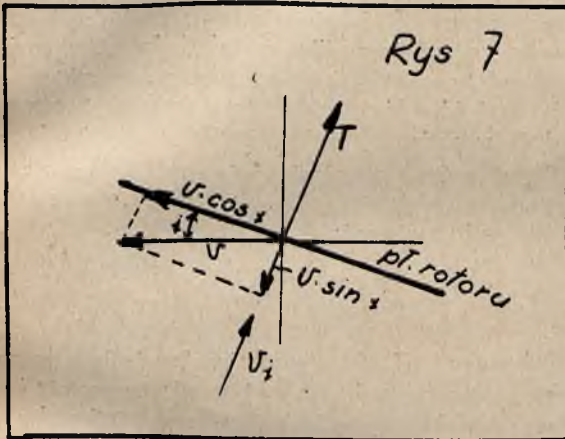
$$a_1 = \frac{1}{2} (0,567 - 5,016) = 2,22$$

$$b_1 = \frac{1}{2} (1,8 - 4,8) = 1,5$$

Jak widzimy równania te sprawdzają się zupełnie dokładnie.

III. INTERFERENCJA STRUG.

Autożyro lecące na kącie natarcia „i” rys. 7 z szybkością V jest w zasadzie wiatrakiem opadającym z szybkością V. sin. i i posuwającym się z szybkością V. cos. i w swej płaszczyźnie obrotu. Jednak zważywszy, że kąt „i” jest naogół bardzo mały, szybkość V. cos. i jest



znacznie większą od szybkości V. sin. i, czyli, że szybkość indukowana odpowiada raczej takiejże szybkości profilu skrzydłowego, niż śmigła. Przy normalnym profilu lotniczym (jeśli nie uwzględnimy wiskozy), istnieje, jak udowodnił Żukowski, wypór, mimo, iż opór jest równy zeru. W rzeczywistości wpływ wiskozy daje siły styczne dające opór, a przy samym profilu powstaje wskutek tego warstwa wirów (wskutek zmiany szybkości powietrza opływającego profil). Obecność tych wirów daje (jak udowodnił Żukowski), początek nowej szybkości prostopadłej do szybkości poprzedniej — jest to tak zwana szybkość indukowana, określona według Betz'a równaniem:

$$V_i = - \frac{1}{\pi} C_y \frac{V \cdot F}{b^2} \dots \dots (18)$$

gdzie b — rozpiętość płata, F — jego powierzchnia.

Odpowiedni opór indukowany

$$C_{xi} = \frac{C_y^2}{\pi} \cdot \frac{F}{b^2} \dots \dots (19)$$

Zatem szybkość indukowana V_i jest równoległa do osi rotora.

Przyjmijmy na razie, iż wielkość jej jest stała na całej powierzchni rotora.

Zatem wypadkowa szybkość V' z szybkości rzeczywistej V i szybkości indukowanej V_i może być określona równaniem:

$$V'^2 = (V - V_i \cdot \sin. i)^2 + V_i^2 \cos.^2 i = (V \sin. i - V_i)^2 + V^2 \cos.^2 i \dots (20)$$

H. Glauert proponuje na określenie szybkości indukowanej V_i równanie:

$$V_i = \frac{T}{2 \pi R^2 \rho V'} \text{ gdzie } \rho = \frac{\gamma}{g} \dots \dots (21)$$

Jeżeli „i” oraz T są małe możemy napisać w przybliżeniu:

$$V_i = \frac{T}{2 \pi R^2 \rho V} \dots \dots (22)$$

Jak łatwo zauważyć jest to normalne równanie dla szybkości indukowanej skrzydła o rozpiętości b = 2 R, dającego wypór T albowiem podstawiając:

$$T = C_y V^2 \frac{\rho}{2} F \text{ otrzymamy:}$$

$$V_i = \frac{C_y V^2 F \cdot \rho}{4 R^2 \pi \cdot \rho V} = \frac{C_y V F}{4 R^2 \pi} = \frac{C_y F \cdot V}{\pi b^2}$$

Jeżeli teraz i ≈ 90° to otrzymujemy:

$$T = 2 \pi R^2 \rho (V - V_i) V_i \dots \dots (23)$$

zwykłe równanie momentów dla śmigła.

Widzimy zatem, iż ważność równania 21 obowiązuje dla dość dużego zakresu kątów natarcia. Stąd szybkość osiowa prostopadła do płaszczyzny rotora wyrazi się równaniem:

$$u = V \sin. i - V_i = s R \omega \dots \dots (24)$$

zaś współcz. „s” określa się równaniem:

$$s = \frac{u}{R \omega} \text{ szybkość osiowa} \text{ / } \text{szybkość obwodowa końca śmigła} \dots (25)$$

czyli, że równanie 21 można wyrazić wzorem:

$$t \sin. i = s + \frac{0,5 T_c}{\sqrt{t^2 \cos.^2 i + s^2}} \dots (26)$$

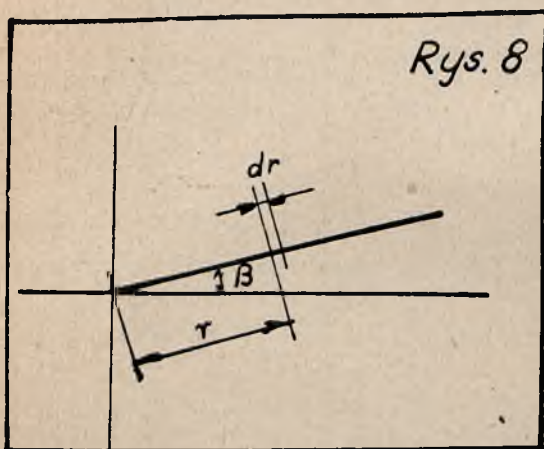
po wstawieniu odpowiednich wartości z równań „24” i kładąc $t = \frac{V}{R \omega}$.

Dla małych kątów natarcia możemy z dostatecznym przybliżeniem pominąć wyraz „s” jako bardzo mały w porównaniu do t cos. i i zaczem otrzymamy:

$$t (t \cdot i - s) = 0,5 T_c \dots \dots (27)$$

IV. SZYBKOŚĆ W ODNIESIENIU DO ELEMENTU ŚMIGI.

Uważajmy element łopatki śmigłowej dr w odległości r od osi rotora. Położenie śmigła określone jest kątem ψ od położenia zerowego. (Rys. 8).



Dzięki ruchowi wahajacemu śmigła i jej zakrzywieniu element śmigła jest nachylony pod niewielkim kątem ($\beta + \alpha$) do linii prostopadłej do osi rotora. Jak widzieliśmy szybkość powietrza względem rotora ma składową $u = V \sin. i - V_1$ równoległą do osi rotora, oraz $V \cos. i$ prostopadłą do osi rotora, podczas gdy element śmigła ma szybkość obrotową kątową (ω) wokoło osi rotora, oraz szybkość kątową „ β ” wokoło osi zawieszenia śmigła. Zatem szybkość powietrza względem elementu śmigła posiada następujące składowe (rys. 9).

Szybkość prostopadła do osi rotora:

$$W \cos. \Phi = \omega r + V \cos. i \sin. \psi, \dots (28)$$

zaś szybkość równoległa do osi rotora

$$W \sin. \Phi = u - r \beta - (\beta + \alpha) V \cos. i \sin. \psi \dots (29)$$

szybkość promieniowa wzdłuż elementu dr :

$$u (\beta + \alpha) + V \cos. i \cos. \psi \text{ szybkość tę zaniedbujemy } (30)$$

Zatrzymując jedynie pierwsze harmoniczne wyrazy dla kąta ψ i zakładając, że kąt Φ jest mały otrzymujemy:

$$W = \omega r + V \cos. i \sin. \psi \dots (31)$$

$$W \Phi = \omega R. s - \omega r \beta_1 \sin. (\psi - \psi_1) - (\beta_0 + \alpha) V \cos. i \cos. \psi \text{ oraz analogicznie: } \dots (32)$$

$$W^2 = \omega^2 r^2 + 2 r V \cos. i \sin. \psi$$

$$\Phi W^2 = \omega^2 R. r. s - 2 \omega R s V \cos. i \sin. \psi - \omega^2. r^2 \beta_1 \sin. (\psi - \psi_1) - \omega r (\beta_0 + \alpha) V \cos. i \cos. \psi$$

$$\Phi^2 W^2 = \omega^2 r^2 s^2 - 2 \omega^2 R r s \beta_1 \sin. (\psi - \psi) - 2 \omega R s (\beta_0 + \alpha) V \cos. i \cos. \psi \dots (33)$$

Założenia, na których oparto powyższe równania obowiązują oczywiście jedynie w pewnych określonych granicach. W pobliżu piasty każdej ze śmigł, oraz na znacznej części śmigł idących do tyłu kąt Φ przestaje być małym ponieważ strumień powietrza (przy nasadzie śmigła idącej do tyłu, wskutek małej szybkości

obwodowej w tem miejscu), uderza wtedy w krawędź odpływu profilu. W pobliżu piasty śmigła przybliżenia te są zatem nie ważne, co nie ma jednak praktycznego znaczenia, jednak o ile założenia powyższe nie obowiązują na znacznej długości śmigł biegnących do tyłu, to metody obliczeń powyższych przestają być ważne. Nie można wyznaczyć tu oczywiście dokładnej granicy, jednak Glauert w swej pracy zakłada, iż składowa $W \cos.$ musi być dodatnia na zewnętrznej długości połowy śmigła biegnącej do tyłu. Zatem granica ważności powyżej wyprowadzonych wzorów określałaby się równaniem:

$$\frac{V \cos. i}{R \omega} < 0,5 \dots (34)$$

Współczynnik wyporu i oporu elementu śmigła zależne są od dwóch rodzajów ruchu śmigła na danym kącie natarcia elementu $\varphi = (\Theta + \Phi)$.

Dla małych kątów natarcia współczynnik wyporu jest proporcjonalny do kąta natarcia, gdyż profil śmigła jest symetryczny. Również opór profilu pociąga za sobą tylko małą poprawkę dla siły wypadkowej, tak, iż można przyjąć jako opór profilu pewien opór średni niezależny od kąta natarcia. Ten współczynnik oporu oznaczamy przez „ δ ”. Wartość ta jest oczywiście większą, niż opór rzeczywisty profilu na małych kątach natarcia, jednak należy wziąć pod uwagę, że współczynnik oporu rośnie na śmidze biegnącej do tyłu skutkiem rosnącego tam kąta natarcia.

Dalsze zatem rozważania opieramy na założeniu określającym zależność wyporu i oporu od kątów Θ oraz Φ według równań:

$$K_D = 3 (\Theta + \Phi)$$

$$K_L = \delta \dots (35)$$

Założenie, iż K_L jest proporcjonalne do kąta natarcia jest ważne tylko do pewnych granic i przestaje być takim, gdy kąt natarcia osiąga wartość krytyczną, czyli w pobliżu utraty szybkości. Symetryczny profil Göttingen 429, lub R. A. F. 30, które stosuje się na śmigła rotora osiąga tę granicę przy 9° , czyli 0,16 radjana, a zatem granica ważności tych wzorów jest określona równaniem:

$$\Theta + \Phi < 0,15 \text{ rad. } \dots (36)$$

Opuszczając wyrazy perijodyczne z równania 31 i 32 otrzymujemy:

$$\Phi = \frac{s R}{r} \dots (37)$$

i jeżeli elementy śmigła pracują poniżej kąta krytycznego na zewnętrznych połowach śmigł, natenczas musi być:

$$\Theta + 2 s < 0,15 \text{ rad. } \dots (38)$$

Warunek ten zgóry nakłada granicę dla kąta zaklinowania łopatki Θ , dla którego ważne są niniejsze rozważania. Odpowiednie wyliczenia dają nam, po uwzględ-

nieniu wartości s wyliczonej w dalszym ciągu niniejszej pracy (Rozdział VII), wartości graniczne:

$$\begin{aligned} \delta &= 0,004 \quad 0,006 \quad 0,008 \quad 0,010 \\ \theta &= 7,8^\circ \quad 7,4^\circ \quad 7,0^\circ \quad 6,6^\circ \end{aligned}$$

V. CIĄG ROTORU W GORE.

Dla jednej śmigły rotora (znak „I”) mamy równanie określające ciąg elementarny:

$dT_1 = 3 (\theta + \Phi) c \rho W^2 dr$ jednak na mocy równania 33 mamy:

$$3 (\theta + \Phi) W^2 = 3 \omega^2 [\theta r^2 + s r R] + \sin. \psi \left\{ 3 (2 \theta r + R s) \omega V \cos. i - 3 \omega^2 r^2 \beta_1 \cos. \psi_1 \right\} + \cos. \psi \left\{ 3 \omega^2 r^2 \beta_1 \sin. \psi_1 - 3 \omega r (\beta_0 + \alpha) V \cos. i \right\} \dots (39)$$

Jeśli teraz zsumujemy wyrażenia dla wszystkich śmigł rotoru to perjodyczną wyrazy się znoszą, a zatem całkowity wypór (prostop. do pow. rotora) wyrazi się równaniem:

$$dT = 3 B c \rho \omega^2 (\theta r^2 + s R r) dr$$

czyli:

$$T = 3 B \cdot c \rho \omega^2 \left(\theta \frac{1}{3} R^3 + s R \frac{R^2}{2} \right) \dots (40)$$

$$T = B c \rho \omega^2 R^3 \left(\theta + \frac{3}{2} s \right).$$

Jednak BcR jest całkowitą powierzchnią śmigł, zaś

$\sigma = \frac{Bc}{R\pi}$, przyczem według równania 2 mieliśmy:

$T = T_c \pi R^2 \rho \omega^2 R^2$ gdy wstawić tę wartość w równanie 40 to otrzymamy:

$$T_c \pi R^2 \rho \omega^2 R^2 = B c \rho \omega^2 R^3 \left(\theta + \frac{3}{2} s \right)$$

a zatem:

$$T_c \pi R = Bc \left(\theta + \frac{3}{2} s \right)$$

czyli ostatecznie:

$$T_c = \sigma \left(\theta + \frac{3}{2} s \right) \dots (41)$$

jest to współczynnik siły ciągu rotora prostopadłej do jego powierzchni.

By wyznaczyć wypór przypadający na jedną śmigłę T_1 całkujemy wyraz perjodyczny z równania 39 przyczem otrzymujemy:

$$c \rho \omega^2 R^3 \left\{ \sin. \psi \left[3 \left(\theta + s \right) \frac{V \cos. i}{\omega R} - \beta_1 \cos. \psi_1 \right] + \cos. \psi \left[\beta_1 \sin. \psi_1 - \left(\frac{3}{2} \beta_0 - 3 \eta_1 \right) \frac{V \cos. i}{\omega R} \right] \right\}$$

zaś wstawiając wartości z równania 47, otrzymamy:

$$c \rho \omega^2 R^3 \left\{ \left(\frac{1}{3} \theta + s \right) \sin. \psi - \left(\frac{1}{6} \beta_0 - 3 \eta_1 + \right. \right.$$

$$\left. + 8 \eta_2 \right) \cos. \psi \left. \right\} \frac{V \cos. i}{\omega R}$$

tak, że wypór dla jednej śmigły wyrazi się równaniem:

$$\begin{aligned} \frac{T_1}{c \rho \omega^2 R^3} &= \left(\theta + \frac{3}{2} s \right) + \left\{ \left(\frac{1}{3} \theta + s \right) \sin. \psi - \right. \\ &\left. - \left(\frac{1}{6} \beta_0 - 3 \eta_1 + 8 \eta_2 \right) \cos. \psi \right\} \frac{V \cos. i}{\omega R} \end{aligned}$$

wstawiając np. $B = 4$, $\theta = 2^\circ$, $\sigma = 0,2$, $\delta = 0,006$, $\epsilon = 0,03$ otrzymamy:

$$T_1 = c \rho \omega^2 R^3 \left\{ 0,068 + \left[0,034 \sin. \psi - 0,039 \cos. \psi \right] \frac{V \cos. i}{\omega R} \right\}.$$

Ponieważ poprzednio założyliśmy jako granicę ważności naszych wzorów stosunek maksymalny $\frac{V \cos. i}{\omega R} = 0,5$ (co zachodzić może przy bardzo dużych szybkościach autożyry) to możemy przekonać się, iż wypór na jednej śmigldze waha się w granicach 38% w obie strony od swej średniej wartości.

VI. MOMENT CIĄGU I RUCH WAHAJĄCY ŚMIG.

Moment wyporu dla jednej śmigły wyrazi się równaniem:

$$r dT_1 = 3 (\theta + \Phi) c \rho W^2 r dr \dots (43)$$

Jak już powiedziano wyżej — przy rozpatrywaniu ruchu śmigł, moment wyporu jest niezależny od kąta położenia śmigły ψ i ma wartość określoną równaniem:

$$\frac{(TM)_1}{R G_1} = \mu_1 + \mu_2 (\beta_0 + \epsilon) \frac{\omega^2 R}{g} \dots (44)$$

po scałkowaniu równania 43 współczynnik przy $\sin. \psi$ ma wartość:

$$\left(2 \theta + \frac{3}{2} s \right) \omega R^3 V \cos. i - \frac{3}{4} \omega^2 R^4 \beta_1 \cos. \psi_1 = 0 \quad (45)$$

zaś przy $\cos. \psi$ współczynnik

$$\frac{3}{4} \omega^2 R^4 \beta_1 \sin. \psi_1 - (\beta_0 - 6 \eta_2) \omega R^3 V \cos. i = 0 \quad (46)$$

lub:

$$\beta_1 \cos. \psi = \frac{8}{3} \left(\theta + \frac{3}{4} s \right) \frac{V \cos. i}{R \omega} \dots (47)$$

oraz

$$\beta_1 \sin. \psi = \frac{4}{3} (\beta_0 - 6 \eta_2) \frac{V \cos. i}{R \omega}$$

stąd otrzymujemy:

$$\text{tang. } \psi_1 = \frac{\frac{1}{2} \beta_0 - 3 \eta_2}{\theta + \frac{3}{4} s} \dots (48)$$

Moment wyporu na każdej ze śmigł można zatem określić równaniem (na mocy równania 40):

$$(TM)_1 = c \rho \omega^2 R^4 \left(\frac{3}{4} \theta + s \right) \dots (49)$$

a zatem przy pomocy równania 44 można określić wartość kąta wychylenia śmigła w górę β_0 .

Zauważyć przytem należy, iż wartości kąta ψ oraz β_0 i β_1 są bardzo czułe na ciężar pojedynczej śmigły i jej krzywiznę. Wartości te zmieniają się znacznie, gdy założymy szybkość pionową indukowaną jako perjodycznie zmienną.

Ponieważ w locie zachodzi równowaga wyporu i ciężaru maszyny zatem:

$$Q = T = B c \rho \omega^2 R^3 \left(\theta + \frac{3}{2} s \right) \dots (50)$$

Równanie to pozwala nam określić przy danym ciężarze autożyra, danych wymiarach i ilości śmigł, oraz kąta ich zaklinowania szybkość kątową „ ω ”, a więc ilość obrotów rotora.

Jak widzimy z równania tego otrzymujemy na ilość obrotów rotora wartość stałą, co jednak nie jest całkiem ściśle, gdyż w rzeczywistości obroty rotora lekko się wahają (w granicach około 10%).

Równanie 44 w połączeniu z 49 i 50 daje nam:

$$\beta_0 + \varepsilon = \frac{g \rho \sigma \pi R^3 \left[\left(\frac{3}{4} \theta + s \right) \mu_1 \left(\theta + \frac{2}{3} s \right) \right]}{\mu_2 \left[\frac{B G_1}{Q} \right]} \quad (51)$$

np. dla $\sigma = 0,2$, $\delta = 0,006$, $\frac{G_1}{Q} = 0,03$, $\frac{Q}{\pi R^2} = + 2$ funty/ stopę² $R = 17,5$ stóp (przykład zaczerpnięty z Glauert'a) mamy:

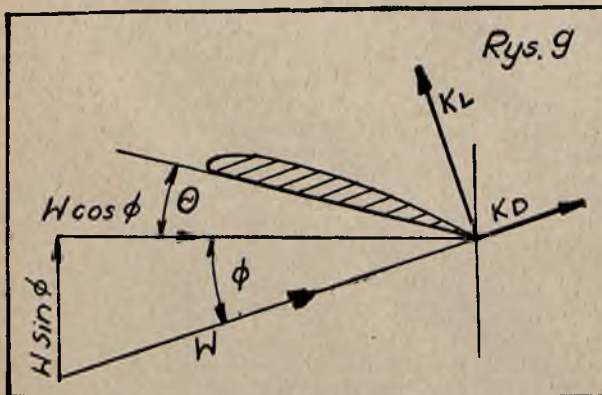
$$\beta_0 + 0,030 = 0,16 - 0,14 = 0,146$$

$$\beta_0 = 0,116 = 6,5^\circ$$

$$\text{tang. } \psi_1 = 0,54, \psi_1 = 28,5^\circ$$

$$\beta_1 = 0,157 \frac{V \cos. i}{R \omega} = 9^\circ \frac{V \cos. i}{R \omega}$$

VII. MOMENT OBROTOWY. (Rys. 9).



$$\frac{d Q_1}{d r} = (K_D \cos. \Phi - K_L \sin. \Phi) c \rho W^2 r \cong (K_D - \Phi K_L) c \rho W^2 r = (\delta - 3 \Phi \theta - 3 \Phi^2) c \rho W^2 r \quad (52)$$

na podstawie równania 33 mamy:

$$(\delta - 3 \theta \Phi - 3 \Phi^2) W^2 = \omega^2 (\delta r^2 - 3 \theta s R r - 3 s^2 R^2) + \sin. \psi \{ (2 \delta r - 3 \theta s R) \omega V \cos. i + 3 \omega^2 (\theta r^2 + 2 s R r) \beta_1 \cos. \psi_1 \} + \cos. \psi \{ 3 (\theta r + 2 s R) \beta_0 + \alpha \} \omega V \cos. i - 3 \omega^2 (\theta r^2 + 2 s R r) \beta_1 \sin. \psi_1 \} \dots (53)$$

Sumując wszystkie śmigły przekonamy się, iż wyrazy perjodyczne znikają, a zatem całkowity moment kręcący wyraża się równaniem:

$$Q_c = B c \rho \omega^2 R^4 \left(\frac{1}{4} \delta - \theta s + \frac{3}{2} s^2 \right)$$

czyli współczynnik Q_c według równania 2 wyrazi się

$$\left(\text{kładąc } \sigma = \frac{B c}{R \pi} \right) \text{ wzorem: } \dots (54)$$

$$Q_c = \frac{1}{4} \sigma \left\{ \delta - 4 s \left(\theta + \frac{3}{2} s \right) \right\} = \frac{1}{4} \sigma \delta - s T_c \quad (55)$$

Ponieważ dla ruchu jednostajnego moment kręcący musi być równy zeru, czyli $Q_c = 0$.

Zatem otrzymamy z równania 55 zależność:

$$\delta = 4 s \left(\theta + \frac{3}{2} s \right) \dots (56)$$

Równanie to określa nam współczynnik „s” w zależności od kąta nastawienia śmigła θ , oraz średniego współczynnika oporu profilu δ . Jak powiedzieliśmy poprzednio współczynnik „s” wyraża nam stosunek szybkości osiowej „u” do szybkości obwodowej końca śmigły $R \omega$, a zatem równania 50 i 56 wskazują nam, iż dany rotor autożyra pracuje przy określonych warunkach „ ω ” i „u”, które są niezależne od kąta natarcia rotora jako całości.

Z równania 56 otrzymujemy po przekształceniu:

$$s = \frac{1}{3} \left\{ \sqrt{\theta^2 + \frac{3}{2} \delta} - \theta \right\} \dots (57)$$

Poniższa tabelka podaje nam odpowiednie wartości dla „s” przeliczone według tego równania przyczem widzimy, iż wartość tego współczynnika jest (przy określonym kącie θ i oporze δ) stałą niezależną od szybkości posuwistej ani też od kąta natarcia rotora.

$\theta =$	0	2°	4°	6°
$\delta = 0$	0	0	0	0
$\delta = 0,003$	0,0224	0,0136	0,0090	0,0065
$\delta = 0,006$	0,0316	0,0220	0,0160	0,0121
$\delta = 0,010$	0,0408	0,0308	0,0237	0,0188

Moment obrotowy dla jednej śmigły określa ją wyraz perijodyczne wg. równania 53, z którego otrzymujemy:

$$Q_1 = c \rho \omega^2 R^4 \left\{ \sin. \psi \left[\left(\frac{2}{3} \delta - \frac{3}{2} \theta s \right) \frac{V \cos. i}{R \omega} + \frac{3}{4} \left(\theta + 2 s \right) \beta_1 \cos. \psi_1 \right] + \cos. \psi \left[\left(\theta \beta_0 + 3 s \beta_0 - 6 \theta \gamma_2 - 6 s \gamma_1 \right) \frac{V \cos. i}{R \omega} - \left(\frac{3}{4} \theta + 2 s \right) \beta_1 \sin. \psi_1 \right] \right\} \quad (58)$$

zaś wstawiając wartości z równania 47 otrzymujemy:

$$Q_1 = c \rho \omega^2 R^4 \left\{ \left[\left(\frac{2}{3} \delta + 2 \theta^2 + \frac{16}{3} s \theta + 4 s^2 \right) \sin. \psi + s \left(\frac{1}{3} \beta_0 - 6 \gamma_1 + 16 \gamma_2 \right) \cos. \psi \right] \frac{V \cos. i}{R \omega} \dots \right\} \quad (59)$$

Wstawiając dla przykładu poprzednio przyjęte wartości, otrzymujemy:

$$\frac{Q_1}{c \rho \omega^2 R^4} = (0,0125 \sin. \psi + 0,0017 \cos. \psi) \frac{V \cos. i}{R \omega}$$

Zatem, moment ten działa hamująco na śmigłę idącą do przodu, zaś napędzająco na śmigłę, idącą do tyłu.

Fakt ten potwierdza się w praktyce, gdzie, jak wiadomo, przy rotorze np. czterosmigłowym, śmigły nie ustawiają się w locie (patrzac z góry) pod kątami do siebie prostopadłymi, lecz są nieco od tych położen wychylone, a to: śmigła idąca do przodu jest nieco cofnięta, zaś śmigła, idąca do tyłu, nieco wysunięta w stosunku do położenia prostopadłego.

VIII. SIŁA PODŁUŻNA.

Siłę podłużną dla jednej śmigły wyliczamy z równania:

$$\frac{d H_1}{d r} = \frac{1}{r} \frac{d Q_1}{d r} \sin. \psi - \frac{d T_1}{d r} (\beta + \alpha \cos. \psi) \quad (60)$$

gdzie

$$\beta = \beta_0 + \cos. (\psi - \psi_1).$$

By otrzymać sumę tych sił dla wszystkich śmigł, wystarczy (jak udowodnił Glauert) opuścić wyrazy o potęgach nieparzystych $\sin \psi$ oraz $\cos \psi$ w rozwinięciu powyższego równania, oraz zastąpić $\sin^2 \psi$ i $\cos^2 \psi$ przez 0,5 B. Biorąc pod uwagę równania 39 i 53, otrzymujemy równanie na siłę podłużną w formie:

$$\frac{2}{B c \rho} \frac{d H}{d r} (2 \delta r - 3 \theta s R) \omega V \cos. i + 3 \omega^2 (\theta r^2 + 2 s R r) \beta_1 \cos. \psi_1 - 3 \omega^2 r^2 (\beta_0 + \alpha) \beta_1 \sin. \psi_1 + 3 \omega r (\beta_0 + \alpha)^2 V \cos. i + 3 \omega^2 (\theta r^2 + s R r) \beta_1 \cos. \psi_1 \dots \quad (61)$$

całkując otrzymujemy:

$$\frac{2 H}{B c \rho \omega^2 R^3} = \left(\delta - 3 \theta s + \frac{3}{2} \beta_0^2 - 6 \beta_0 \gamma_1 + \right.$$

$$\left. + 3 e \right) \frac{V \cos. i}{R \omega} + \left(2 \theta + \frac{9}{2} s \right) \beta_1 \cos. \psi_1 - (\beta_0 - 6 \gamma_2) \beta_1 \sin. \psi_1 \dots \quad (62)$$

zaś podstawiając wartości z równania 47, otrzymujemy:

$$\frac{H}{B c \rho \omega^2 R^3} = \left\{ \frac{1}{2} \delta + \frac{8}{3} \theta^2 + \frac{13}{2} \theta s + \frac{9}{2} s^2 + \frac{1}{12} \beta_0^2 + (8 \gamma_2 - 3 \gamma_1) \beta_0 - 24 \gamma_2^2 + 0,5 e \right\} \frac{V \cos. i}{R \omega} \dots \quad (63)$$

Wstawiając wartości, jak poprzednio, otrzymamy stosunek siły podłużnej do siły nośnej

$$\frac{H}{T} = 0,264 \frac{V \cos. i}{R \omega}.$$

Ostatnie wyrazy równania, zależą od ciężaru i krzywizny śmigły, więc trudno jest ocenić ich prawdziwą wartość. Dlatego H. Glauert proponuje przyjęcie równania, przybliżonego w postaci:

$$H_c = \sigma \left(\frac{1}{2} \delta + \frac{8}{3} \theta^2 + \frac{13}{2} \theta s + \frac{9}{2} s^2 \right) \frac{V \cos. i}{R \omega} = \sigma \left(\frac{8}{3} \theta^2 + \frac{17}{2} \theta s + \frac{15}{2} s^2 \right) \frac{V \cos. i}{R \omega}$$

na podstawie równ. 56.

Równanie to daje dostatecznie dokładne wyniki dla dużych kątów natarcia, natomiast pełne równanie można używać dla małych kątów natarcia oraz gdy jest wymagana znaczna dokładność obliczeń.

IX. SIŁA BOCZNA.

Siła boczna dla jednej śmigły wyraża się równaniem:

$$\frac{d Z_1}{d r} = - \frac{1}{r} \frac{d Q_1}{d r} \cos. \psi - \frac{d T_1}{d r} (\beta + \alpha) \sin. \psi \quad (65)$$

postępując analogicznie, jak dla siły podłużnej, mamy:

$$\frac{B c \rho}{2} \frac{d Z}{d r} = 3 \omega^2 (\theta r^2 + 2 s R r) \beta_1 \sin. \psi_1 - 3 (\theta r + 2 s R) \cdot (\beta_0 + \alpha) \omega V \cos. i - 3 (2 \theta r + s R) (\beta_0 + \alpha) \omega V \cos. i + 3 \omega^2 r^2 (\beta_0 + \alpha) \beta_1 \cos. \psi_1 + 3 \omega^2 (\theta r^2 + s R r) \beta_1 \sin. \psi_1$$

całkując powyższe równanie, otrzymujemy:

$$\frac{2 Z}{B c \rho \omega^2 R^3} = \left(9 \theta \gamma_1 - \frac{9}{2} \theta \beta_0 - 9 s \beta_0 \right) \frac{V \cos. i}{\omega R} + (\beta_0 - 6 \gamma_2) \beta_1 \cos. \psi_1 + \left(2 \theta + \frac{9}{2} s \right) \beta_1 \sin. \psi_1$$

zaś podstawiając z równania 47 wartości dla $\beta_1 \sin. \psi_1$ oraz $\beta_1 \cos. \psi_1$ otrzymujemy:

$$\frac{Z}{B c \rho \omega^2 R^3} = \left\{ \theta \left(\frac{5}{12} \beta_0 + \frac{9}{2} \gamma_1 - 16 \gamma_2 \right) - s \left(\frac{1}{2} \beta_0 + 24 \gamma_1^2 \right) \right\} \frac{V \cos. i}{R \omega} \dots (66)$$

wstawiając jak poprzednio typowe wartości, dostajemy:

$$\frac{Z}{T} = -0,108 \frac{V \cos. i}{R \omega}$$

równanie to wskazuje nam, iż siła boczna Z , skierowana jest w lewo dla śmig, idących do tyłu i jest proporcjonalna do szybkości postępowej autożyra.

Doświadczenia wykazały, iż (według wszelkiego prawdopodobieństwa) siła boczna skierowana jest w lewo, przy dużych szybkościach maszyny, przy małych zaś w prawo. Kierunek zmiany zatem siły bocznej w zależności od szybkości maszyny, otrzymaliśmy prawidłowy, jednak dla małych szybkości mamy niezgodność z teorią.

By tę niezgodność usunąć, konieczne staje się porzucenie naszego pierwotnego założenia, iż szybkość osiowa $u = V \sin i - v_i$ jest stałą na całej powierzchni rotora i rozpatrzenie wpływu zmiennej szybkości indukowanej.

X. ZMIENNA SZYBKOŚĆ INDUKOWANA.

Dotychczas przyjmowaliśmy szybkość indukowaną v_i jako stałą na całej powierzchni rotora, lecz jest jasne, iż (ze względów fizycznych) szybkość ta będzie większa na krawędzi odpływu, zaś mniejsza na krawędzi tarcia rotora, uważanego jako jedna całkowita płaszczyzna.

Jeżeli założymy, iż wzrost szybkości indukowanej jest proporcjonalny do odległości poza środkiem powierzchni rotora, to dla małych kątów natarcia możemy szybkość indukowaną przedstawić równaniem:

$$v'_i = v_i + v_1 \frac{r}{R} \cos. \psi \dots (67)$$

Dokładnej wartości dla v_1 nie można wyznaczyć, prawdopodobnie jednak jest ona tego samego rzędu co v_i . H. Glauert przyjmuje, że $v_1 = v_i$.

Poprzednio wyprowadziliśmy równanie dla szybkości indukowanej:

$$v_i = \frac{T}{2 \pi R^2 \rho V} \text{ lub uwzględniając, że } t = \frac{V}{R \omega}$$

$$T_c = \frac{T}{\pi R^2 \rho \omega^2 R^2} \text{ otrzymamy } \frac{v_i}{\omega R} = \frac{T_c}{2 t}$$

jeżeli teraz uwzględnimy zmienną szybkość indukowaną wzdłuż powierzchni rotora, to otrzymamy równanie:

$$u' = \omega R (s - s_1 \cos. \psi) \text{ zamiast równania 24 } \dots (68)$$

tutaj:

$$s_1 = \frac{v_1}{\omega R} \frac{r}{R} = \frac{v_1}{v_i} \frac{T_c}{s t} \frac{r}{R} \dots (69)$$

Zatem równanie 39 oraz 53 należy uzupełnić następującymi wyrażeniami:

$$39' \Delta \left\{ 3 (\Theta + \Phi) W^2 \right\} = -3 \omega^2 R r s_1 \cos. \psi = -3 \omega^2 r^2 \frac{v_1 \cdot T_c}{v_i \cdot 2 t} \cos. \psi$$

$$53' \Delta \left\{ (\delta - 3 \omega \Phi - 3 \Phi^2) W^2 \right\} = \omega^2 (3 \Theta R r + 6 s R^2) s_1 \cos. \psi = 3 \omega^2 (\Theta r^2 + 2 s R r) \frac{v_1}{v_i} \frac{T_c}{2 t} \cos. \psi$$

Jednak, mimo tych poprawek, całkowity wypór i moment obrotowy pozostają niezmienione, ponieważ średnia szybkość indukowana obliczona poprzednio, pozostaje niezmieniona. Zmienia się tylko perjodyczne części równań 39 i 53, ważne dla pojedynczych śmig rotoru.

Również współczynnik przy $\cos. \psi$ w równaniu 47 zmieni się, jak poniżej:

$$47' \Delta (\beta_1 \sin. \psi) = \frac{v_1}{v_i} \frac{T_c}{2 t} = \frac{v_1}{v_i} \frac{v_i}{\omega R} = \frac{v_1}{\omega R}$$

a zatem kąt fazy ψ należy określić z równania:

$$\text{tang. } \psi_1 = \frac{\frac{1}{2} \beta_1 - 3 \eta^2 + \frac{3}{16} \frac{v_1}{v_i} \frac{T_c}{t}}{\Theta + \frac{3}{4} s} \dots (70)$$

równanie to zastępuje nam równanie 48.

Dla poprzednio przyjętych wartości

$$(\delta = 0,006, \Theta = 2^\circ, \eta_2 = 0,01)$$

otrzymujemy:

$$\text{tang. } \psi_1 = 0,54 + \frac{0,05}{f^2}$$

Wzrost siły podłużnej H wyraża się równaniem:

$$\Delta \left(\frac{2}{B c \rho} \frac{d F_1}{d r} \right) = -3 \omega^2 r^2 (\beta_0 + \alpha) \Delta (\beta_1 \sin. \psi) + 2 \omega^2 R r s_1 (\beta_0 + \alpha)$$

Jednak wyrazy te dla całego rotora znikają, jak poprzednio, tak że wypór i opór pozostają niezmienione.

Wzrost siły bocznej Z otrzymamy z równania:

$$\Delta \left(\frac{2}{B c \rho} \frac{d Z}{d r} \right) = 3 \omega^2 (2 \Theta r^2 + 3 s R r) \Delta (\beta_1 \sin. \psi) - 3 \omega^2 (\Theta R r + 2 s R^2) s_1 = 3 \omega^2 (\Theta r^2 + s R r) \frac{v_1}{v_i} \frac{T_c}{t}$$

stad po scałkowaniu:

$$\Delta \left(\frac{Z}{B c \rho \omega^2 R^3} \right) = \frac{1}{4} \Theta + \frac{3}{2} s \frac{v_1}{v_i} \frac{T_c}{t} \dots (71)$$

czyli na podstawie 40,

$$\frac{\Delta Z}{T} = \frac{1}{4} \frac{v_1}{v_i} \frac{T_c}{t} \dots (72)$$

wzrost ten oznacza jak łatwo zauważyć, że siła boczna wychylona jest w prawo dla śmigła, idącej do przodu i rośnie, gdy szybkość lotu maleje. Poprawka ta, jak widzimy, wyrównuje niezgodność wyżej wspomnianą — jednak nie całkowicie. Dla wartości przyjętych, jak poprzednio, mamy:

$$\frac{Z}{T} = \frac{0,0034}{t} - 0,108 t$$

przyczem, jak widać, dla $t = 0,178$ jest $\frac{Z}{T} = 0$. Wartość ta odpowiada kątowi natarcia $\cong 30^\circ$, a praktyka zdaje się wskazywać, iż siła boczna jest skierowana na prawo przy kącie natarcia $i \cong 15^\circ$. Źródłem pozostałych jeszcze niedokładności są zapewne wahania liczbowe współczynników, przyjętych do obliczeń.

XI. WYPÓR I OPÓR ROTORU.

Jak widzimy z dotychczasowych rozważań, aerodynamiczne własności rotora autożyra zależą od trzech podstawowych parametrów:

θ = kąt zaklinowania śmigła względem płaszczyzny poziomej obrotu rotora.

σ = stosunek powierzchni śmigła do powierzchni rotora.

δ = średni współczynnik oporu profilu śmigła.

Gdy te trzy wielkości są dane, to wypór i opór rotora można obliczyć na podstawie poniższych równań, poprzednio już wprowadzonych,

$$\delta = 4 s \left(\theta + \frac{3}{2} s \right)$$

$$T_c = \sigma \left(\theta + \frac{3}{2} s \right) = \frac{\sigma \cdot \delta}{4 s}$$

$$S = \frac{8}{3} \theta^2 + \frac{17}{2} \theta s + \frac{15}{2} s^2$$

$$H_c = \sigma S t \cos. i \dots \dots (73)$$

$$t \sin. i = s + \frac{0,5 T_c}{(t^2 \cos.^2 i + s^2)^{1/2}}$$

$$t^2 K_y = T_c \cos. i - H_c \sin. i$$

$$t^2 K_x = T_c \sin. i + H_c \cos. i$$

Znając trzy podstawowe parametry, należy uprzednio wyznaczyć wartości s , T_c , S . Następnie wychodząc z odpowiednich wartości $t \cos. i$, możemy wyznaczyć wartości $t \sin. i$, i , t , H_c , K_y oraz K_x . Jeżeli profil śmigła nie jest symetryczny, należy kąt θ mierzyć od linii zerowego wyporu profilu nie zaś od jego cięciwy. Co do współczynnika σ , to teoria tu wyprowadzona opiera się na założeniu stałej cięciwy śmigła, zatem w przypadku śmigła o zaokrąglonych końcach i zwężonych ku nasadzie, co zwykle ma miejsce, należy wy-

znaczyć średnią cięciwę na przeważnej długości śmigła, z wyłączeniem części leżących blisko samej nasady śmigła.

Wartość współczynnika oporu „ δ ” jest tylko w przybliżeniu pewna, ponieważ przedstawia on średnią wartość, której wielkość zresztą jest dość dowolna. Jako pewną pomoc co do wyboru średniej wartości dla „ δ ” można podać następującą metodę (wg. Glauert'a):

Obliczamy średni współczynnik wyporu zapomocą równania przybliżonego

$$T = \int_0^R K_L B c \rho \omega^2 r^2 dr = \frac{1}{3} K_{Lsr} B c \rho \omega^2 R^3$$

lub:

$$T_c = \frac{1}{3} \sigma K_{Lsr} \dots \dots (74)$$

a ponieważ poprzednio wyznaczyliśmy:

$$T_c = \sigma \left(\theta + \frac{3}{4} s \right) s = \frac{\sigma \delta}{4 s}$$

zatem otrzymamy:

$$K_{Lsr} = 3 \left(\theta + \frac{3}{4} s \right) = \frac{3 \delta}{4 s}$$

Poniższa tabelka podaje nam średnie współczynniki wyporu, obliczone jak wyżej.

θ	0	2°	4°	5°
$\delta = 0$	0	0,105	0,21	0,315
0,003	0,1	0,166	0,25	0,345
0,006	0,14	0,204	0,28	0,37
0,010	0,184	0,244	0,317	0,400

Jak widać, średni współczynnik wyporu rośnie z kątem natarcia, przyczem rośnie też „ δ ”. H. Glauert poleca przyjmować średni współczynnik oporu $\frac{1}{2} \delta$ przy średnim współczynniku wyporu profilu (K_{Lsr}) i powiększać tak wyznaczony współczynnik oporu o 50%. Jest to jednak zupełnie dowolne założenie, nie oparte na żadnym racjonalnym uzasadnieniu, a mogące być przyjęte jedynie ze względu na to, iż pomiary zdają się je potwierdzać. Przyczyną tej niezgodności teorii z rzeczywistością, jest niewątpliwie niedoskonałość samej teorii. Dla dobrego profilu symetrycznego, mamy dla małych wyporów $\delta = 0,004$, a zatem należy obrać średni współczynnik oporu $\delta = 0,006$ (wg. oznaczeń, używanych w Polsce 0,012).

Sprawa komplikuje się, jeżeli rozpatrujemy dla profilu wpływ liczby Reynolds'a, raz dla małych kątów natarcia, drugi raz w pobliżu kąta utraty szybkości, który prawie osiąga śmigła idąca do tyłu. Wtedy należy się uciec do doświadczenia.

Poza tem wartości δ dla siły podłużnej (równania 63 i 64), powinny być nieco większe, niż wartości w rów-

naniach 55 i 56 dla momentu obrotowego, ponieważ nasady śmig, których opór jest duży, wywierają większy wpływ na siłę podłużną, niż na moment obrotowy.

XII. IDEALNY ROTOR AUTOŻYRA.

Zagadnienie idealnie dobrego rotora łatwo jest ująć matematycznie, jeżeli założymy, iż opór profilu śmig jest równy zero. Wtedy według wszelkiego prawdopodobieństwa współczynnik „s” dąży również do zera, co wskazywałoby, iż nie ma wtedy przepływu powietrza przez płaszczyznę rotora (czyli, że znika szybkość prostopadła do płaszczyzny rotora), co dowodzi, iż nasze założenie jest czysto teoretyczne, a idealny rotor fikcją z fizycznego punktu widzenia. Jest to jedynie granica, do której należy zbliżyć się jak najwięcej.

Po odpowiedniej redukcji równań 73, otrzymamy równania na wypór i opór idealnego rotora w postaci:

$$K_y = \sin. 2i \left(\cos. i - \frac{4}{3} \theta \sqrt{\delta \sin. 2i} \right)$$

$$K_x = \sin. 2i \cdot \sin. i + \frac{4}{3} \theta (1 + \cos. 2i) \sqrt{\sigma \theta \sin. 2i}. \quad (75)$$

Maksymalny współczynnik wyporu jest (praktycznie biorąc), niezależny od wartości θ i σ i osiąga wartość:

$$K_{y \max} = 0.77 \text{ (1.54 wg. współcz. polskich) dla } i = 35.5^\circ.$$

Dla małych kątów natarcia „i” możemy napisać:

$$K_y = 2i, K_x = 2i^2 + \frac{8}{3} \theta \sqrt{2 \cdot \sigma \cdot \theta \cdot i} \text{ zaś}$$

$$\frac{K_y}{K_x} = i + \frac{8}{3} \theta \sqrt{\frac{\sigma \theta}{2i}} \dots \quad (76)$$

Przyrównując pierwszą pochodną $\frac{d \frac{K_y}{K_x}}{d i} = 0$

do zera, znajdujemy najmniejszą wartość tego stosunku (największe finesse) dla wyrażenia $2 \theta (3 \sigma)^{1/3}$ przy kącie

$$\text{natarcia } i = \frac{2}{3} \theta (3 \sigma)^{1/3}.$$

Zakładając $\theta = 2^\circ$, $\sigma = 0.2$ otrzymujemy:

$$\frac{K_y}{K_x} \max. = 17 \text{ dla } i = 1.12^\circ, \text{ zaś dla } \sigma = 0.05 \text{ (nowo-}$$

$$\text{czesne autożyra) mamy: } \frac{K_y}{K_x} \max. = 21.2, \text{ przy } i =$$

$$= 0.71^\circ \text{ przyczem } K_y = 0.0248 \text{ (} C_y = 4.96 \text{)}.$$

Porównując rotor autożyra z idealnym profilem lotniczym o rozpiętości $2R$ i wydłużeniu λ przy eliptycznym rozkładzie obciążeń, mamy, wg. Prandtl'a:

$$K_y = \frac{Y}{\pi R^2 \rho V^2} = \frac{4}{2 + \lambda} i$$

$$K_x = \frac{X}{\pi R^2 \rho V^2} = \frac{1}{2} K_y^2$$

zaś dla rotora będziemy mieli:

$$K_x = \frac{1}{2} K_y^2 + \frac{8}{3} \theta \sqrt{\sigma \theta K_y}.$$

Zatem opór idealnego rotora jest wyższy, niż opór idealnego skrzydła, gdyż pierwszy wyraz równania $\left(\frac{1}{2} K_y^2 \right)$ jest wielkością oporu dla profilu lotniczego wg. klasycznej teorii Prandtl'a, zaś drugi wyraz przedstawia dodatkowy opór indukowany rotorem. Widzimy teraz dlaczego należy przy konstrukcji rotora obierać współczynnik σ możliwie mały.

Dla $\sigma = 0$ drugi wyraz równania znika, czyli, że pod względem oporu rotor jest równy normalnemu skrzydłu o wydłużeniu równym zero, czyli o nieskończonej głębokości.

Założmy dla przykładu $c_y = 0.08$, czyli $k_y = 0.04$ (jest to wypór, odpowiadający w przybliżeniu maksymalnej szybkości autożyra).

Zatem:

$$K_x = \frac{1}{2} 0.04^2 + \frac{8}{3} 0.035 \sqrt{0.1 \cdot 0.035 \cdot 0.04} = 0.0008 + 0.0011 = 0.0019.$$

Jak widzimy, w tym wypadku opór dodatkowy jest znaczny i wynosi 137% oporu idealnego profilu lotniczego, a 58% całkowitego oporu indukowanego rotorem

Biorąc

$$K_y = 0.5 \text{ (} C_y = 100 \text{)}$$

otrzymamy:

$$K_x = \frac{1}{2} 0.5^2 + \frac{8}{3} 0.035 \sqrt{0.1 \cdot 0.035 \cdot 0.5} = 0.125 + 0.0039 = 0.1289$$

czyli dla dużych kątów natarcia opór dodatkowy znacznie maleje i biorąc procentowo, wynosi w naszym przykładzie tylko 3,1% oporu idealnego profilu, 3% oporu całkowitego rotora.

W tych przykładach założono $\sigma = 0.1$. Dla mniejszych wartości wzrost oporu będzie oczywiście mniejszy.

XIII. MAKSYMALNY WSPÓLCZYNNIK WYPORU.

Zasadnicze równania dla autożyra (w pobliżu maksymalnego wyporu), możemy napisać ze znacznym przybliżeniem, w postaci:

$$\delta = 4s \left(\theta + \frac{3}{2} s \right) \quad T_c = \frac{\sigma \cdot \delta}{4s} \quad (77)$$

$$t \text{ stn. } i = s + \frac{T_c}{2t \cos. i} \text{ oraz } t^2 \cdot K_y = T_c \cos. i$$

stąd, jak łatwo zauważyć, otrzymujemy:

$$t^2 \sin. i \cos. i - s t \cos. i = \frac{\sigma \cdot \delta}{8 s}$$

$$t^2 K_y = \frac{\sigma \cdot \delta}{4 s} \cos. i$$

Różniczkując te dwa równania względem „t”, oraz „t’”, otrzymamy równanie warunkowe na wyznaczenie największego wyporu w postaci

$$2 t (3 \sin.^2 i - 1) = 3 \cdot s \sin. i \text{ z tąd } t = \frac{3 s \cdot \sin. i}{2 (3 \sin.^2 i - 1)}$$

wstawiając tę wartość w równanie:

$$t^2 K_y = \frac{\sigma \cdot \delta}{4 s} \cos. i \text{ otrzymujemy:}$$

$$K_y \text{ maks.} = \frac{\sigma \cdot \delta}{4 s} \cos. i \frac{4 (3 \sin.^2 i - 1)^2}{9 s^2 \sin.^2 i} \text{ oraz:}$$

$$\frac{9 s^2 \sin.^2 i}{4 (3 \sin.^2 i - 1)^2} \sin. i \cdot \cos. i - s \frac{3 s \cdot \sin. i}{2 (3 \sin.^2 i - 1)} \cos. i = \frac{\sigma \cdot \delta}{4 s}$$

wstawiając z tego równania wyrażenia na $\frac{\sigma \cdot \delta}{4 s}$ w równanie dla K_y maks., otrzymujemy ostatecznie:

$$\begin{aligned} K_y \text{ maks.} &= \cos. i \frac{4 (3 \sin.^2 i - 1)^2}{9 s^2 \sin.^2 i} \left\{ \frac{9 s^2 \sin.^2 i}{4 (3 \sin.^2 i - 1)^2} - \sin. i \cos. i - s \frac{3 s \cdot \sin. i}{2 (3 \sin.^2 i - 1)} \cos. i \right\} = \\ &= \cos. i \left\{ \sin. i \cos. i - \cos. i s \frac{2 (3 \sin.^2 i - 1)}{3 s \sin. i} \right\} = \\ &= \sin. i \cos.^2 i - \cos.^2 i \frac{2 (3 \sin.^2 i - 1)}{3 \sin. i} = \\ &= \frac{2}{3} \cos.^2 i \frac{2 - 3 \sin.^2 i}{\sin. i} \dots (78) \end{aligned}$$

gdzie

$$\frac{(3 \sin.^2 i - 1)^2}{(2 - 3 \sin.^2 i) \sin. i \cos. i} = \frac{6 s^3}{\sigma \cdot \delta}$$

Przeliczenia zapomocą powyższych równań ujęte zostały w poniższej tabelce:

i°	35° 15z	36°	37°	38°	39°	40°
$\frac{6s^3}{\sigma \cdot \delta}$	0	0,003	0,017	0,045	0,084	0,153
$K_y \text{ maks.}$	0,77	0,715	0,645	0,580	0,520	0,463
$C_y \text{ maks.}$	154	143	129	116	104	92,6

W ten sposób znając θ, σ, δ możemy obliczyć K_y dla każdego wypadku, jednak należy pamiętać, iż tabela powyższa daje nam wypory obliczone dla idealnego autożyra, czyli dla $\delta = 0$.

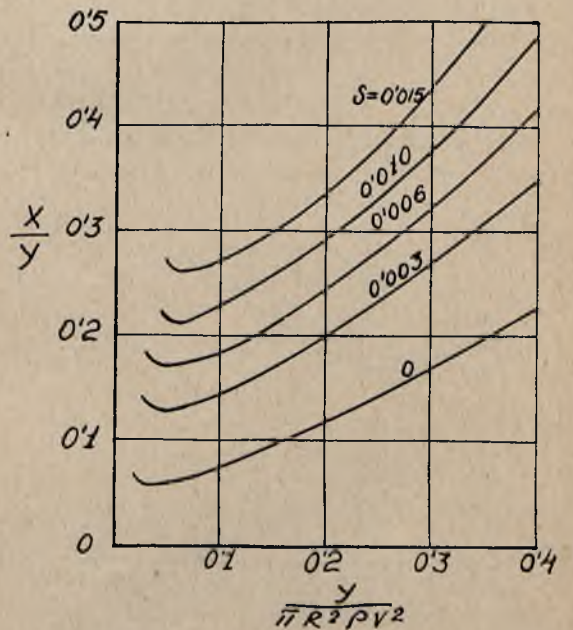
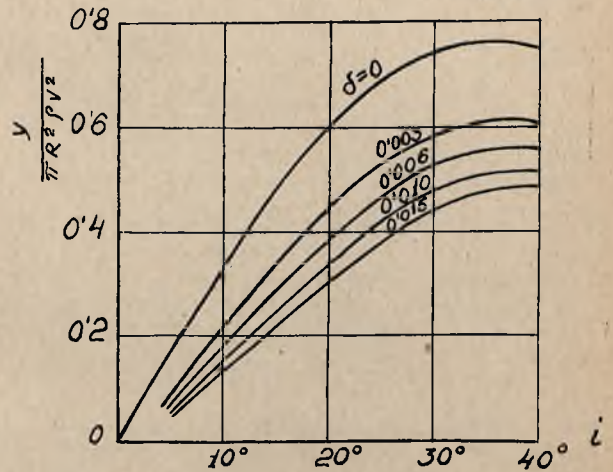
Biorąc jednak warunki rzeczywiste i uwzględniając wszystkie trzy zmienne, t. j. θ, σ oraz δ otrzymamy:

dla $\theta = 2_0, \sigma = 0,2$ przy zmiennem δ następujące wartości dla wyporu.

θ	σ	δ	i°	$K_y \text{ maks.}$
2°	0,2	0,000	35,25	0,77
2°	0,2	0,004	37,4	0,62
2°	0,2	0,006	38,3	0,56
2°	0,2	0,010	39,0	0,52

Jak widzimy, w miarę wzrostu oporu łopatki δ maleje nośność rotora. Odpowiednie krzywe podaje wykres Nr. 10.

$\theta = 2^\circ$
 $G = 0'20$
Rys. 10



Obieramy teraz $\theta = 2^\circ$, $\sigma = 0.006$ δ jest zmienna.
Wtedy otrzymujemy:

θ	σ	δ	i°	K_y ,maks.
2°	0.1	0.006	39.3	0.50
2°	0.2	0.006	38.3	0.56
2°	0.3	0.006	37.7	0.595

Jak widzimy, ze wzrostem σ czyli ze wzrostem powierzchni śmig w stosunku do powierzchni całego rotora, rośnie nośność tegoż.

W praktyce jednak staramy się uczynić σ możliwie małe (w nowoczesnych konstrukcjach $\sigma = 0,1$ do $0,4$ [gdyż wypór maksymalny rotora ze względu na jego dużą powierzchnię i tak jest znaczny, zaś małe σ daje nam małe opory, zwiększa finesse i umożliwia przez to lepsze wykorzystanie mocy, na czym nam głównie zależy.

Odpowiednie krzywe podaje nam wykres Nr. 11.

Obierając z kolei $\sigma = 0,2$, $\delta = 0.006$ zaś kąt nastawienia śmig w stosunku do płaszczyzny obrotu uważając za zmienny, otrzymujemy:

θ	σ	δ	i°	K_y ,maks.
0°	0,2	0,006	40,1	0,46
2°	0,2	0,006	38,3	0,56
4°	0,2	0,006	37,2	0,63
6°	0,2	0,006	36,5	0,68

Jak widzimy, wypór maksymalny rośnie wraz z kątem θ , co jest zupełnie zrozumiałe, jednak opór rotora równocześnie wzrasta. W praktyce najbardziej odpowiedni okazał się kąt $\theta = 2^\circ$. (Wykres 12).

XIV. MAKSYMALNA „FINESSE”.

Dla małych kątów natarcia rotora, dla których też występuje maksymalna finesse możemy równania 73 napisać w postaci uproszczonej kładąc: $\cos i = 1$, $\sin i = i$ przez co otrzymujemy:

$$\delta = 4s \left(\theta + \frac{3}{2} s \right)$$

$$T_c = \frac{\sigma \cdot \delta}{4s}$$

$$s = \frac{8}{3} \theta^2 + \frac{17}{2} \theta s + \frac{15}{2} s^2$$

$$H_c = \sigma s t$$

$$t(t \cdot i - s) = \frac{\sigma \cdot \delta}{8 \cdot s}$$

$$\frac{X}{Y} = \frac{T_c i + H_c}{T_c - H_c \cdot i} = \frac{\frac{\sigma \delta}{4s} i + \delta \cdot s \cdot t}{\frac{\sigma \delta}{4s} - \sigma \cdot s \cdot t \cdot i}$$

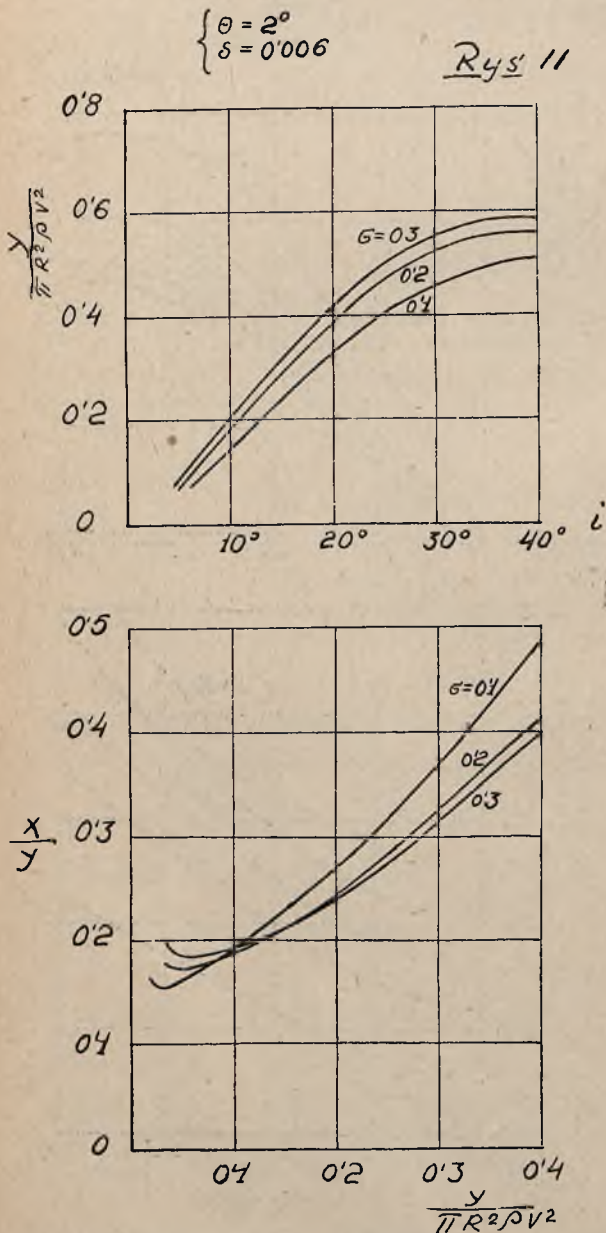
$$= \frac{\sigma \cdot \delta \cdot i + 4 \cdot s \cdot \sigma \cdot S \cdot t}{\sigma \cdot \delta - 4 \cdot s \cdot \sigma \cdot S \cdot t \cdot i} = \frac{\delta i + 4 s \cdot S \cdot t}{\delta - 4 s \cdot S \cdot t \cdot i} \dots (79)$$

Ponieważ dla przeciętnego wypadku:

$4 \cdot s \cdot S \cdot t \cdot i \cong 4 \cdot 0,022 \cdot 0,01345 \cdot 0,6 \cdot 0,7 = 0,00005$ czyli w stosunku do $\delta = 0,006$ i jest bardzo małe

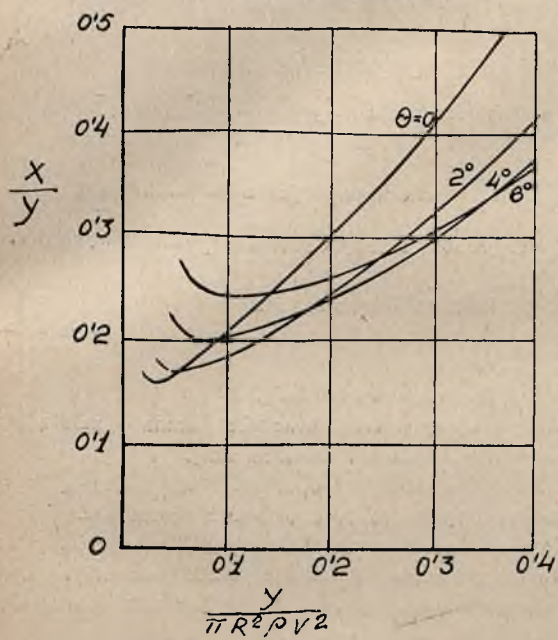
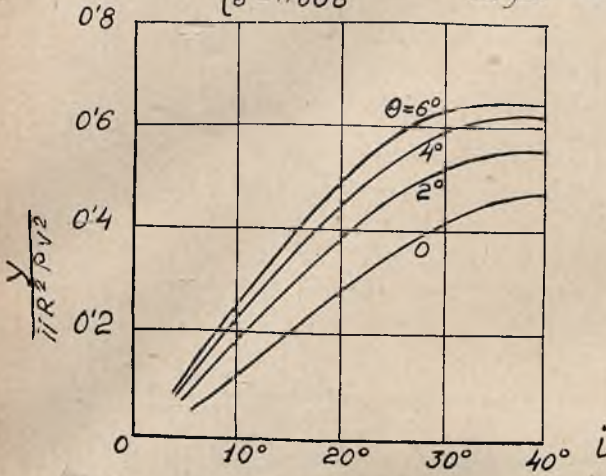
$$\left(\frac{0,00005}{0,006} = 0,00835 \right)$$

zatem możemy założyć:



Rys 12

$$\begin{cases} \sigma = 0'20 \\ s = 0'006 \end{cases}$$



$$\frac{dX}{dt} = -2 \frac{\sigma \cdot \delta}{8 \cdot s} \cdot \frac{1}{t^3} - \frac{s}{t^2} + \frac{4 \cdot s \cdot S}{\delta} = 0 \quad (80)$$

czyli (po podstawieniu $\frac{\sigma \cdot \delta}{8s} = t(t \cdot i - s)$ otrzymujemy równanie warunkowe.

$$\frac{4 \cdot S \cdot s \cdot t^2}{\delta} = 2 \cdot t \cdot i - s \text{ stąd: } \dots \quad (80a)$$

$$i = s \left[\frac{2 \cdot S}{\delta} t + \frac{1}{2t} \right] \text{ oraz z równania 80 (80b)}$$

$$t \left(t^2 - \frac{\delta}{4S} \right) = \frac{\sigma \cdot \delta^2}{16 s^2 \cdot S} \dots \quad (80c)$$

jako też podstawiając w równanie 79a wyrażenie na „i” z równania 80b, otrzymujemy:

$$\left(\frac{X}{Y} \right)_{min} = s \left(6 \frac{S}{\delta} t + \frac{1}{2t} \right) \dots \quad (80d)$$

Równania 80b, 80c, 80d, określają nam jednocześnie $\left(\frac{X}{Y} \right)_{min}$ jako też odpowiedni kąt natarcia.

Z równania 80c możemy dla każdego „s” wyliczyć odpowiednie „t”, które wstawiając w równania 80b i 80c znajdujemy odrazu „i” oraz $\left(\frac{X}{Y} \right)_{min}$

Założmy dla przykładu $\delta = 0,006$, wówczas $s = 0,022$ $S = 0,01345$ czyli mamy wg. równania 80b

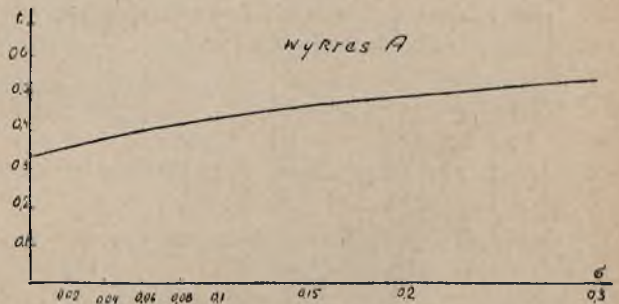
$$t(t^2 - 0,11) = 0,342 \sigma$$

Poniższa tabelka podaje nam rozwiązanie tego równania.

	0,2	0,3	0,4	0,45	0,5	0,6
σ	-0,041	-0,0175	+0,0585	0,12	0,205	0,44

Oczywiście, iż σ ujemne nie ma znaczenia. Kreśląc wykres A, otrzymujemy „t” w funkcji

Podobnie równanie 80d piszemy:



$$\left(\frac{X}{Y} \right)_{min} = 0,022 \left(13'45 \cdot t + \frac{1}{2t} \right)$$

rozwiązując to równanie otrzymujemy:

czyli równanie 79 przybiera postać:

$$\frac{X}{Y} = i + \frac{4 s \cdot S \cdot t}{\delta} = i + \frac{H_c}{T_c}$$

Różniczkując dwa ostatnie równania, a mianowicie:

$$t^2 i - st = \frac{\sigma \cdot \delta}{8 \cdot s} \text{ oraz}$$

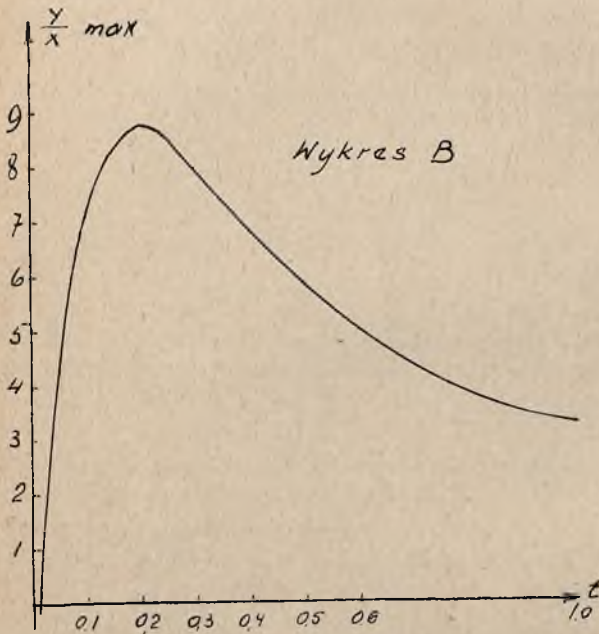
$$\frac{X}{Y} = i + \frac{4 s \cdot S \cdot t}{\delta} \text{ otrzymujemy:}$$

$$\frac{X}{Y} = \frac{\delta \cdot \sigma}{8 \cdot s} \cdot \frac{1}{t^2} + \frac{s}{t} + \frac{4 \cdot s \cdot S \cdot t}{\delta} \text{ zatem}$$

t	0,2	0,3	0,4	0,5	0,6
$\left(\frac{X}{Y}\right)_{min}$	0,114	0,1255	0,146	0,169	0,196
$\left(\frac{Y}{X}\right)_{maks}$	8,75	7,96	6,85	5,92	5,1

Tabelkę tą ilustruje wykres B.

Analogicznie wykreślamy wykres C wg. równania 80b.



$$i^0 = 1,26 \left(4,5 t + \frac{1}{2t} \right)$$

t	0,2	0,3	0,4	0,5	0,6
i^0	4,28	3,8	3,85	4,1	4,45

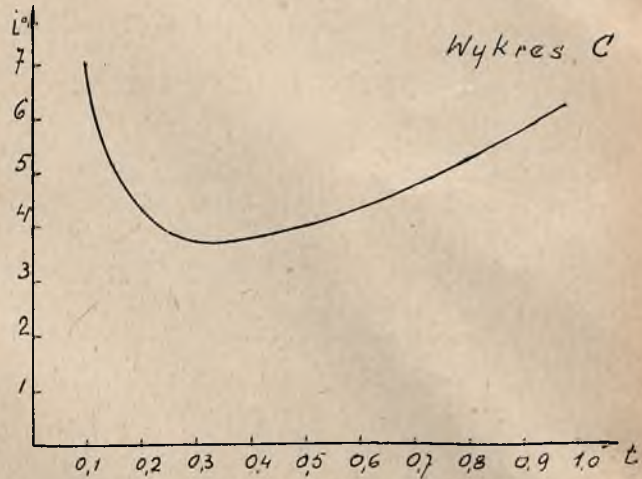
Teraz z łatwością z wykresu A. odczytujemy np. dla $\sigma = 0,04$, $t = 0,38$ zaś dla tej wartości odczytujemy z wykresu B $\left(\frac{Y}{X}\right)_{maks} = 7$, zaś $i = 3,8^0$ (z wykresu C).

Dla $\sigma = 0,2$, $t = 0,5$ zaś $\left(\frac{Y}{X}\right)_{maks} = 5,92$ przy $i = 4,1^0$

Analogicznie naprzykład dla $\delta = 0,005$, $\sigma = 0,04$ otrzymujemy $t (t^2 - 0,0835) = 0,41 \sigma$

dla $\sigma = 0,04$ $t = 0,36$ zaś $\left(\frac{Y}{X}\right)_{maks} = 7,8$

Wartości tu wyliczone są mniejsze, niż w rzeczywistości, zaś dokładniejsze przeliczenie (wg. Lock'a) daje



np. dla $\sigma = 0,2$ wartość $\left(\frac{Y}{X}\right)_{maks} = 8'45$ (dla $\delta = 0,006$) podczas gdy poprzednio mieliśmy $5'92$.

XV. OMÓWIENIE WYNIKÓW.

Jak widzimy (mając na uwadze granicę ważności wyprowadzonych równań określoną w rozdziale

$\frac{Vco \cdot i}{\omega R} < 0'5$) charakterystyki autożyra, a ściślej mówiąc jego rotora zależą od trzech podstawowych wartości.

θ = kąta zaklinowania śmig.

σ = stosunku powierzchni śmig do powierzchni rotora.

δ = średniego oporu śmig.

Ruch wahający w śmig, oraz siła boczna Z zależą też od krzywizny, ciężaru i kształtu śmig.

Siła podłużna (H) i opór (X) też podlegają (nieznacznemu) wpływowi tych ostatnich czynników.

Rozpatrując moment obrotowy „ Q ” znajdujemy na podstawie równania 57, iż szybkość osiowa (u) stoi w stałym stosunku do szybkości obwodowej ωR dla danego rotora, czyli innymi słowy, że

$$s = \frac{u}{\omega R} = \text{constans}$$

Jak widzimy, rzeczywiście dla danego (δ) i (θ) „ s ”

wyrażone równaniem $s = \frac{1}{3} \left\{ \sqrt{\theta^2 + \frac{3}{2} \delta} - \theta \right\}$

jest stałe.

Na podstawie równania $Tc = \sigma \left(\theta + \frac{3}{2} s \right)$ widzi-

my, że współczynnik siły nośnej ma wartość stałą, a ponieważ w locie poziomym wypór jest równy ciężarowi maszyny, zatem szybkość obwodowa musi być wielkością stałą według równania:

$$T = Bc \rho \omega^2 R^3 \left(\theta + \frac{3}{2} s \right) = Tc \rho \omega^2 R^4 = G, \text{ czyli:}$$

$$\omega R = \sqrt{\frac{G}{Tc \rho \pi R^2}}, \text{ a ponieważ } \frac{G}{\pi R^2} = p, \text{ zaś}$$

$$Tc = \sigma \left(\theta + \frac{3}{2} s \right) = \frac{\sigma \cdot \delta}{4s}$$

przeto:
$$\omega R = 2 \sqrt{\frac{s \cdot p}{\rho \cdot \delta \cdot \sigma}} \quad \dots \quad (81)$$

dla $\theta = 2'$ $\delta = 0.006$ $\sigma = 0.2$ $s = 0.022$

$$\omega R = 78.8 \sqrt{\frac{p}{\sigma}}$$

zaś dla $\delta = 0.005$ mamy $s = 0.0159$

oraz
$$\omega R = 81 \sqrt{\frac{p}{\sigma}}$$

W rzeczywistości jednak ωR jest lekko zmienne, przyczem na dużych kątach natarcia, czyli przy małych szybkościach nieco rośnie (10 — 15%).

O roli obciążenia powierzchniowego „ p ”, ze względu na szybkość lotu i zapotrzebowanie mocy, będzie mowa w następujących rozdziałach.

Maksymalny współczynnik wyporu w myśl podanej teorii wynosi 0.5 do 0.6, czyli w przeliczeniu na współczynniki używane w Polsce

$$C_y \text{ max} = 100 \text{ do } 120 \text{ przy kącie natarcia } i \cong 38^\circ.$$

Badania w tunelu aerodynamicznym jako też doświadczenia w locie dały wartości nieco wyższe, mianowicie:

$C_y \text{ max} = 150 \text{ do } 180$ przyczem cyfry te odnoszą się do autożyra zaopatrzonego w skrzydła dodatkowe.

Kąt natarcia wynosi tutaj około 35° , zaś $\frac{C}{C_x} \cong 1.5$.

Maksymalna „finesse” rotoru podana przez Glauerta $\frac{C_y}{C_x} \text{ max} = 6$ jest w rzeczywistości znacznie wyż-

sza, przedewszystkiem dlatego, iż wskutek pewnych założeń upraszczających równania wyprowadzone przez Glauerta nie są ściśle i dają wyniki gorsze, niż jest w rzeczywistości. Późniejsze badania tunelowe, jako też obliczenia wykonane na podstawie ściślejszej teorii Loocka, wykazały wartości wyższe dochodzące do 8.5.

Powtórę, wartości te są wyprowadzone dla współczynnika $\delta = 0.2$, podczas, gdy w nowoczesnych konstrukcjach rotoru stosunek ten dochodzi do wartości 0.04, czyli, że powierzchnia samych śmig w stosunku do powierzchni rotoru jest bardzo mała, a zatem śmiggi posiadają bardzo wielkie wydłużenie (dochodzące do 20 dla jednej śmiggi), co bardzo znacznie zmniejsza opór rotoru jako całości i podnosi „finesse” do wielkości około 12. Również i stosowanie rotoru trójśmigowego zamiast 4-śmigowego daje dobre wyniki. Jeszcze lepszy byłby pod tym względem rotor 2-śmigłowy, jednak ruchy śmig w górę i w dół są wtedy zbyt gwałtowne, wychylenia zbyt duże i lot nieprzyjemny.

Maksymalna „finesse” rotoru odpowiada w przybliżeniu wartości $C_y = 10$ do 15, co znowu leży w pobliżu maksymalnej szybkości autożyra. Jest to właśnie jedna z cech rotoru, iż jego maksymalna „finesse” odpowiada w przybliżeniu maksymalnej szybkości, jednak dla autożyra jako całości warunki te nieco się zmieniają, o czym dalej.

Siła boczna rotoru, którego prawa śmigga biegnie do przodu, jest skierowana w lewą stronę przy dużych szybkościach, zaś prawą przy szybkościach małych.

Jeżeli oś rotoru jest nachylona w bok tak, by utrzymać autożyro w poziomie na średnim kącie natarcia, natenczas cała maszyna w locie szybkim będzie się pochylała na lewo, zaś przy małych szybkościach — na prawo.

Tablice w rozdziale XIII podają nam ogólna rozwiązanie równań zasadniczych

$$(73) \text{ dla } \theta = 2^\circ \sigma = 0.2^\circ \text{ oraz } \delta = 0.006.$$

Wykresy 10, 11 i 12 ilustrują graficznie każdą z tablic.

Widzimy odrazu, że rotor autożyra będzie tem lepszy aerodynamicznie, im „ δ ” jest mniejsze. Również „ σ ” należałoby dać możliwie małe, jeśli chce się osiągnąć dużą „finesse” rotoru.

Kąt $\theta = 2^\circ$ jest prawdopodobnie najlepszy dla normalnej rozpiętości szybkości.

Teoria, rozwinięta w poprzednich rozdziałach podana przez Glauerta na podstawie rozważania sił aerodynamicznych działających na rotujące śmiggi rotoru, wskutek pewnych założeń upraszczających, jest tylko przybliżona i daje naogół wyniki gorsze, niż rzeczywistość.

Dokładniejszą teorię podał H. Looock, odrzucając niektóre z założeń upraszczających Glauerta, o czym niżej.

XVI. ANALIZA STRAT ENERGJI.

Działanie rotoru można zanalizować wychodząc z zasady zachowania energii, przyczem dla prostoty ograniczymy się tylko do małych kątów natarcia, dla których poprzednio podana teoria jest szczególnie mało dokładna.

Rotor obracając się pobiera pewną energję z przepływającego przez jego powierzchnię powietrza, dzięki której utrzymuje się w ruchu obrotowym. Energja ta musi być dostarczona wskutek istnienia dwóch czynników które ją czerpią, a mianowicie:

1) opór profilu śmiggi,

2) szybkość indukowana wywołana ciągiem wyporu w górę.

Dodatkowe źródło strat stanowi nierównomierny rozkład wyporu na powierzchni rotoru, jednak nie można tego ocenić zapomocą elementarnych metod liczenia.

Przyjmując, że kąt natarcia „ i ” jest mały, czyli, że $\cos i = 1$, oraz wypór Y równy jest T , nazwijmy przez

E stratę energii w jednostce czasu, zatem możemy napisać

$$E = X \cdot V$$

$$\text{zaś } \frac{X}{Y} = \frac{E}{VT} \dots \dots \dots (82)$$

Wypór rotora powoduje szybkość indukowaną „ v_i ” oraz odpowiednią stratę energii.

Przyjmując, że wartość „ v_i ” jest stała na całej powierzchni rotora i dana jest równaniem

$$v_i = \frac{T}{2\pi R^2 \rho V^1}$$

dla małego kąta natarcia „ t ” $V' \simeq V$. Zatem część oporu odpowiadająca szybkości indukowanej wynosi:

$$\frac{X_1}{Y} = \frac{v_i}{V} \frac{T}{2\pi R^2 \rho V^2} = \frac{T_c}{2t^2} \quad \text{gdzie } T_c = \frac{T}{\pi \omega^2 \rho R^4}$$

Strata energii pochodząca od oporu profilu (śmig) obliczyć można zakładając średnią wartość współczynnika „ δ ”. Jeżeli oznaczymy kąt zawarty między płaszczyzną symetrii autożyry, a położeniem danej śmigii przez ψ (rys. 3), wówczas szybkość obwodowa elementu śmigii leżącego na promieniu „ r ” będzie:

$$\omega r + V \sin. \psi$$

zaś odpowiednia strata energii będzie:

$$E = \int_0^R \delta c \rho \cdot (\omega r + V \sin. \psi)^3 dr$$

jeżeli B oznacza ilość śmig, wówczas:

$$E_B = B \int_0^R \delta c \rho \left(\omega^3 r^3 + \frac{3}{2} V^2 \omega r \right) dr.$$

Po scałkowaniu otrzymamy średnią ilość energii dla wszystkich kątów ψ i dla wszystkich śmig.

$$E_B = \frac{1}{4} B \delta \rho c \omega^3 R^4 (1 + 3t^2)$$

Odpowiedni opór po podstawieniu

$$\sigma = \frac{E_c}{R \pi}, \quad T_c = \frac{T}{\pi \rho \omega^2 R^4}$$

wynosi:

$$\frac{X_2}{Y} = \frac{E}{VT} = \frac{\sigma \delta}{4t T_c} (1 + 3t^2) \dots (83)$$

Równanie to jako przybliżone nie uwzględnia straty energii powstałej dzięki szybkości osiowej „ u ”, oraz szybkości promieniowej $V \cos \psi$. Dla małych kątów natarcia „ u ” jest małe w porównaniu do „ V ”, można zatem wpływ tej szybkości zaniedbać, jednak wpływ składowej $V \cos \psi$ jest znaczny.

Sumując te szybkości geometrycznie otrzymujemy wyrażenie:

$$E = \int_0^R c \delta \rho \left\{ (\omega r + V \sin \psi)^2 + V^2 \cos^2 \psi \right\}^{3/2} dr$$

ponieważ średniej wartości tej całki nie da się prosto przedstawić policzono jej wartości dla 4-ch przyjętych

wielkości kąta, zakładając, że suma ich da nam sumę energii E .

W porównaniu z poprzednim porównaniem możemy napisać:

$$\frac{X_2}{Y} = \frac{E}{VT} = \frac{\sigma \delta}{4t T_c} (1 + nt^2),$$

gdzie (n) jest funkcją t czyli $n = f(t)$ i jest określone równaniem:

$$1 + nt^2 = \int_0^1 (k^2 + 2kt \sin. \varphi + t^2)^{3/2} dk$$

$$\text{gdzie } k = \frac{r}{R}, \quad \text{oraz } t = \frac{V}{\omega R} < 1$$

Rozwiązując tę całkę dla $\psi = 90^\circ, 180^\circ$ i 270° otrzymujemy:

$$\text{dla } 90^\circ = \int_0^1 (k + t)^3 dk = \frac{1}{4} (1 + t)^4 - \frac{1}{4} t^4$$

dla 270° możemy mieć $(t - k)^3$ lub $(k - t)^3$ stosownie do tego czy k jest mniejsze, lub większe od t .

A zatem:

$$(270^\circ) \int_t^1 (k - t)^3 dk + \int_0^t (t - k)^3 dk =$$

$$= \frac{1}{4} (1 - t)^4 + \frac{1}{14} t^4$$

wreszcie dla $\psi = 180^\circ$ lub 0° otrzymujemy:

$$\int_0^1 (k^2 + t^2)^{3/2} dk = \frac{1}{8} (2 + 5t^2) \sqrt{1 + t^2} +$$

$$+ \frac{3}{16} t^4 \log. \frac{\sqrt{1 + t^2} + 1}{\sqrt{1 + t^2} - 1}$$

dodając te wyrazy otrzymamy:

$$1 + nt^2 = \frac{1}{2} (1 + 6t^2 + t^4) + \frac{1}{4} (2 + 5t^2) \sqrt{1 + t^2} +$$

$$+ \frac{3}{8} t^4 \log. \frac{\sqrt{1 + t^2} + 1}{\sqrt{1 + t^2} - 1}$$

Równanie to daje już znaczną dokładność, przy czym wartości liczbowe podaje poniższa tabelka:

t	$1 + n \cdot t^2$	n
1.00	7.13	6.13
0.75	4.11	5.53
0.60	2.88	5.22
0.50	2.26	5.03
0.40	1.78	4.87
0.30	1.43	4.73
0	1.00	4.50

Po przeliczeniu, dla kontroli dla kątów $\psi = 45^\circ, 135^\circ, 225^\circ, 315^\circ$ otrzymamy, jak łatwo się przekonać, dla $t = 1$ wartość $n = 6.09$, a więc zupełną zgodność.

Zatem otrzymujemy równanie na całkowity opór w postaci:

$$\frac{X}{T} = \frac{T_c}{2 t^2} + \frac{\sigma \delta}{4 t T_c} (1 + n t^2) \dots (86)$$

Równanie Nr. 79a można wyrazić w formie:

$$\frac{X}{Y} = \frac{T_c}{2 t^2} + \frac{\sigma \cdot \delta}{4 t T_c} + \frac{\sigma \cdot t S}{T_c} \dots (87)$$

gdzie $\delta = 4 s \left(\theta + \frac{3}{2} s \right)$ zaś $S = \frac{8}{3} \theta^2 + \frac{17}{2} \theta s + \frac{15}{2} s^2$

widzimy zatem, że oba wyniki zależą jedynie od wyrazów:

$$\frac{\sigma t}{T_c}, \frac{n \delta}{4} \text{ oraz } \frac{\sigma \cdot t \cdot s}{T_c}$$

Jak widać różnica jaka zachodzi między oboma wynikami jest zasadnicza, ponieważ (n) zależy jedynie od (t), podczas gdy (S) zależy od „ θ ” oraz od „ δ ”.

Różnica ta pochodzi stąd, iż przy wyprowadzaniu równania 79 przyjęto „ t' ” jako małe, zaś obecnie zaniedbano wpływ rozłożenia perijodycznego wyporu na powierzchnię rotora.

Pierwotnie otrzymaliśmy większy opór, niż obecnie licząc metodą energii. Różnica ta wynosi:

$\frac{\Delta X}{Y} = \frac{\sigma t}{T_c} \left(S - \frac{n \delta}{4} \right)$ dla dużych szybkości $t = 0,5$ (zatem $n \cong 5$ czyli kładąc wyrażenia na „ δ ” i „ S ” rów. 73) otrzymamy:

$$S - \frac{n \delta}{4} = \left(\frac{8}{3} \theta^2 + \frac{17}{2} \theta s + \frac{15}{2} s^2 \right) - 5 s \left(\theta + \frac{3}{2} s \right) = \frac{8}{3} \theta^2 + \frac{7}{2} \theta \cdot s$$

Zatem: $\frac{\Delta X}{Y} = \frac{\sigma t}{T_c} \left(\frac{8}{3} \theta^2 + \frac{7}{2} \theta \cdot s \right) \cong \frac{5}{2} \theta t$

dla $\sigma = 0,2$, $T_c = \frac{\sigma \cdot \delta}{4 s}$, $\delta = 0,006$, oraz $\theta = 2^\circ$ otrzymujemy:

$$\frac{\Delta \cdot \lambda}{Y} = 0,087 \cdot t \dots (89)$$

Poprzednio otrzymaliśmy (dla $\sigma = 0,2$, $\delta = 0,006$ przy $t \cong 0,5$) $\frac{X}{Y} = 0,17$ czyli finesse = 5,9.

Obecnie otrzymujemy (metodą energii) wartość 0,126, czyli finesse = 7,9.

Wartość rzeczywista leży pomiędzy temi wielkościami jednak prawdopodobnie niewiele się różni od swej górnej granicy.

Spółczynnik oporu profilu określono doświadczalnie w postaci:

$$K_D = 0,0040 + 0,025 \cdot K_L^2 \text{ (wg. współcz. angielskich).}$$

Glauert przyjmuje, że wskutek efektu skali rzeczywiste K_D będzie wynosiło tylko 0,8 powyżej określonej wartości, czyli:

$$K_D = 0,0032 + 0,020 K_L^2$$

Jednocześnie zakłada Glauert, że średni opór profilu śmigła jest o 50% większy, czyli otrzymalibyśmy ostatecznie:

$$K_D = 0,0048 + 0,030 K_L^2 =$$

co dla $K_L = 0,2$ daje wartość średniego oporu $\delta = 0,006$.

Jednak założenie powyższe jest niczem nie uzasadnione, gdyż należałoby w obliczeniach wziąć za podstawę opory profilu zbadane w tunelu aerodynamicznym.

Poprzednio mieliśmy $\delta = 4 s \theta + \left(\frac{3}{2} s \right)$ a zatem średni współczynnik wyporu wynosi

$$K_L^{sr} = \frac{3}{\sigma} T_c = 3 \left(\theta + \frac{3}{2} s \right)$$

rugując z tych równań kolejno θ , s , oraz δ otrzymamy:

$$s = 0,0225 K_L^2 + \frac{0,0036}{K_L}$$

$$\theta = 0,299 K_L - \frac{0,0054}{K_L}$$

Poniższa tabela podaje nam wartości dla K_L , s , δ wyliczone dla różnych kątów θ .

θ	K_L	s	δ
0°	0.134	0.0299	0.0054
2°	0.205	0.0222	0.0061
4°	0.299	0.0188	0.0074
6°	0.397	0.0180	0.0095

zatem wyrażenie na finesse rotora możemy teraz napisać w postaci:

$$\frac{X}{Y} = \frac{T_c}{2 t^2} + \frac{\sigma \delta}{4 t T_c} (1 + n t^2) = \frac{\sigma \cdot K_L}{6 t^2} + \frac{s}{t} (1 + n t^2) \dots (90)$$

Tabela na str. 23 podaje nam przeliczone wartości $\frac{X}{Y}$ dla różnych kątów θ i dla różnych parametrów „ t' ” przy $\sigma = 0,2$, 0,1 i 0,05.

Jak widzimy najlepszy kąt natarcia jest $\theta = 4^\circ$ przyczem finesse rotora rośnie, gdy σ maleje.

Jeżeli stosunek szybkości postępowej do szybkości

θ	0°			2°			4°		
	σ = 0,2	0,1	0,05	σ = 0,2	0,1	0,05	σ = 0,2	0,1	0,05
1.00	4.61	4.64	4.66	6.07	6.24	6.30	6.95	7.2	7.31
0.75	5.84	5.96	6.03	7.46	7.93	8f10	8.15	8.93	9.30
0.60	6.44	6.68	6.84	7.96	8.70	9.08	8.47	9.62	10.35
0.50	6.56	8.94	7.16	7.84	8.78	9.40	8.00	9.55	10.52
0.40	6.24	6.80	7.14	7.07	8.40	9.20	6.85	8.73	10.10
0.30	5.24	5.97	6.45	5.50	6.98	8.05	5.00	6.90	8.53

obwodowej końca śmigła przekracza wartość 0,5, to zysk osiągnięty na maksymalnej szybkości powyżej θ = 2° jest bardzo mały.

Powyższa analiza oparta na obliczeniu energii jest nieco za korzystna, ponieważ pewne straty energii dla uproszczenia rozważań zostały zaniedbane.

XVII. MAKSYMALNA SZYBKOŚĆ.

Równania 73 podają nam związki zachodzące pomiędzy poszczególnymi czynnikami dla małych kątów natarcia.

Obecnie określimy moc potrzebną do lotu dla rotora, jako też warunki dla osiągnięcia jak największej szybkości.

Według równania 81 mamy w locie poziomym szybkość obwodową końca śmigła równą

$$\omega R = 2 \sqrt{\frac{s p}{\rho \sigma \delta}} \text{ oraz szybkość postępową } V = t \omega \cdot R$$

a zatem

$$\begin{aligned} 75 \eta N &= V \cdot X \text{ lub na mocy równań 73.} \\ \frac{75 \eta N}{G} &= \frac{V \cdot X}{Y} = V \left(t + \frac{4 s \cdot S \cdot t}{\rho} \right) = \\ &= 2 s \sqrt{\frac{s \cdot p}{\rho \sigma \delta}} + \frac{p}{2 \rho V} + 2 \cdot S \cdot V^2 \sqrt{\frac{\rho \cdot \sigma \cdot s}{p}} \end{aligned} \quad (91)$$

gdzie „p” jest obciążeniem jednostkowym całkowitej powierzchni rotora.

Jeżeli chcemy znaleźć obciążenie „p”, które wymaga najmniejszej mocy „N” dla danej szybkości poziomej „V”, czyli, które daje największą szybkość poziomą przy danej mocy wówczas tworząc pochodną

$$\frac{dN}{dp} = 0 \text{ otrzymamy}$$

$$\frac{dN}{dp} = s \sqrt{\frac{s}{\rho \sigma p \delta}} + \frac{1}{2 \rho V} - S V^2 \sqrt{\frac{\rho \sigma s}{\delta p^3}} = 0$$

lub mnożąc całe równanie przez „p” otrzymamy:

$$s \sqrt{\frac{s \cdot p}{\rho \cdot \sigma \cdot \delta}} + \frac{p}{2 \rho V} = S V^2 \sqrt{\frac{\rho \sigma s}{\delta p}} \dots (92)$$

ponieważ jednak możemy przyjąć:

$$p = K_y \rho V^2$$

zatem otrzymujemy:

$$K_y^{3/2} + 2 s \sqrt{\frac{s}{\sigma \delta}} K_y = 2 S \sqrt{\frac{\sigma s}{\delta}}$$

$$\text{zatem } 75 \frac{\eta N}{G} = V \left(\frac{3}{2} K_y + 4 s \sqrt{\frac{s K_y}{\sigma \delta}} \right) \dots (93)$$

$$\text{oraz } \frac{\omega R}{V} = 2 \sqrt{\frac{s K_y}{\sigma \cdot \delta}} \dots (94)$$

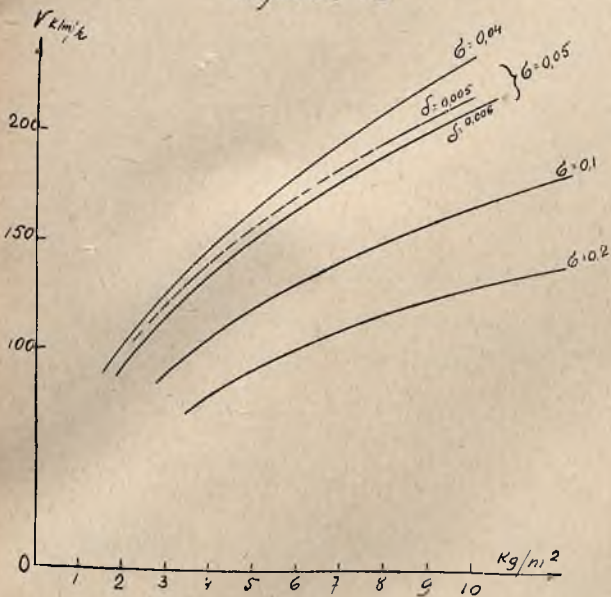
Dwa ostatnie równania służą nam dla wyznaczenia najlepszych warunków lotu poziomego. Rozwiązanie tych równań dla θ = 2°, δ = 0.006 dla różnych „δ” przedstawia nam poniższa tabelka (według miar angielskich):

σ	0,05	0,10	0,15	0,20
K _y	0,025	0,036	0,046	0,054
$\frac{\omega R}{V}$	2,48	2,28	2,12	2,00
10 ⁴ $\frac{p}{V^2}$	0,45	0,84	1,09	1,28
10 ⁴ $\frac{\eta N}{G V}$	2,65	2,79	2,95	3,08

Uw. licząc miarami angielskimi należy położyć zamiast $\frac{75 \eta N}{G}$ wyrażenie $\frac{550 \eta N}{G}$

Poniższe tabelki podają nam najlepsze obciążenia i moc potrzebną do lotu dla różnych szybkości i różnych „σ” przeliczone według powyższych równań, przyczem złożono G = 475 kg, (t. j. ciężar całkowity autożyra w locie). Dane te odnoszą się oczywiście do samego rotora, tak, że dla całego autożyra należy jeszcze dodać moc potrzebną do pokonania oporów szkodliwych, przyczem jednak najlepsze odpowiadające danej szybkości obciążenie rotora pozostaje bez zmiany (patrz przykład przy końcu niniejszego).

Wykres 13



	σ = 0,10			σ = 0,20			
V	100	150	200	100	150	200	Km/godz
p	3,66	8,05	15,15	5,28	14,9	—	Kg/m²
η N	26,8	40	54	29,6	44,25	∞ 59	MK

Mając ciężar G, i najlepsze obciążenie „p” łatwo wyznaczyć dla każdego wypadku potrzebną średnią rotora.

Widzimy z tego, że im „σ” jest większe, czyli im większe wydłużenie śmigł tem mniejszą moc potrzebujemy do osiągnięcia tej samej szybkości. Ponieważ wtedy maleje również najkorzystniejsze obciążenie powierzchni, zatem musi rosnąć średnica rotora. Najkorzystniejsze obciążenie spada szybciej, niż maleje współczynnik wyporu, a zatem osiągamy większą szybkość maksymalną przy równoczesnej mniejszej szybkości minimalnej (na skutek wzrostu średnicy rotora). Obecnie dochodzą konstruktorzy autożyra do wartości σ = 0,045 i dalszy postęp w tej dziedzinie wydaje się być możliwy. Jakkolwiek bowiem według Glauerta nie można robić zbyt cienkich śmigł o dużej średnicy (w swej pracy przyjmuje on jako wartość typową σ = 0,2), ze względu na wytrzymałość materiału, to jednak wydaje się, iż wskutek prawie zupełnego braku momentów gnących, oraz przy użyciu dobrych gatunków stali możliwe jest osiągnięcie dużych wydłużeń bez obniżania współczynnika bezpieczeństwa. Iż tak jest, najlepszy dowód, że od czasu, gdy H. Glauert ogłosił swą pracę, konstruktorzy poszli bardzo daleko w tym kierunku i wydaje się, że granicą będą tu raczej względy konstrukcyjne, niż wytrzymałościowe.

Dla całego autożyra w równaniu na szybkość należy dodać, jak już wspomniano, jeszcze moc potrzebną na pokonanie oporów szkodliwych (kadłub, podwozie, opierzenia i t. p.). Jeżeli moc tą oznaczymy przez N_s wtenczas otrzymamy:

$$N_s = \Sigma (f \cdot k_x) \rho \frac{V^3}{75} \cdot \frac{1}{2} \text{ gdzie } \Sigma (f \cdot k_x) \quad (95)$$

jest sumą iloczynów poszczególnych powierzchni szkodliwych i współczynników oporu wyrażoną w m².

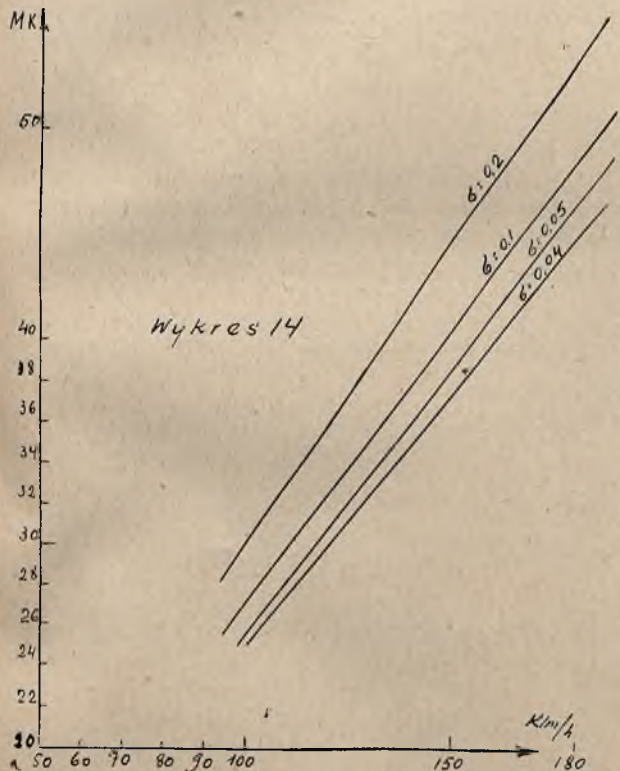
Zatem mamy:

$$\frac{75 \eta N}{G} = 2 \tau_s \sqrt{\frac{sp}{\rho \sigma \delta}} + \frac{p}{2 \rho V} + 2 S V^2 \sqrt{\frac{\rho \sigma s}{\delta p}} + \Sigma (f \cdot k_x) \frac{\rho}{2} \cdot \frac{V^3}{G} \quad (96)$$

Jak widać odrazu ostatni wyraz wypada z pochodnej $\frac{dN}{dp}$ czyli najkorzystniejsze obciążenie powierzchni rotora nie zależy od oporów szkodliwych, lecz jedynie od charakterystyki rotora.

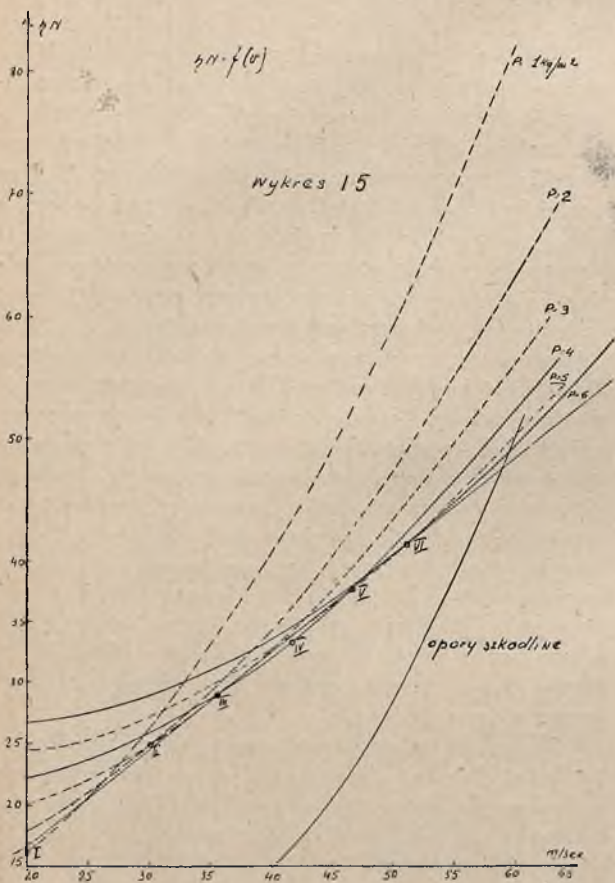
Również 92 możemy przedstawić graficznie jako P_{opt.} = f (V). Wykres taki dla różnych parametrów

Wykres 14



	σ = 0,04			σ = 0,05			
V	100	150	200	100	150	200	Km/godz
p	1,85	4,08	7,33	2,25	4,85	8,8	Kg/m²
η N	24,6	36,95	49,3	25	38,3	51	MK

„ σ ” podaje rys. 13. Widzimy z niego odrazu, że jeśli chcemy np. osiągnąć szybkość $V_{maks.} = 150$ km/godz. o przy $\sigma = 0.05$ należy dać $p = 3.01$ kg/m² zaś przy $\sigma = 0.1$, $p = 4.45$ kg/m², by moc potrzebna do lotu była minimum. Zatem im „ σ ” mniejsze tem mniejsze jest obciążenie „optimum” względnie przy tem samym obciążeniu osiągamy większą szybkość, przy minimum mocy potrzebnej do lotu.



Wykres Nr. 15 podaje nam moc potrzebną do lotu w zależności od szybkości dla $\sigma = 0.04$ dla różnych obciążeń rotora. Widzimy z niego odrazu, jaka moc potrzebna jest do lotu z daną szybkością przy obranym „ σ ” oraz dla obranego obciążenia „ p ”. Prócz tego widzimy, iż dla małych mocy i małych szybkości korzystne są mniejsze obciążenia, zaś przy dużych szybkościach i mocach obciążenia większe. Sposób zastosowania obu wykresów będziemy mieli w dalszym ciągu przy przykładowem obliczeniu autożyra.

XVIII. SZYBKOŚĆ OPADANIA PIONOWEGO.

By ustalić warunki pionowego opadania autożyra, trzeba znaleźć opór rotora odpowiadający szybkości V działającej osiowo, czyli prostopadle do płaszczyzny rotora (przyczem rozważania niniejsze nie odnoszą się do szybkości indukowanej).

Szybkość przepływu strug powietrza przez powierzchnię rotora zakładamy stałą, zaś szybkość obwodowa końca śmigła jest dana równaniem:

$$\omega R = 2 \sqrt{\frac{s p}{\rho \sigma \cdot \delta}}$$

z teorii śmigieł wiemy, iż ciąg śmigła można wyrazić równaniem:

$$T = z_t m F u^2$$

Podobnie tutaj możemy napisać:

$$T = 2 \cdot \pi R^2 \rho v^2 \cdot f = 2 \pi R^2 \rho u^2 F \quad (97)$$

gdzie współczynniki f i F znaleziono empirycznie.

$$F = \frac{T_c}{2 s^2} = \frac{\sigma \cdot \delta}{8 s^3} \quad (98)$$

$$\frac{1}{f} = 2 + \sqrt{\frac{3}{F}} \quad (99)$$

Jeżeli zatem znamy wartość współczynników f i F to szybkość opadania pionowego V_0 możemy wyliczyć następująco:

Wypór rotora $T = \pi R^2 \cdot p =$ pow. rotora \times obciążenie jednostkowe.

A zatem $R^2 \pi p = 2 \pi R^2 \rho V_0^2 \cdot f$ czyli ostatecznie:

$$V_0 = \sqrt{\frac{p}{2 \rho f}} \quad (100)$$

Gdyby rotor autożyra zachowywał się, jak spadochron tej samej powierzchni to wartość współczynnika f wynosiłaby 0.30, jednak według Glauerta wyniki badań wskazują, że w rzeczywistości wartość ta jest wyższa i dochodzi do granicy $f = 0.5$.

Wstawiając w równanie 99 wartość $F = \frac{\sigma \cdot \delta}{8 s^3}$ otrzymujemy:

$$\frac{1}{f} = 2 + \sqrt{\frac{24 s^3}{\sigma \cdot \delta}} = 2 + 4.9 \frac{s \cdot \delta}{\sqrt{\sigma \cdot \delta}}$$

czyli:

$$V_0 = \sqrt{\frac{p}{2 \rho \left(2 + 4.9 \sqrt{\frac{s^3}{\sigma \cdot \delta}} \right)}}$$

widzimy zatem, że V_0 jest tem mniejsze im większe jest „ s ”, oraz im mniejsze jest σ oraz δ . Poza tem widzimy, iż szybkość opadania pionowego maleje z drugim pierwiastkiem obciążenia powierzchni rotora.

Dla $\sigma = 0,045$, $\delta = 0,006$, mamy $s = 0,022$ czyli $F = 3.18$ zaś $f = 0.337$ przeto $V_0 = 24 \cdot \sqrt{p}$ ft/sek.

Dla $\sigma = 0,2$, $\delta = 0,006$, $s = 0,022$ mamy:

$$F = 14, \text{ zaś } f = 0,4 \text{ zatem } V_0 = 23 \sqrt{p} \text{ ft/sek.}$$

Widzimy zatem, że przy małym $\sigma = 0,045$, szybkość opadania zwiększa się jedynie bardzo nieznacznie, bo tylko o $\frac{24 \cdot 6}{23} = 1.066$ przytem samem obciążeniu powierzchni rotora „ p ”.

Równocześnie jednak wyczyny autożyra rosną znacznie, tak, że jest pożądane obierać σ możliwie najmniejsze.

XIX. DALSZE ROZWINIĘCIE TEORJI AUTOŻYRA.

Teorja tu podana opracowana przez H. Glauerta opiera się na pewnych założeniach upraszczających, z których najważniejsze możemy zgrupować, jak następuje:

- 1) Współczynnik szybkości osiowej prostopadłej do płaszczyzny rotora jest stały na całej powierzchni i mały, co do swej bezwzględnej wartości.
- 2) Współczynnik wyporu śmigła jest proporcjonalny do jej kąta natarcia, zaś współczynnik oporu jest wartością stałą.
- 3) Ruch wahający śmigł możemy przedstawić jako szereg Fourriera'a, przyczem spółczynniki $\cos. 2 \psi$ oraz $\sin. 2 \psi$ można zaniedbać.

4) Kwadraty i wyższe potęgi wyrażenia $t = \frac{V \cos. i}{R \omega}$ można zaniedbać.

H. Lock, który w dalszym ciągu rozwinął i uzupełnił teorię opracowaną przez Glauerta, odrzucił niektóre z jego założeń upraszczających, co spowodowało znacznie skomplikowanie samej teorji, jednak dało w rezultacie dokładniejsze wyniki.

Brak miejsca nie pozwala tutaj na przytoczenie pracy Lock'a, dlatego podaję krótko założenia, z których wyszedł on przy opracowywaniu swej teorji, wraz z ostatecznymi wynikami.

Przedewszystkiem odrzucił Lock założenie upraszczające Nr. 4 wprowadzając do swych równań drugie potęgi parametru „t”.

Z pracy jego wynika iż ruch wahający śmigł można zastąpić teoretycznie odpowiednią zmianą kąta natarcia śmigła podczas jej jednego obrotu. W myśl teorji Glauer-

ta stosunek $\frac{C_y}{C_x}$ maks. otrzymujemy wtedy około

2 razy większy, niż dla normalnej maszyny, jednak Lock udowadnia, że jest to tylko zysk pozorny wynikły z niedokładności poprzedniej teorji. Zysk ten znika całkowicie jeśli ruch śmigł odniesiemy nie do płaszczyzny idealnej rotora, lecz do płaszczyzny, w której poruszają się śmigła.

Z założeń upraszczających Glauerta zatrzymuje Lock założenie pierwsze przyczem również zaniedbuje 2-gie potęgi parametru $s = \frac{u}{\omega R}$.

Również założenie drugie teorji Glauerta utrzymuje Lock w mocy, jakkolwiek należałoby zastąpić średni opór profilu śmigła (jako też współczynnik nośności przyjęty proporcjonalnie do kąta natarcia) wartościami otrzymanymi z badań tunelowych.

Dla ruchu wahającego śmigł (założenie 3-cie) zatrzymuje Lock pierwsze trzy wyrazy szeregu Fourriera'a zaś wszystkie pozostałe zaniedbuje.

Teorja Lock'a jakkolwiek nie daje jeszcze pełnego i dokładnego obrazu zjawisk zachodzących w rotorze autożyra (naogół daje wyniki nieco gorsze od rzeczywistości) jednak jest dokładniejsza od teorji Glauerta i zwłaszcza w drugiej swej części (teorja ruchu śmigł) niezmiernie ciekawa.

Interesujących się przedmiotem odsyłam do oryginalnej pracy Lock'a podanej w zakończeniu niniejszego artykułu.

Poniższa tabelka przedstawia zestawienie niektórych wyników uzyskanych na podstawie teorji Lock'a z wynikami uzyskanymi na podstawie teorji Glauerta.

(Oznaczenie „A” oznacza ruch śmigł odniesiony do idealnej płaszczyzny rotora, oznaczenie „B” ruch odniesiony do płaszczyzny samych śmigł).

	Wg. teorji Glauerta	Wg. teorji Lock'a
Wypór „T”	$T = B c \rho \omega^2 R^3 1,5 \alpha \left(s + \frac{2}{3} \theta_0 \right)$ <p>$\theta_0 =$ średni kąt zaklinowania śmigła</p>	<p>A)</p> $T = \left[B c \rho R^3 \omega^2 0,5 \alpha \left[s_A + \frac{2}{3} \theta \left(1 + \frac{3}{2} t^2 \right) \right] \right]$ <p>B)</p> $\left[B c \rho R^3 \omega^2 0,5 \alpha \left[s_B + \frac{2}{3} \theta \left(1 + \frac{3}{2} t^2 \right) - t \beta_1 \right] \right]$
Siła podłużna „H”	$H_A = B c \rho \omega^2 R^3 \left[\frac{1}{2} t \delta - \frac{1}{2} t \alpha s_A \theta_0 + \alpha \beta_1 \left(\frac{3}{4} A + \frac{1}{3} \theta^1 + \frac{1}{4} t \beta_1 \right) \right]$ $H_B = B c \rho \omega^2 R^3 \left[\frac{1}{2} t \delta - \frac{1}{2} t \alpha s_B \theta_0 + \frac{1}{4} \alpha \beta_1 s_B \right]$	$H_A = B c \rho \omega^2 R^3 \left[0,5 t \delta - 0,5 t \alpha s \theta_0 + \alpha \beta_1 \left(\frac{3}{4} s + \frac{1}{3} \theta_0 \right) \right]$ $H_B = B c \rho \omega^2 R^3 \left[0,5 t \delta - 0,5 t \alpha s \theta_0 + \frac{1}{4} \alpha \beta_1 s \right]$ <p>$\alpha \cong 3\% R$ (wysokość łuku wygiętej śmigła)</p>

	Wg. teorii Glauerta	Wg. teorii Lock'a
Kąt β_1 ruchu wahającego śmig	$\beta_1 = 2 \cdot t \left(s + \frac{4}{3} \Theta_0 \right)$	$\beta_1 = \left\{ \begin{array}{l} A) \frac{2 t \left(s_A + \frac{4}{3} \Theta_0 \right)}{1 - 0,5 t^2} \\ B) \frac{2 \cdot t \left(s_B + \frac{4}{3} \Theta_0 \right)}{1 + \frac{3}{2} t^2} \end{array} \right.$
Warunek zerowego momentu obrotowego	$\frac{\delta}{2\alpha} = t_0^2 = s \left(s + \frac{2}{3} \Theta_0 \right)$	$\frac{\delta}{2\alpha} (1+t^2) = \left\{ \begin{array}{l} A) \left[s_A \frac{1 + \frac{3}{2} t^2}{1 - \frac{1}{2} t^2} + \frac{8}{3} \Theta_0 \frac{t^2}{1 - \frac{1}{2} t^2} \right] \\ B) \left[s_B \frac{1 + \frac{1}{2} t^2}{1 - \frac{1}{2} t^2} + \frac{2}{3} \Theta_0^2 \frac{1 + \frac{3}{2} t^2}{1 - \frac{1}{2} t^2} \right] \\ \left[s_B \frac{1 + \frac{1}{2} t^2}{1 + \frac{3}{2} t^2} + \frac{2}{3} \Theta_0^2 \frac{1 - \frac{1}{2} t^2}{1 + \frac{3}{2} t^2} \right] \end{array} \right.$
„Finesse” $\frac{C_x}{C_y}$	$\left(\frac{X}{Y} \right)_A = \text{tang. } i + \frac{H_A}{T}$ $\left(\frac{X}{Y} \right)_B = \text{tang. } i = \frac{H_B}{T}$	$A) \frac{X}{Y} = \left(\text{tang. } i_A + \frac{H_A}{T} \right) = \frac{\delta (1 + 3 \cdot t^2)}{4 \cdot t \cdot \lambda} + \frac{0,5 \sigma \lambda}{t \sqrt{t^2 + s^2}}$ <p style="text-align: right;">przyczem:</p> $B) \lambda = \frac{T}{B \cdot c \rho R^3 \omega^2} = \frac{T c}{\sigma}$
Interferencja strug.	$\text{tang. } i_A = \text{tang. } i_B = \frac{s}{t} + \frac{0,5 \sigma \lambda}{t \sqrt{t^2 + s^2}} = \frac{s}{t} + \frac{0,5 T c}{t \sqrt{t^2 + s^2}}$	$\text{tang. } i_A = \frac{s_A}{t} + \frac{0,5 \sigma \lambda}{t \sqrt{t^2 + s^2}} = \frac{s_A}{t} + \frac{0,5 T c}{t \sqrt{t^2 + s^2}}$ $\text{tang. } i_B = \frac{s_B}{t} + \frac{0,5 \sigma \lambda}{t \sqrt{t^2 + s^2}} = \frac{s_B}{t} + \frac{0,5 T c}{t \sqrt{t^2 + s^2}}$

Z równań w tabelce widzimy, iż zanedbując w wyrazach (B) parametr „t” otrzymujemy z wzorów wprowadzonych przez Lock'a, równania otrzymane według teorii Glauert'a.

XX. PRZYKŁAD OBLICZENIA WYCZYŃNÓW AUTOŻYRA.

Założmy, iż mamy wykonać obliczenia wstępne wyczynów autożyra o następujących danych:

Silnik „Genet” 80 MK.

Ciężar całkowity w locie $G = 475$ kg.

$$\sigma = 0,04$$

$$\Theta = 2^\circ$$

Wyliczamy opory szkodliwe aparatu (bez rotoru). Założmy, iż wynoszą one w naszym wypadku

$$\Sigma (f \cdot k_x) = 0,28 \text{ m}^2.$$

Obliczenia maksymalnej szybkości.

Dla tego wypadku lotu mamy równanie

$$\frac{75 \eta N}{G} = 2 s \sqrt{\frac{s \cdot p}{\rho \sigma \delta}} + \frac{p}{2 \rho V} + 2 S \cdot V^2 \sqrt{\frac{\rho \sigma s}{\delta p}} + \frac{\rho}{2} \cdot \frac{V^3}{G} \Sigma (f \cdot k_x) \quad (101)$$

Uw. Licząc wielkościami angielskimi należy położyć

$$\frac{550 \eta N}{G} \text{ oraz: } \rho \frac{V^3}{G} \Sigma \left(f \frac{k_x}{2} \right)$$

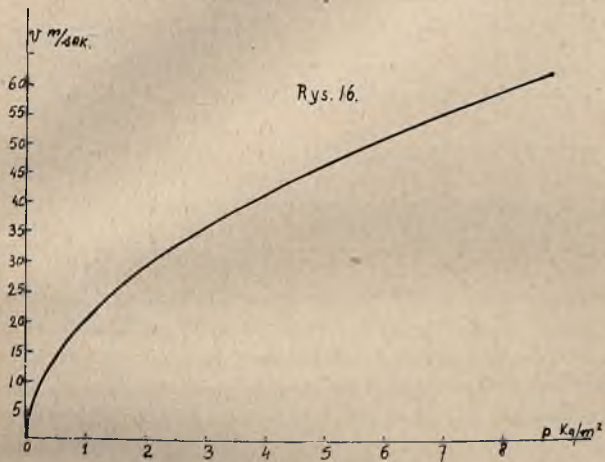
Przyjmując $\delta = 0,01$ (0,005 wg. ang.) otrzymujemy $s = 0,0195$ (równ. 57), oraz $S = 0,01191 = 0,012$ (równ. 73).

Przyrównując pierwszą pochodną do zera ($\frac{dN}{dp} = 0$) otrzymujemy równanie

$$s \sqrt{\frac{s \cdot p}{\rho \sigma \delta}} + \frac{p}{2 \rho V} = S \cdot V^2 \sqrt{\frac{\rho \sigma s}{\delta \cdot p}} \quad (102)$$

które podaje nam obciążenia powierzchni rotora w funkcji szybkości. Są to obciążenia, które przy danych szybkościach wymagają najmniejszej mocy, wzgl. przy danej mocy umożliwiają osiągnięcie możliwie największej szybkości.

Wykreślamy krzywą $p = f(V)$ wyluczając stałe współczynniki (wykres 16):



$$s \sqrt{\frac{s}{\rho \sigma \delta}} = 0,385 \text{ (4. 22)*}, \quad \frac{1}{2 \rho} = 4 \text{ (210)}$$

$$S \sqrt{\frac{\rho \sigma s}{\delta}} = 0,00133 \text{ (0. 000256)}$$

Poniższa tabelka podaje nam wyliczone odpowiednie wartości „V” dla przyjętych obciążeń „p”.

Teraz z równania 93 wyluczamy dla różnych szybkości i różnych obliczeń moc potrzebną do lotu. By zdać

sobie sprawę ile mocy potrzebujemy do pokonania oporów szkodliwych obliczamy osobno moc potrzebną dla tych oporów z równania:

$$\frac{75 \eta N}{G} = \frac{\rho}{2} \cdot \frac{V^3}{G} \Sigma (f \cdot K_x)$$

lub

$$\eta N = \frac{\rho}{2} \cdot \frac{V^3}{75} \Sigma (f \cdot K_x)$$

jest to moc potrzebna na śmigle. Moc potrzebną na wale korbowym możemy uzyskać dzieląc otrzymane wyniki przez η śmigła. Poniższa tabelka podaje nam przeliczenie mocy według równania

$$N = \frac{1}{16} V^3 \frac{0,28}{75}$$

V m/sek.	N na śmigle	N na wale korbowym
20	1,87 MK	2,5 MK
30	6,3 „	8,4 „
40	14,9 „	20 „
50	29 „	39 „
60	50,5 „	67 „

Powyższe przeliczenie dokonane zostało dla $\eta = 0,75$ przy wszystkich szybkościach, czyli założono, że dla każdej szybkości dobrane jest specjalne śmigło dające $\eta = 0,75$.

Osobno wyluczamy moc potrzebną do pokonania oporów rotora według równania:

$$\frac{75 \eta N}{G} = 2 \cdot s \sqrt{\frac{s \cdot p}{\rho \sigma \delta}} + \frac{p}{2 \rho V} + 2 \cdot S \cdot V^2 \sqrt{\frac{\rho \sigma s}{\delta \cdot p}} \dots (103)$$

V m/sek.	p = 1 kg/m²		p = 2 kg/m²		p = 3 kg/m²	
	$\frac{75 \eta N}{G}$	ηN	$\frac{75 \eta N}{G}$	ηN	$\frac{75 \eta N}{G}$	ηN
20	2,58	16,3	2,85	18	3,20	20,2
30	4,18	26,5	3,95	25	3,98	25,2
40	6,48	41	5,45	34,5	5,22	33
50	9,3	59,8	7,52	47,7	6,90	43,6
60	13,0	82,5	10,5	63,7	8,94	56,6

p kg m²	1	2	3	4	5	6	7	8	9
V opt. m/sek.	20,5	29,3	35,8	41,5	47	51	54,6	58,5	62,3
V opt. km/godz.	74	105	129	149	169	184	196	211	224

*) W nawiasach według współczynników angielskich.

V m/sek.	$p = 4 \text{ kg/m}^2$		$p = 5 \text{ kg/m}^2$		$p = 6 \text{ kg/m}^2$	
	$\frac{75 \eta N}{G}$	ηN	$\frac{75 \eta N}{G}$	ηN	$\frac{75 \eta N}{G}$	ηN
20	3.56	22,5	3.92	24,8	4.30	27,2
30	4.14	26,2	4.33	27,5	4.60	29,2
40	5.08	32,2	5.22	33	5.35	33,8
50	6.63	42	6.96	40,9	6.46	40,9
60	8.30	52,5	8.00	50,4	7.88	49,8

Na podstawie tych tabel, kreślmy wykres Nr. 15 krzywych mocy potrzebnych do lotu dla różnych obciążeń „ p ” i różnych szybkości „ V ”. Z wykresu tego widzimy, iż przy małych szybkościach lotu małe obciążenia rotora wymagają mniejszych mocy, niż obciążenia duże, zaś przy dużych szybkościach lotu mniejszej mocy wymagają większe obciążenia rotora.

Jeżeli teraz z wykresu Nr. 16 weźmiemy dla każdego obciążenia „ p ” odpowiadającą mu szybkość optimum i odpowiedni punkt naniesimy na wykres Nr. 15, to otrzymamy szereg punktów I, II, III, IV i t. d.

Punkty te połączone ze sobą dają nam linię prostą, która jak widzimy z wykresu jest styczną do wszystkich krzywych i określa nam odrazu najmniejszą moc potrzebną do lotu, przy danej szybkości, jako też najkorzystniejsze obciążenie rotora „ p ”.

Na podstawie tych dwóch wykresów możemy odrazu określić szybkość maksymalną. Wiemy mianowicie, iż maksymalna moc rozporządzalna na wale korbowym wynosi dla naszego silnika $N = 88 \text{ MK}$ (moc normalna $N = 80 \text{ MK}$), zakładając $\eta = 0,75$ otrzymujemy moc rozporządzalną na śmigle $N = 88,0,75 = 66 \text{ MK}$.

Przy tej mocy $V_{maks} = 48,5 \text{ m/sek.} = 174 \text{ km/godz.}$ (dla mocy 80 MK $V_{maks} = 165 \text{ km/godz.}$). Z wykresu Nr. 15 odczytujemy, iż moc potrzebna do pokonania oporów szkodliwych wynosi $N = 26 \text{ MK}$, zaś moc potrzebna do pokonania oporów rotora $N = 39,8 \text{ MK}$, czyli w sumie $N = 65,8 \text{ MK}$, przyczem najkorzystniejsze obciążenie rotora wynosi $p = 5,5 \text{ kg/m}^2$.

Sprawdzamy na wykresie Nr. 16, odczytując, iż dla $p = 5,5 \text{ kg/m}^2$ $V_{opt.} = 47,5 \text{ m/sek.}$, co zgadza się dobrze.

Ponieważ ciężar naszej maszyny założyliśmy $G = 475 \text{ kg.}$ (w locie), zatem potrzebna powierzchnia rotora wynosi:

$$F = \frac{47,5}{5,5} = 86 \text{ m}^2 \text{ czyli } D_{rot.} = 10,5 \text{ m.}$$

Kontrolując szybkość według równania Nr. 96 otrzymujemy:

$$\frac{75 \eta N}{G} = 4,1 + 6,4 = 10,5$$

$$\text{czyli } N = 26 + 40,5 = 66,5 \text{ MK}$$

co zgadza się z wykresami z dokładnością około 2%.

Z wykresu Nr. 15, widzimy również, iż im większa szybkość lotu, tem bardziej rośnie procentowo zapotrzebowanie mocy, potrzebnej do pokonania oporów szkodliwych.

Jeżeli na przykład weźmiemy pod uwagę szybkość 40 m/sek. , to moc ogólna, potrzebna do lotu, wynosi $15 + 33 = 48 \text{ MK}$, czyli opory szkodliwe pochłaniają 31% mocy całkowitej.

Natomiast przy szybkości np. 60 m/sek. , mamy moc potrzebną do lotu $50,5 + 50,5 = 101 \text{ MK}$, czyli opory szkodliwe pochłaniają 50% mocy całkowitej.

Możemy to wywnioskować odrazu z równania Nr. 96, gdyż, jak widzimy tam, moc potrzebna do pokonania oporów szkodliwych rośnie z trzecią potęgą szybkości, zaś moc potrzebna do pokonania oporów rotora rośnie w myśl równania:

$$N = a + \frac{b}{V} + c \cdot V^2$$

a więc wolniej, niż opory szkodliwe, przyczem współczynniki a, b, c , mają dla danych założeń konstrukcyjnych wartości stałe.

W szczególności widzimy, iż wyraz „ a ” rośnie wraz z obciążeniem w stosunku \sqrt{p} , wyraz „ b ” rośnie proporcjonalnie do obciążenia „ p ”, zaś wyraz „ c ” maleje proporcjonalnie do $\frac{1}{\sqrt{p}}$.

Ponieważ jednak wyraz „ a ” pozbawiony jest szybkości „ V ”, zaś w wyrazie $\frac{b}{V}$ przy wzroście obciążenia

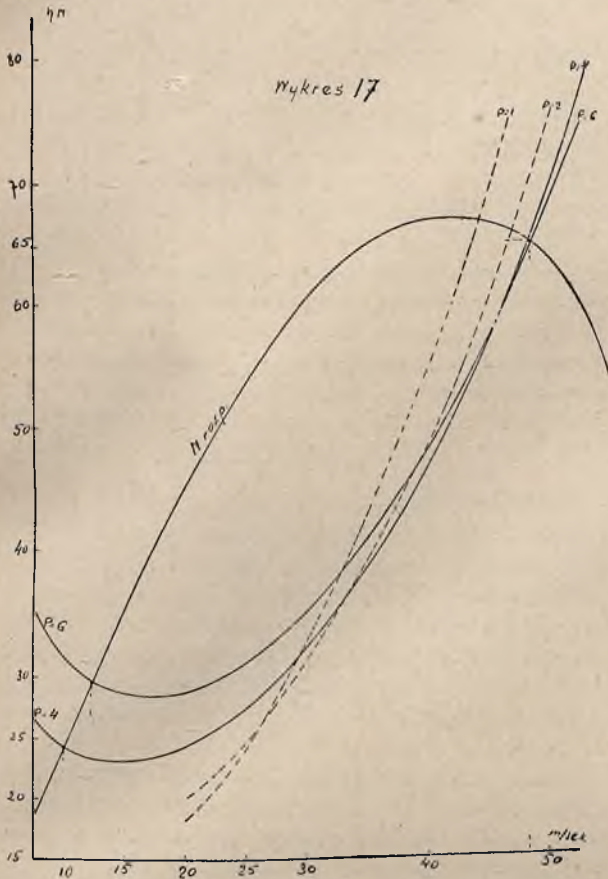
rośnie również i „ V ”, zatem przy dużych szybkościach wyrazy te nie grają zbyt dużej roli. W wyrazie $c \cdot V^2$, przy wzroście szybkości, współczynnik „ c ” maleje, tem więcej, im większe jest obciążenie, przeto jest jasne, iż przy dużych szybkościach lotu i dużym obciążeniu „ p ”, wyraz $c \cdot V^2$ działa hamująco na wzrost mocy, zaś przy szybkościach dużych i małym obciążeniu, moc ta rośnie znacznie szybciej bo, jak widać z wykresu Nr. 15, prawie równoległe do krzywej oporów szkodliwych ($p = 1 \text{ kg/m}^2$).

W ogólności, im większe obciążenie powierzchni rotora, tem wolniej rośnie moc potrzebna do lotu wraz ze wzrostem szybkości, ale też tem większa jest moc potrzebna do lotu przy małych szybkościach, oraz tem większa jest szybkość opadania pionowego.

Wykres Nr. 17 podaje nam całkowitą moc potrzebną do lotu w funkcji szybkości dla obciążenia 1, 2, 4, 6 kg/m^2 .

Z wykresu tego widzimy natychmiast, iż przy mocy $N \approx 66 \text{ MK}$ (na śmigle) i obciążeniu $p = 5,5 \text{ kg/m}^2$ otrzymujemy: $V_{maks} = 48,3 \text{ m/sek.}$, przyczem szybkość prawie równą otrzymamy przy tejże mocy dla $p = 4 \text{ kg/m}^2$, oraz $p = 6 \text{ kg/m}^2$.

Widzimy z tego odrazu, iż ze względu na szybkość opadania pionowego, korzystniej jest dla naszej mocy silnika obrac $p = 4 \text{ kg/m}^2$, gdyż wtedy bardzo niewiele



Wykres 17

tracimy na szybkości maksymalnej, zaś szybkość opadania pionowego znacznie zmniejszamy.

By znaleźć moc rozporządzalną dla każdej szybkości, zakładamy, iż śmigło dobrane jest do szybkości $V = 150 \text{ km/godz.}$, czyli $41,7 \text{ m/sek.}$ Doboru śmigła dokonujemy wg. książki „Aircraft Propeller Design” by Fred E. Weick, 1930, przyczem obliczone $\eta_{\text{maks}} = 0,78$.

Dla różnych szybkości wyliczamy sprawność śmigła

$$\eta = \eta_{\text{maks}} \cdot \epsilon \quad \text{przyczem} \quad \epsilon = \frac{3}{2} \left[\frac{V}{V_0} - \frac{1}{3} \left(\frac{V}{V_0} \right)^3 \right]$$

czyli otrzymujemy:

V	20	30	40	48,5	50	60	70	m/sek.
V/V_0	0,480	0,715	0,955	1,160	1,195	1,435	1,675	
ϵ	0,665	0,90	0,995	0,96	0,94	0,65	0,165	
η	0,52	0,70	0,775	0,75	0,735	0,51	0,13	
$N_{\text{rozp.}}$	46	61,5	68	66	64,5	45	11,5	MK

Wykreślamy krzywą mocy rozporządzalnej (wykres Nr. 17).

Jak widzimy z wykresu, największy nadmiar mocy

mamy przy szybkości $V = 28,75 \text{ m/sek.} = 103 \text{ km/godz.}$ Nadmiar ten wynosi:

- dla $\rho = 6 \text{ kg./m}^2 \quad N_n = 26,2 \text{ MK}$
- $\rho = 5 \quad \quad \quad N_n = 27,5 \quad \quad \quad \cdot$
- $\rho = 4 \quad \quad \quad N_n = 29 \quad \quad \quad \cdot$

Stąd otrzymujemy natychmiast szybkości wznoszenia się z równania:

$$\omega = \frac{75 \cdot N_n}{G} \text{ m/sek.} \quad \dots \quad (104)$$

zatem otrzymujemy:

- $\rho = 6 \text{ kg./m}^2 \quad \omega = 4,13 \text{ m/sek.}$
- $\rho = 5 \quad \quad \quad \omega = 4,35 \quad \quad \quad \cdot$
- $\rho = 4 \quad \quad \quad \omega = 4,6 \quad \quad \quad \cdot$

Chcąc obliczyć pułap, wyliczamy dla różnych wysokości 1000, 2000, 3000 m. i t. d., oraz dla różnych szybkości moc potrzebną do lotu wg. równania:

$$N_H = N_z \cdot \frac{1}{\sqrt{\delta_H}} \quad \dots \quad (105)$$

gdzie:

- N_H = moc potrzebna do lotu na wysokości „H”.
- N_z = moc potrzebna do lotu przy ziemi.
- δ_H = stosunek gęstości powietrza na wysokości „H” do gęstości powietrza przy ziemi.

H	0	1000	2000	3000	4000	5000	6000	m.
δ_H	1	0,9175	0,8216	0,7421	0,668	0,6008	0,538	
$\sqrt{\delta_H}$	1	0,9526	0,9064	0,8615	0,8177	0,7751	0,7337	

Następnie wyliczamy moc rozporządzalną dla każdej wysokości dla poszczególnych szybkości wg. równania:

$$N_H \cong N_z \eta^\epsilon \nu \cdot \omega \quad \dots \quad (104)$$

$$\text{gdzie} \quad \nu = \frac{\rho z}{\rho_0} \sqrt{\frac{T_0}{T}}$$

wyraża zmniejszenie się mocy z wysokością, zaś „ ω ”, spadek ilości obrotów.

H	0 m	1000	2000	3000	4000	5000	6000
ν	1	0,898	0,805	0,715	0,640	0,565	0,500

Jeżeli mamy wykres mocy silnika dla różnych wysokości, to moc rozporządzalną na wale korbowym dla każdej wysokości odczytujemy wprost z wykresu.

Mając te przeliczenia dla różnych wysokości, znajdujemy dla każdej z nich (jak poprzednio) maksymalną szybkość wznoszenia i robimy wykres szybkości wznoszenia się w funkcji wysokości.

Dla szybkości wznoszenia $w = 0 \text{ m/sek.}$ mamy pułap teoretyczny, zaś dla $w = 0,5 \text{ m/sek.}$ pułap praktyczny.

Ilość obrotów rotora (średnią) wyliczamy z równania:
czyli:

$$\omega R = 2 \sqrt{\frac{s \cdot p}{\rho \cdot \sigma \cdot \delta}} = \frac{R \cdot \pi \cdot n}{30} \dots (91)$$

czyli:

$$n = \frac{60}{\pi R} \sqrt{\frac{r \cdot p}{\rho \cdot \sigma \cdot \delta}} \dots (105)$$

zatem otrzymujemy:

p	R mtr.	n na minutę	$R \omega$	u m/sek.
6 kg./m ²	5,0	260	136 m/sek.	2,65
5 "	5,5	215	124 "	2,43
4 "	6,15	171	110,5 "	2,15

$$u = R \cdot \omega \cdot s$$

Maksymalnej szybkości odpowiada C_y , które wyliczamy z równania:

$$C_y = 100 \frac{16 p}{V^2} = \frac{1600 p}{2250}$$

p kg./m ²	C_y
6	4.28
5	3.55
4	2.85

Szybkość opadania pionowego.

Obliczamy współczynniki:

$$F = \frac{\sigma \cdot \delta}{8 \cdot s^3} = \frac{0,04,0,005}{8,0,0195^3} = 3,38$$

$$\frac{1}{f} = 2 + \frac{\sqrt{3}}{\sqrt{F}} = 2 + \frac{1,73}{\sqrt{3,38}} = 2 + 0,94 = 2,94, f = 0,34$$

zatem szybkość opadania pionowego

$$w = \sqrt{\frac{p}{2 \cdot \rho \cdot f}} = 3,42 \sqrt{p} \text{ m/sek.}$$

Wysokość spadku, odpowiadającą szybkości opadania „ w ” wyliczamy z równania:

$$h = \sqrt{\frac{w^2}{2 \cdot g}} = \frac{w}{4,44} \text{ mtr.}$$

Poniższa tabelka podaje nam te przeliczenia:

p kg./m ²	w m/sek.	h mtr.
6	8,36	1,87
5	7,65	1,72
4	6,84	1,54

Widzimy zatem, że szybkość opadania pionowego maleje przy malejącym obciążeniu powierzchni rotora, jak również przy rosnącym parametrze σ , czyli przy malejącym wydłużeniu śmig. Jednak ze względów podanych poprzednio, obieramy wydłużenie śmig możliwie duże.

Chcąc wykreślić biegunową rotora, posługujemy się równaniami Nr. 73, względnie 79.

Równania te jednak są bardzo niewygodne w użyciu, liczenie zaś niemi długotrwałe i żmudne.

Mając biegunową rotora, możemy wyliczyć wyczynny autożyra w sposób analogiczny, jak dla normalnego samolotu.

XXI. ZAKOŃCZENIE.

Autożyro, jakkolwiek w początkach swego rozwoju — to jednak już dzisiaj wykazało swe zasadnicze cechy, swoje zalety i wady, na podstawie których można sądzić o jego dalszym rozwoju i możliwościach.

Główną cechą, a zarazem i zaletą autożyra, jest bardzo duże bezpieczeństwo lotu (od czasu wzlotu pierwszego autożyra zdarzył się tylko jeden śmiertelny wypadek i to według wszelkiego prawdopodobieństwa z winy pilota).

Rotor autożyra daje siłę nośną nawet przy szybkości postępowej $V = 0$, czyli możliwe jest pionowe opadanie w dół, przyczem szybkość opadania jest mniejsza od szybkości opadania spadochronu o tej samej powierzchni i obciążeniu. W locie jest zatem autożyro „nieprzeciągalne” i jeśli nadamy rotorowi zbyt duży kąt natarcia, to nie traci on swych obrotów, a zatem i nośności, lecz jedynie cała maszyna zaczyna opadać w dół. Nie ma zatem niebezpieczeństwa przy ewentualnych błędach pilotażu u ucznia, szkolącego się w lataniu, zatem pilotaż jest, naogół biorąc, łatwiejszy. Wyrazem tego jest fakt, iż w Ameryce wymagania dla pilotów autożyra są mniejsze, niż dla pilotów normalnych samolotów.

Prócz tego, w burzliwym powietrzu, rotor autożyra przyjmuje miękko podmuchy wiatru, dzięki elastycznemu umocowaniu śmig, tak, że lot nie jest tak niespokojny, jak przy normalnym samolocie.

Pozatem rotor jest sam dla siebie płaszczyzną samostateczną, zatem nie potrzebuje do swego ustalecznienia opierzenia poziomego i lotek. Wyrazem tego jest nowy ostatnio powstały typ autożyra, gdzie nie ma dodatkowych skrzydeł ani opierzenia poziomego, jedynie opierzenie pionowe jest zachowane, co zmniejsza znacznie opory całej maszyny.

Jeżeli rotor jest napędzany na ziemi (przy rozruchu) od silnika (zapomocą samoczynnie wyłączającego się sprzęgła), to start autożyra jest krótki, a wznoszenie się strome.

Dalszą zaletą autożyra, wynikającą z możliwości pionowego opadania jest możliwość lądowania na bardzo małych terenach.

Łatwość składania śmig do tyłu wzdłuż kadłuba umożliwia bardzo łatwe i wygodne hangarowanie.

Wadą autożyra są nieco większe opory rotora, niż normalnego skrzydła, co wyraża się głównie w mniejszym nadmiarze mocy i mniejszej szybkości wznoszenia się, niż przy analogicznym normalnym samolocie. Szybkość maksymalna jest mniej więcej taka sama, zaś szybkość lądowania znacznie mniejsza i dochodzi do 25 — 30 kilom/godz.

Wadą jest też czułość rotora na przeciążenie, czemu jednak łatwo zaradzić przez zamianę rotora w razie potrzeby.

Rotor sam wymaga precyzyjnego wykonania, jakkolwiek konstrukcja samej śmigły jest bardzo prosta, gdyż składa się ona jedynie z jednej rury stalowej (o wysokiej wytrzymałości) z nawleczonymi na nie żebkami.

Sterowanie przy maszynie, pozbawionej lotek i opierzenia poziomego, odbywa się przez nachylenie całej płaszczyzny rotora w stosunku do reszty autożyra.

Reasumując, nadaje się autożyro w szczególności jako:

Samolot sportowy dla amatora — ze względu na duże bezpieczeństwo lotu i łatwość pilotażu.

Samolot łącznikowy — dla celów wojskowych, przy czym oprócz wymienionych już zalet, gra tu bardzo dużą rolę doskonała widoczność we wszystkich kierunkach (zwłaszcza przy typie bezskrzydłowym), jakoteż doskonała zwrotność samej maszyny, dzięki nieobecności sztywnego i ciężkiego skrzydła jak przy normalnym samolocie. Rotor na skutek przegubowego umocowania śmig nie daje żadnego momentu żyroskopowego, dzięki czemu maszyna pozbawiona bezwładnej masy skrzydła jest zwrotniejsza.

Samolot sanitarny, przyczem lot jest bardzo spokojny nawet przy burzliwej pogodzie.

Samolot komunikacyjny, gwarantujący duże bezpieczeństwo lotu.

W Niemczech niedawno otwarto na próbę linię lotniczą Berlin — Hamburg, obsługiwaną przez autożyra.

Samolot towarzyszący dla współpracy z głównymi rodzajami broni.

Samolot bombardujący — łatwość celowania przy pionowym opadaniu, jakoteż możność b. znacznego przeciążenia maszyny, dzięki łatwej zamianie śmig rotora.

BIBLIOGRAFJA.

1. Glauert, A General theory of the Autogyro. Reports and Memoranda Nr. 1111 (1926) Aeronautical Research Committee.

2. Lock, Further developement of Autogyro theory. R. a. M. 1127 (1927).

3. Lock and Townend, Wind tunnel experiments on a model Autogyro at small angles of incidence. R. a. M. Nr. 1154 (1928).

4. Glauert and Lock, A summary of the experimental and theoretical investigations of the characteristics of an Autogyro. R. A. M. Nr. 1162 (1928).

5. Glauert, Lift and torque of an Autogyro on the ground. R. a. M. Nr. 1131 (1927).

6. Caygill and Woodward, Nutt, Wind tunnel and dropping tests of Autogyro models. R. a. M. Nr. 1116 (1926).

7. M. Schrenk, Das Drehflügel-Flugzeug. V. D. I. Bd. 76, str. 843. (1932).

8. M. Schrenk, Entwicklungsrichtungen im gegenwärtigen Flugzeugbau. Z. F. M. 24, Heft 10. (1932).

9. Bennett, Über den Flug eines Autogiro mit grosser Geschwindigkeit. Z. F. M. 24, Heft. 17. (1933).

10. M. Schrenk. Die aerodynamischen Grundlagen der Tragschraube. Z. F. M. 24, Heft, 15, 16, 17. (1933).

11. Sanders and Rawson. The book of the C. 19 Autogiro. (1931).

Dr. inż. STEFAN NEUMARK

Obliczanie długości startu i lądowania z uwzględnieniem wiatru

Zagadnienie startu i lądowania było już wielokrotnie badane przez szereg autorów, głównie niemieckich¹⁾, przyczem podlegało ono rozpatrywaniu z najrozmaitszych punktów widzenia i przy użyciu różnych metod,

1) Poniżej podaję wykaz ważniejszych prac z tego zakresu:

a) Alayrac, Mécanique de l'aviation, Paris 1925, rozdz. XIII (L'atterrissage et l'envol), str. 315/322.

zarówno wykreślnych jak i rachunkowych. W niniejszym artykule chodzi przede wszystkim o uwzględnienie wpływu wiatru na długość startu i lądowania. Kwestja

b) A. Pröll, Die Startstrecke bei Flugzeugen, ZFM 1926, str. 316/322.

c) F. Z. Diemer, Verfahren zur graphischen Untersuchung der Startverhältnisse eines Flugzeugs, ZFM 1926, str. 325/326.

ta wzbudziła zainteresowanie w związku z ustalaniem instrukcyj dla zawodów lotniczych w tych wszystkich przypadkach, gdy punktacja obejmowała m. in. próby startu i lądowania. Próby te nie mogą naogół być przeprowadzone dla wszystkich uczestników w jednakowych warunkach, t. j. przy jednakowym wietrze. Aby więc nie premjować zawodników, napotyających na najsilniejszy wiatr przy próbie, konieczne jest ustalenie wzorów, pozwalających sprowadzić wszystkie wyniki do warunków jednakowych, a więc np. do bezwietrznej pogody. Musimy przytem w miarę możliwości spełnić następujące warunki:

A) Wzory powinny być możliwie proste, aby można było w krótkim czasie, pozostającym do dyspozycji organów kontrolujących zawody, przeliczyć obfity materiał cyfrowy, zebrany na lotnisku.

B) Wzory powinny być dostatecznie dokładne. Znaczy to, że jeśli w związku z niedoskonałością teorii i z wymaganiem A zatrzymamy się na pewnym przybliżeniu, to wzory nie mogą w żadnych warunkach powodować wyraźnych błędów na korzyść lub na szkodę zawodnika; należy więc uniknąć takiej sytuacji, by — już po uwzględnieniu przyjętego sposobu przeliczania — dla jakiegokolwiek maszyny pojawiła się możliwość uzyskania wyraźnie lepszych wyników bądź przy silnym, bądź przy słabym wietrze.

C) Wzory powinny zawierać tylko takie wielkości, które można łatwo mierzyć w czasie właściwej próby, przy użyciu najprostszych środków (taśmy mierniczej, stoppera, wiatromierza), a więc np. długość i czas startu

d) H. Blenk, Startformeln für Landflugzeuge, ZFM 1927, str. 25/32.

e) A. Pröll, Der Start schwer belasteter Flugzeuge, ZFM 1928, str. 25/30.

f) A. Brissot, Etude sur les longueurs de roulement au décollage et à l'atterrissage des avions, Services Techniques de l'Aéronautique, Bulletin Technique No. 59, Paris 1929, str. 1/36.

g) G. Mathias, Startformeln für Landflugzeuge, ZFM 1929, str. 528/529.

h) G. A. Mokrzycki, Rozbieg startujących samolotów, Sprawozd. Kwart. IBTL. Nr. 3, Warszawa 1930, str. 26/30.

i) G. Förstner, Vereinfachtes Verfahren zur Berechnung der Flugleistungen von Landflugzeugen, ZFM 1932, str. 169/173.

j) M. Schrenk, Abflug und Schraubenzug, ZFM 1932, str. 629/638.

k) E. Allard, Cours d'Aéronautique, Paris 1932, str. 234/236.

l) F. Janik, Obliczenie drogi dobiegu lądującego samolotu z uwzględnieniem hamowania kół, Sprawozd. IBTL. Nr. 8, Warszawa 1932, str. 139/157.

m) G. Mathias, Einfache Beziehungen für den Wind-einfluss beim Abflug von Landflugzeugen, ZFM 1933, str. 472/473.

oraz szybkość wiatru, natomiast wyrugować należy takie wielkości, których pomiar w czasie próby jest trudny lub wymaga specjalnej skomplikowanej aparatury (np. szybkości lub przyspieszenia samolotu w określonych chwilach startu i t. p.).

D) Tembardziej nie powinny figurować we wzorach takie wielkości, których wyznaczenie wymaga odrębnych specjalnych pomiarów, niezwiązanych z właściwą próbą startu lub lądowania, a więc np. pomiarów ciągu, współczynnika tarcia, współczynników aerodynamicznych płatowca (krzywa biegunowa) i t. p.

Różne postaci wzorów przeliczeniowych, o które nam chodzi, były proponowane (szczególniej dla startu) przez Blenk'a, Brissot'a, Förstner'a i Schrenk'a (odsylacz 1 d, f, i, j). Ponieważ jednak autorowie ci nie mieli na celu specjalnie instrukcyj dla zawodów lotniczych, a raczej potrzeby konstruktorów, więc oczywiście nie mieli oni powodu uwzględniać wyżej podanych warunków C i D. Nic też dziwnego, że wzory ich zawierały, jako jeden z głównych parametrów, szybkość u_a , jaką posiada samolot względem powietrza w chwili oderwania od ziemi. Otóż pomiar tej szybkości w czasie startu jest bardzo utrudniony (wiarogodne wyniki mogłaby dać chyba tylko metoda kinematograficzna). Łatwiej byłoby tę szybkość obliczać, przyczem jednak należałoby przedewszystkiem rozstrzygnąć różnicę poglądów poszczególnych autorów co do definicji tej szybkości; bowiem autorowie niemieccy przyjmują, że ta „Abhebegeschwindigkeit“ oznacza szybkość lotu, odpowiadającą wznoszeniu pod największym kątem, francuscy zaś biorą zamiast tego minimalną szybkość lotu poziomego („vitesse minimum en palier“). Niezależnie jednak od tej wątpliwości, obliczanie prędkości u_a wymaga znajomości krzywej biegunowej płatowca, co jest zgóry wykluczone przez nasz warunek D. Należy nadmienić, że w instrukcji wykonawczej ostatnich Międzynarodowych Zawodów Samolotów Turystycznych (Challenge 1932) figurował właśnie jeden ze wzorów Blenk'a, który zawierał również tę szybkość u_a i sprawił w związku z tem wiele kłopotów przy ustalaniu punktacji startu i lądowania. Racjonalny punkt widzenia został wysunięty dopiero we wrześniu 1933 r. przez Mathias'a (odsylacz 1 m), który w krótkim artykule sformułował poraż pierwszy wymaganie, podane wyżej pod C, i zaproponował wzór przeliczeniowy dla startu w postaci ²⁾:

$$s = s^* \left(1 + \frac{1}{2} \cdot \frac{v_w T^*}{s^*} \right)^2 \dots \dots (1)$$

gdzie v_w oznacza szybkość wiatru, s^* — zmierzoną długość rozbiegu, T^* — zmierzony czas rozbiegu przy szybkości wiatru v_w , wreszcie s — szukaną długość rozbiegu bez wiatru. Taki sam wzór proponuje on i dla przeliczania długości dobiegu przy lądowaniu.

Wzór Mathias'a spełnia nasze warunki A, C i D. Jak dalece odpowiada on warunkowi B, tego z przytoczone-

²⁾ Wzór podaję tu ściśle według oznaczeń oryginalnych; w dalszym ciągu stosowane są inne oznaczenia.

go artykułu stwierdzić się nie da, autor ograniczył się bowiem do przerechowania *jednego przykładu liczbowego*, przyczem otrzymał istotnie bardzo dobrą zgodność wyników; oczywiście nie gwarantuje to jeszcze takiej samej dokładności rezultatów *we wszystkich przypadkach*. Z drugiej strony Mathias przy wyprowadzaniu swego wzoru opiera się na szeregu prac poprzednich, czyniąc użytek z wielu niedostatecznie ugruntowanych przybliżeń, tak że ostatecznie zorientowanie się w całym tym materiale, a tembardziej oszacowanie błędów w końcowym wzorze, wymaga bardzo kłopotliwych poszukiwań i zestawiania poszczególnych prac, różniących się oznaczeniami i sposobem teoretycznego ujęcia. Z tego względu wydaje mi się użytecznym zrekonstruować w krótkości całą teorię, aż do wzoru Mathias'a włącznie i ocenić dokładność tego wzoru, a więc i stopień jego przydatności. Zajmiemy się najpierw startem, poczem badanie lądowania będzie wymagało już tylko niewielkich zmian.

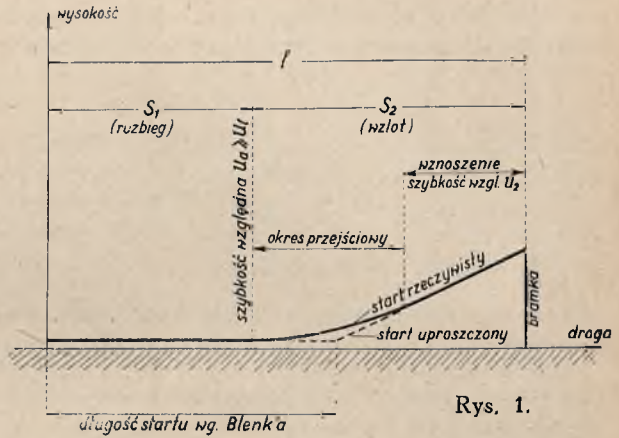
I. S T A R T.

Całkowity przebieg startu może być podzielony na trzy okresy (rys. 1). Pierwszy (*rozbieg*) polega na tem, że samolot toczy się po lotnisku ruchem przyspieszonym, aż do osiągnięcia takiej szybkości względem powietrza, przy której staje się możliwym i następuje oderwanie od ziemi. Ta szybkość musi być oczywiście conajmniej równa minimalnej szybkości lotu poziomego (szybkości lądowania) u_1 , wyrażającej się znanym wzorem:

$$u_1 = \sqrt{\frac{2 G g}{F \gamma c_{y1}}}$$

w którym G oznacza ciężar samolotu, F — powierzchnię nośną, γ — ciężar właściwy powietrza, g — przyspieszenie ziemskie, c — największą wartość współczynnika siły nośnej, odpowiadającą t. zw. „krytycznemu” kątowi natarcia. Rozbieg odbywa się z reguły przy kącie natarcia i_1 mniejszym od krytycznego, jeżeli tedy pilot chce możliwie najprędzej oderwać się od ziemi, to musi podciągnąć maszynę do krytycznego kąta natarcia akurat w momencie osiągnięcia względnej szybkości u_1 . Rozumie się, że szybkość względna u_a , przy której rzeczywiście następuje oderwanie, bywa często większa od u_1 — bądź wskutek niedoskonałości manewru, bądź w wyniku świadomej woli pilota.

W drugim *okresie przejściowym* (niem. „Anschweben”) samolot nie dotyka już ziemi i porusza się po pewnym łuku, stanowiącym przejście do *prostolinjowego wznoszenia*, które odbywa się w trzecim okresie startu. W próbie startu trzeci okres kończy się nad bramką. W tym trzecim okresie szybkość względna u_2 i kąt natarcia i_2 odpowiadają mniej lub więcej ściśle największemu kątowi wznoszenia. O ile szybkość u_2 jest większa od u_a , jak to najczęściej bywa, to w okresie drugim samolot musi jeszcze przyspieszać, co wymaga dość łagodnego więc długiego łuku; im u_a jest bliższe u_2 , tem łuk może być krótszy. Blenk (l. c.) proponował wo-



Rys. 1.

bec tego zastąpić w obliczeniu start rzeczywisty przez uproszczony (na rys. 1 linja przerywana), w którym okres pierwszy trwa aż do osiągnięcia szybkości u_2 , poczem odrazu rozpoczyna się okres trzeci. W związku z tem Blenk nazywa „długością startu” długość rozbiegu, aż do osiągnięcia szybkości względnej u_2 ; w przeciwieństwie do tego, Brissot oblicza długość startu, jako długość rozbiegu do osiągnięcia szybkości u_1 .

W artykule niniejszym nie będziemy wcale usiłowali rozstrzygać tych subtelnych wątpliwości, a tembardziej badać kwestji, jaki sposób startu jest najkorzystniejszy. W związku z jedynym naszym celem (uwzględnienie wpływu wiatru na całość próby startu), podzielimy całą długość startu l na dwie części: *długość rozbiegu* s_1 (od początku ruchu do oderwanej) oraz *długość wzlotu* s_2 (od miejsca oderwania do bramki). Oznaczać będziemy przytem przez u_a tę szybkość względną, przy której rzeczywiście następuje oderwanie od ziemi, niezależnie od tego, czy jest ona równa u_1 , czy u_2 , czy też ma jakąś wartość pośrednią. Główna trudność związana jest przytem z przeliczaniem długości rozbiegu s_1 , gdyż dla długości wzlotu s_2 rachunek, jak zobaczymy, jest bardzo prosty.

Rozpatrzmy przedewszystkiem zjawisko rozbiegu, zakładając odrazu, że odbywa się ono z wiatrem przeciwnym o stałej szybkości w . Oznaczmy przez v bezwzględną szybkość samolotu w dowolnej chwili t , w takim razie szybkość względem powietrza u wyrazi się wzorem:

$$u = v + w \dots \dots \dots (2)$$

Równanie ruchu samolotu w czasie rozbiegu będzie:

$$\frac{G}{g} \cdot \frac{dv}{dt} = S - c_{x1} F \frac{\gamma}{2g} u^2 - \mu \left(G - c_{y1} F \frac{\gamma}{2g} u^2 \right), \dots \dots (3)$$

przyczem S oznacza ciąg śmigła, c_{y1} i c_{x1} — współczynniki siły nośnej i oporu, odpowiadające kątowi natarcia i_1 , wreszcie μ — współczynnik tarcia, który uważamy za stały. Ciąg S nie może być w tem równaniu uważany za stały: maleje on w miarę wzrostu szybkości względ-

nej u i może być wyrażony dostatecznie ściśle w funkcji tej szybkości znanym wzorem Alayrac'a — Everling'a³⁾:

$$S = S_0 - \sigma \frac{\gamma}{2g} u^2, \dots (4)$$

gdzie S_0 oznacza ciąg śmigła w miejscu, a σ jest stałym współczynnikiem, posiadającym wymiar powierzchni; dogodniej jest wprowadzić na miejsce σ iloczyn powierzchni nośnej F przez odpowiednio dobrany stały współczynnik oderwany c_s , a więc przyjmując⁴⁾:

$$S = S_0 - c_s F \frac{\gamma}{2g} u^2. \dots (4a)$$

Współczynnik c_s zależy od charakterystyk śmigła i od stosunku powierzchni śmigła do powierzchni nośnej; wartość jego waha się najczęściej od 0,02 do 0,05.

Wstawiając (4a) do (3), otrzymamy następujący wzór na przyspieszenie w czasie rozbiegu:

$$\frac{dv}{dt} = \left(\frac{S_0}{G} - \mu \right) g - (c_s + c_{x1} - \mu c_{y1}) \frac{\gamma F}{2G} u^2. (5)$$

Autorowie francuscy (Brissot, Allard) przyjmują, że ciąg śmigła jest stały w czasie rozbiegu. W myśl takiego założenia, należałoby we wzorze (5) pominąć prosto c_s . Zmniejszyłoby to dokładność całego rachunku, nie dając wzajemnie żadnego istotnego uproszczenia. W rzeczy samej, powiększenie współczynnika oporu płatowca c_{x1} o dodatkowy stały wyraz c_s (który można traktować jako „współczynnik oporu śmigła, odniesiony do powierzchni nośnej płatowca“) w niczem nie komplikuje teorii.

We wzorze (5) pierwszy wyraz jest stały, t. zn. niezależny ani od szybkości, ani od kąta natarcia; drugi wyraz natomiast rośnie proporcjonalnie do u^2 , a ponadto zależy od kąta natarcia. Widoczne jest, że przyspieszenia przy danym u , jest tem większe, im mniejsze $(c_{x1} - \mu c_{y1})$. Aby więc rozbieg odbywał się w możliwie najkorzystniejszy sposób, powinien kąt natarcia i_1 spełniać warunek:

$$\frac{dc_x}{dc_y} = \mu,$$

t. zn. że współczynnik kątowy stycznej do biegunowej w odnośnym punkcie powinien być równy współczynnikowi tarcia. Ponieważ ten ostatni przyjmujemy za stały, więc kąt natarcia i_1 powinien w miarę możliwości pozostawać także w czasie rozbiegu niezmienny i to tem mniejszy, im teren jest gładniejszy. W dalszych rachunkach za-

³⁾ Alayrac, Etude sur le vol ascendant, La Technique Aéronautique X, 1914, str. 41. E. Everling, Der Aufstieg von Flugzeugen, ZFM 1916, str. 124.

⁴⁾ Tę nieco zmodyfikowaną postać wzoru Alayrac'a wprowadziłem w pracy „Metoda analityczna w mechanice lotu“, Sprawozd. IBTL, Nr. 8 (1932) i Nr. 12 (1933). Podałem tam również sposoby wyznaczania wielkości S_0 i c_s z charakterystyk silnika i śmigła. Blenk w cytowanym już artykule stosuje wzór (4), wielkości S_0 i σ wyznacza zgrubsza w sposób nasuwający wiele wątpliwości.

łożymy że kąt i_1 jest stały, nie przesądzając zresztą, czy spełnia on warunek najkorzystniejszego startu; tem samem i współczynniki c_{x1} , c_{y1} będziemy uważać za niezmiennie. Założenie to może niezupełnie ściśle odpowiadać rzeczywistemu przebiegowi startu, błąd popełniony przez to jest jednak znikomy. W rzeczy samej, za wyłączeniem krótkiej chwili początkowej, gdy płoza dotyka jeszcze ziemi, cały pozostały rozbieg odbywa się przy prawie stałym kącie natarcia, drobne zaś jego zmiany odgrywają zupełnie nieznaczny wpływ na wartość dwumianu $(c_{x1} - \mu c_{y1})$ w otoczeniu jego minimum.

Wzór (5) możemy jeszcze przedstawić w nieco dogodniejszej postaci, biorąc pod uwagę, że w chwili oderwania samolotu od ziemi, ciężar jego równa się sile nośnej:

$$G = c_{ya} F \frac{\gamma}{2g} u_a^2, \dots (6)$$

przyczem c_{ya} ($\ll c$) oznacza tę wartość współczynnika siły nośnej, jaka właśnie jest osiągana w chwili oderwania. Rugując przy pomocy (6) G w drugim wyrazie wzoru (5), znajdziemy:

$$\begin{aligned} \frac{dv}{dt} &= g \left(\frac{S_0}{G} - \mu \right) - g \frac{c_s + c_{x1} - \mu c_{y1}}{c_{ya}} \frac{u^2}{u_a^2} = \\ &= A \left(1 - \beta \frac{u^2}{u_a^2} \right), \dots (7) \end{aligned}$$

gdzie dla skrócenia wprowadzono oznaczenia:

$$A = g \left(\frac{S_0}{G} - \mu \right), \dots (8a)$$

$$\beta = \frac{c_s + c_{x1} - \mu c_{y1}}{c_{ya}} : \left(\frac{S_0}{G} - \mu \right) \dots (8b)$$

Zauważmy, że wzory dotychczasowe stosują się zarówno do startu pod wiatr, jak i bez wiatru, w ostatnim przypadku należy tylko w myśl (2) zastąpić u przez v .

Musimy teraz zastanowić się nad rolą stałych A i β , które decydują o przebiegu startu, i nad ich wartościami liczbowymi. Najważniejszy jest parametr A , oznaczający wielkość przyspieszenia przy $u = 0$ (t. j. w początkowej chwili, o ile niema wiatru). Jest on tem większy, im większy stosunek $S_0 : G$, t. j. im mocniejszy silnik w stosunku do ciężaru, i im mniejszy współczynnik tarcia. Stosunek $S_0 : G$ bywa bardzo różny, jednak najczęściej waha się od 0,2 do 0,4, wyjątkowo wzrosnąć może do 0,5, natomiast dla maszyn bardzo przeciążonych (np. przed lotem długodystansowym) spada bardzo znacznie, niekiedy do 0,1. Co do współczynnika tarcia, to materiał doświadczalny nie jest dotąd wystarczający, skąd pochodzą znaczne różnice u poszczególnych autorów. Blenk przyjmuje jako wartość typową 0,1, co niewątpliwie jest liczbą dość wygórowaną; Brissot podaje przesadnie małą wartość 0,03, która może być właściwa jedynie w wyjątkowo korzystnych warunkach przy gładkiej betonowej nawierzchni. Zdaje się, że w przeciętnych warunkach najlepiej przyjmować μ od 0,05 do 0,08. W związku z tem A waha się najczęściej w granicach

$$0,12 g < A < 0,35 g$$

i jedynie w razach silnego przeciążenia, które w zawodach sportowych nie wchodzi w rachubę, może spaść do kilku setnych przyspieszenia ziemskiego (oczywiście A musi być zawsze dodatnie, gdyż inaczej start wogóle nie mógłby się rozpocząć).

Drugi wyraz we wzorze (7), zawierający współczynnik β , przybiera w pierwszej fazie rozbiegu bardzo małe wartości, następnie jednak szybko wzrasta wraz z u i w chwili końcowej osiąga wartość βA ; całkowite przyspieszenie końcowe wynosi $(1-\beta)A$. W związku z tem możnaby nazwać β „współczynnikiem zmian przyspieszenia przy starcie”. O ile β jest dodatnie, to przyspieszenie maleje w czasie rozbiegu, w przeciwnym razie wzrasta. W każdym razie musi być $\beta < 1$, gdyż w przypadku przeciwnym samolot nigdy nie osiągnąłby prędkości względnej u_a , start zatem musiałby się skończyć niepowodzeniem. Niełatwo jest ustalić praktyczne granice tego współczynnika β , który zależy od większej ilości parametrów. Jest on zwykle dodatni, gdyż stosunek

$\frac{c_s + c_{x1}}{c_{y1}}$ jest najczęściej większy od μ ; jedynie w przypadku, gdy płatowiec ma szczególnie dobrą bieżunową, a jednocześnie współczynnik tarcia jest b. duży, możemy otrzymać dla β wartość ujemną, ale już chyba tylko wyjątkowo mniejszą od $(-0,2)$. Przeciwnie, przy małym współczynniku tarcia i gorszych własnościach aerodynamicznych płatowca, β może osiągać wartości dodatnie do $(+0,4)$, wyjątkowo tylko więcej⁵⁾. Najczęściej β jest małe dodatnie, np. 0,2 lub 0,1, a nieraz zdarzyć się może dokładnie $\beta = 0$ i wtedy rozbieg jest ruchem jednostajnie przyspieszonym (z przyspieszeniem A). Można też spotkać się z powierzchowną opinią, że rozbieg przy starcie powinien być zawsze uważany za jednostajnie przyspieszony⁶⁾. Przykłady nasze świadczą jednak, że w pewnych razach zmiany przyspieszenia dochodzić mogą do 40%. Możemy więc zanotować tylko orientacyjne granice:

$$-0,2 < \beta < 0,4.$$

Najczęściej niezgodne z rzeczywistością założenie, że $\beta = 0$, odgrywa w całej teorii startu tylko tę rolę, że nadzwyczajnie upraszcza wszystkie rachunki. Przy założeniu tem otrzymujemy mianowicie z (7) elementarne

⁵⁾ Niech będzie np. $c_{y1} = 0,5$, $c_{x1} = 0,05$, $c_s = 0,05$, $c_{ya} = 1$, $\mu = 0,04$, $S_0 : G = 0,24$; ze wzoru (8b) otrzymujemy wtedy $\beta = 0,4$. Założmy natomiast $c_{y1} = 0,9$, $c_{x1} = 0,066$, $c_s = 0,02$, $c_{ya} = 1$, $\mu = 0,1$, $S_0 : G = 0,24$, to znajdziemy $\beta = -0,2$. Dane w obu przykładach obrane są nieco tendencyjnie, ale pozostają w granicach zupełnie realnych.

⁶⁾ Por. np. „Ausschreibung zum Süddeutschland-Flug 1926”, gdzie czytamy: „Die Abnahme des Schraubenzuges und die Zunahme des Luftwiderstandes mit der Geschwindigkeit werden durch die Abnahme der Bodenreibung gerade ausgeglichen, so dass die Beschleunigung während des Starts konstant bleibt”.

wzory na szybkość v i drogę s w ruchu jednostajnie przyspieszonym (bezwzględny):

$$\begin{cases} v = At; & s = \frac{At^2}{2} = \frac{v^2}{2A}. \end{cases}$$

O ile start odbywa się pod wiatr, rozbieg kończy się, gdy szybkość v osiąga wartość $(u_a - w)$; o ile wiatru niema, to v musi osiągnąć wartość u_a . Oznaczając więc czas i długość rozbiegu pod wiatr przez t_1 i s_1 , a bez wiatru — odpowiednio \bar{t}_1 i \bar{s}_1 , otrzymamy:

$$t_1 = \frac{u_a - w}{A}, \dots \dots \dots (9)$$

$$\bar{t}_1 = \frac{u_a}{A}, \dots \dots \dots (9)$$

$$s_1 = \frac{(u_a - w)^2}{2A}, \dots \dots \dots (10)$$

$$\bar{s}_1 = \frac{u_a^2}{2A}, \dots \dots \dots (10)$$

W przypadku tym otrzymujemy też nadzwyczaj łatwo wzory przeliczeniowe, pozwalające ze zmierzonych przy próbie wielkości w , s_1 , t_1 wyznaczyć długość i czas rozbiegu bez wiatru \bar{s}_1 i \bar{t}_1 . Dzieląc mianowicie stronami równania (9,9), a następnie (10,10), znajdziemy przedewszystkiem:

$$\bar{t}_1 = t_1 \frac{u_a}{u_a - w}, \dots \dots \dots (11)$$

$$\bar{s}_1 = s_1 \left(\frac{u_a}{u_a - w} \right)^2, \dots \dots \dots (12)$$

Te wzory pozwalają doskonale ocenić wpływ wiatru na długość i czas rozbiegu, gdy znana jest szybkość u_a . Z łatwością można jednak wyrugować tę szybkość, dzieląc stronami równania (10) i (9); otrzymamy:

$$u_a - w = \frac{2s_1}{t_1}, \quad u_a = w + \frac{2s_1}{t_1},$$

a stąd:

$$\frac{u_a}{u_a - w} = 1 + \frac{w t_1}{2s_1} \dots \dots \dots (13)$$

Wstawiając wreszcie (13) do (11) i (12), znajdziemy:

$$\bar{t}_1 = t_1 \left(1 + \frac{w t_1}{2s_1} \right), \dots \dots \dots (14)$$

$$\bar{s}_1 = s_1 \left(1 + \frac{w t_1}{2s_1} \right)^2, \dots \dots \dots (15)$$

Wzory (11, 12) są równoważne wzorom, podanym w różnych odmianach przez Blenk'a, Förstner'a i Schrenk'a (odsył. 1 d, i, j). Natomiast wzory (14, 15) są identyczne z wzorami Mathias'a⁷⁾, które w ten sposób wprowadziliśmy metodą możliwie najelementarniejszą. Jednakże całe obliczenie oparte było na założeniu, że

⁷⁾ W szczególności najważniejszy dla nas wzór (15) jest identyczny z (1).

rozbieg jest jednostajnie przyspieszony ($\beta = 0$). Jedy- nie więc w tym przypadku wzory są istotnie zupełnie dokładne — przynajmniej w ramach teoretycznej moż- liwości. W rzeczywistości wszakże trzeba się liczyć z tem, że β może znacznie różnić się od zera, wobec tego wzory Mathias'a mogą wtedy stanowić tylko przy- bliżenie. Otóż chodzi nam właśnie o ocenę tego przy- bliżenia, a w tym celu musimy wrócić do dokładnego równania różniczkowego (7) i całkować je, nie pomi- ając już wyrazu ze współczynnikiem β . Pamiętając, że w myśl (2) szybkości u i v różnią się tylko o stałą w , możemy zastąpić różniczkę dv przez du , wobec czego równanie (7) może być przedstawione w postaci:

$$dt = \frac{du}{A \left(1 - \beta \frac{u^2}{u_a^2}\right)}, \quad \dots (16)$$

albo po pomnożeniu przez czynnik $v = \frac{ds}{dt} = u - w$:

$$ds = \frac{(u - w) du}{A \left(1 - \beta \frac{u^2}{u_a^2}\right)}, \quad \dots (17)$$

Całkując równanie z oddzielonemi zmiennemi (16) w granicach od $u = w$ do $u = u_a$ znajdziemy *czas rozbiegu pod wiatr* w jednej z dwóch postaci następu- jących (zależnie od znaku β):

$$t_1 = \frac{u_a}{2A\sqrt{\beta}} \left(\ln \frac{1 + \sqrt{\beta}}{1 - \sqrt{\beta}} - \ln \frac{1 + \sqrt{\beta} \cdot \frac{w}{u_a}}{1 - \sqrt{\beta} \cdot \frac{w}{u_a}} \right) \quad [\beta > 0] \quad \dots (18a)$$

lub

$$t_1 = \frac{u_a}{A\sqrt{-\beta}} \left(\text{arctg} \sqrt{-\beta} - \text{arctg} \frac{w}{u_a} \sqrt{-\beta} \right) \quad [\beta < 0] \quad \dots (18b)$$

W szczególności *czas rozbiegu bez wiatru* otrzyma- my, kładąc $w = 0$:

$$\bar{t}_1 = \frac{u_a}{2A\sqrt{\beta}} \ln \frac{1 + \sqrt{\beta}}{1 - \sqrt{\beta}} \quad [\beta > 0] \quad (18a)$$

albo

$$\bar{t}_1 = \frac{u_a}{A\sqrt{-\beta}} \text{arctg} \sqrt{-\beta} \quad [\beta < 0] \quad (18b)$$

Zupełnie podobnie, całkując w tych samych grani- cach równanie z oddzielonemi zmiennemi (17) i zwa- żywszy, że drugi wyraz jego prawej strony tylko stałym czynnikiem w różni się od prawej strony (16), znajdziemy *długość rozbiegu pod wiatr* w postaci niezależnej od znaku β :

$$s_1 = \frac{u_a^2}{2A\beta} \ln \frac{1 - \beta \frac{w^2}{u_a^2}}{1 - \beta} - w t_1, \quad (19)$$

przyczem t_1 należy wziąć z (18a) lub (18b).

W szczególności *długość rozbiegu bez wiatru* otrzy- mamy, kładąc $w = 0$:

$$\bar{s}_1 = \frac{u_a^2}{2A\beta} \ln \frac{1}{1 - \beta} \quad \dots (19)$$

Gdybyśmy teraz chcieli, opierając się na tych do- kładnych równaniach, wyprowadzić z nich wzory prze- liczeniowe analogiczne do (14) i (15), to — nie mówiąc już o trudnościach rachunkowych — spotkalibyśmy się z poważną przeszkodą zasadniczą. Gdyby chodziło np. o wzór przeliczeniowy dla długości rozbiegu, analogicz- ny do (15), to powinien on dawać związek między wiel- kościami \bar{s}_1 , s_1 , t_1 i w , przyczem — zgodnie z naszymi wymaganiami — muszą być wyrugowane wielkości A , β i u_a , których sam pomiar startu nie daje. Dysponu- jemy jednak do tego tylko trzema równaniami, miano- wicie (19), (19) i jednym z równań (18a) lub (18b). Otóż z trzech równań nie da się wyrugować trzech niewiado- mych, tylko najwyżej dwie. Podobną trudność napotka- libyśmy przy usiłowaniu dokładnego przeliczenia cza- su rozbiegu. Widać stąd, że o zupełnie dokładnych wzorach przeliczeniowych mowy być nie może. Trud- ność możemy obejść jedynie, stosując mniej lub więcej szczęśliwe przybliżenia.

Ponieważ β jest zawsze znacznie mniejsze od je- dności (a to samo da się oczywiście powiedzieć o stosunku $\frac{w}{u_a}$), więc można wszystkie nasze dokładne wzory roz- wiązać w zbieżne szeregi według potęg β i następnie odrzucić wszystkie wyrazy z potęgami β wyższymi od pierwszej. Otrzymamy najpierw zarówno z (18a) jak (18b) *przybliżony czas rozbiegu pod wiatr*:

$$t_1 = \frac{u_a - w}{A} \left[1 + \frac{\beta}{3} \left(1 + \frac{w}{u_a} + \frac{w^2}{u_a^2} \right) \right], \quad \dots (20)$$

skąd, przy $w = 0$, *przybliżony czas rozbiegu bez wiatru*:

$$\bar{t}_1 = \frac{u_a}{A} \left(1 + \frac{\beta}{3} \right). \quad \dots (20)$$

Podobnie, rozwijając (19) według potęg β i uwzględ- niając (20), znajdziemy po uproszczeniu *przybliżoną długość rozbiegu pod wiatr*:

$$s_1 = \frac{(u_a - w)^2}{2A} \left[1 + \frac{\beta}{2} \left(1 + \frac{2w}{3u_a} + \frac{w^2}{3u_a^2} \right) \right], \quad (21)$$

skąd wreszcie, przy $w = 0$, *przybliżoną długość roz- biegu bez wiatru*:

$$\bar{s}_1 = \frac{u_a^2}{2A} \left(1 + \frac{\beta}{2} \right). \quad \dots (21)$$

Przyjmując w czterech ostatnich wzorach $\beta = 0$, wracamy oczywiście do wzorów (9, 9, 10, 10), odnoszą- cych się do rozbiegu jednostajnie przyspieszonego. Wy- razy poprawkowe ze współczynnikiem β wskazują wy- raźnie, jakie błędy popełniamy, stosując to poprzednie najgrubsze przybliżenie. Tak np. w przypadku skrajnej wartości $\beta = 0,4$, poprawka dla długości rozbiegu bez wiatru wynosi ok. 20%, dla czasu rozbiegu bez wiatru — ok. 13%; w przypadku startu pod wiatr poprawki będą

jeszcze większe (zależnie od szybkości wiatru). Należy zaznaczyć, że poprawki te nie są jeszcze zupełnie dokładne, pominieliśmy bowiem wyrazy z drugimi i wyższymi potęgami β . Rachunek dokładniejszy, którego tu nie podaję z powodu jego zawiłości, przekonywa jednak, że te dalsze poprawki są praktycznie bez znaczenia. Dla oszacowania rzędu wielkości popełnianych błędów, rachunek nasz jest zupełnie wystarczający.

Możemy więc dalej poszukiwać wzorów przeliczeniowych, pozostając na tym samym stopniu dokładności. Uogólnimy przedewszystkiem wzór pomocniczy (13); dzieląc stronami równości (21) i (20), znajdziemy z zachowaniem tylko pierwszych potęg β :

$$u_a - w = \frac{2s_1}{t_1} \left[1 - \frac{\beta}{6} \left(1 - \frac{w^2}{u_a^2} \right) \right],$$

$$u_a = w + \frac{2s_1}{t_1} \left[1 - \frac{\beta}{6} \left(1 - \frac{w^2}{u_a^2} \right) \right],$$

a stąd

$$\frac{u_a}{u_a - w} = 1 + \frac{w t_1}{2s_1} \left[1 + \frac{\beta}{6} \left(1 - \frac{w^2}{u_a^2} \right) \right]. \quad (22)$$

Dzieląc teraz stronami równania (20) i (20), a następnie (21) i (21), wciąż z tem samym przybliżeniem, otrzymamy:

$$\bar{t}_1 = t_1 \frac{u_a}{u_a - w} \left[1 - \frac{\beta}{3} \left(\frac{w}{u_a} + \frac{w^2}{u_a^2} \right) \right],$$

$$\bar{s}_1 = s_1 \left(\frac{u_a}{u_a - w} \right)^2 \left[1 - \frac{\beta}{6} \left(2 \frac{w}{u_a} + \frac{w^2}{u_a^2} \right) \right],$$

skąd po uwzględnieniu (22):

$$\bar{t}_1 = t_1 \left\{ 1 + \frac{w t_1}{2s_1} \left[1 + \frac{\beta}{6} \left(1 - \frac{w^2}{u_a^2} \right) \right] \cdot \left[1 - \frac{\beta}{3} \left(\frac{w}{u_a} + \frac{w^2}{u_a^2} \right) \right] \right\},$$

$$\bar{s}_1 = s_1 \left\{ 1 + \frac{w t_1}{2s_1} \left[1 + \frac{\beta}{6} \left(1 - \frac{w^2}{u_a^2} \right) \right] \cdot \left[1 - \frac{\beta}{6} \left(2 \frac{w}{u_a} + \frac{w^2}{u_a^2} \right) \right] \right\},$$

albo inaczej:

$$\bar{t}_1 = t_1 \left(1 + \frac{w t_1}{2s_1} \right) \cdot \left(1 + \frac{\beta}{6} \cdot \frac{w t_1}{2s_1} \cdot \frac{1 - \frac{w^2}{u_a^2}}{1 + \frac{w t_1}{2s_1}} \right)$$

$$\cdot \left[1 - \frac{\beta}{3} \left(\frac{w}{u_a} + \frac{w^2}{u_a^2} \right) \right],$$

$$\bar{s}_1 = s_1 \left(1 + \frac{w t_1}{2s_1} \right)^2 \cdot \left(1 + \frac{\beta}{6} \cdot \frac{w t_1}{2s_1} \cdot \frac{1 - \frac{w^2}{u_a^2}}{1 + \frac{w t_1}{2s_1}} \right)$$

$$\cdot \left[1 - \frac{\beta}{6} \left(2 \frac{w}{u_a} + \frac{w^2}{u_a^2} \right) \right].$$

Zastępując jeszcze w drugich nawiasach obu ostat-

nich równości — w myśl (22) — wyrażenie $\frac{w t_1}{2s_1}$ przez $\left(\frac{u_a}{u_a - w} - 1 \right)$, co jest dozwolone, gdyż wyrazy z β^2 pomijamy, otrzymamy wreszcie po łatwym uproszczeniu wzory przeliczeniowe dla czasu i długości rozbiegu z wyrazami poprawkowemi:

$$\bar{t}_1 = t_1 \left(1 + \frac{w t_1}{2s_1} \right) \left[1 - \frac{\beta}{6} \cdot \frac{w}{u_a} \left(1 + \frac{w}{u_a} \right)^2 \right], \quad (23)$$

$$\bar{s}_1 = s_1 \left(1 + \frac{w t_1}{2s_1} \right)^2 \left[1 - \frac{\beta}{6} \cdot \frac{w^2}{u_a^2} \left(1 + 2 \frac{w}{u_a} \right) \right]. \quad (24)$$

Tych nowo otrzymanych wzorów, znacznie dokładniejszych od wzorów Mathias'a (14, 15), nie proponujemy wcale do praktycznego użytku; dyskwalifikuje je do tego już obecność czynnika β , który przecież w praktyce nie będzie znany. Wzory (23) i (24) pozwalają zatem z łatwością oszacować błędy, jakie można popełnić, stosując wzory Mathias'a; błędy te odpowiadają wyrazom poprawkowym z czynnikiem β . Otóż uderzające jest, że te wyrazy poprawkowe są zbiegiem okoliczności stosunkowo bardzo małe, znacznie mniejsze, niż w (20) i (21), szczególnie zaś znikome przy niewielkich szybkościach wiatru. Aby oszacować największe możliwe poprawki, przyjmijmy, że szybkość wiatru w wynosi aż połowę szybkości u_a , a parametr β osiąga znowu wygórowaną wartość 0,4. Nawet wtedy poprawka we wzorze (23) wyniesie nie więcej jak 7,5%, a w najważniejszym dla nas wzorze (24) — nie więcej jak 3,3%. W ogromnej większości przypadków wzór Mathias'a dla przeliczania długości rozbiegu powoduje błędy znacznie mniejsze, nie wynoszące nawet jednego procentu. Błędy takie nie odgrywają żadnej roli praktycznej, wzór więc można uważać za wystarczająco dokładny dla startu.

Przykład liczbowy. Przyjmijmy $u = 25$ m/sek, $A = 2$ m/sek², $\beta = 0,36$. W takim razie z (18a) i z (19) znajdziemy dokładnie czas i długość rozbiegu bez wiatru:

$$\bar{t}_1 = 14,44 \text{ sek.} \quad \bar{s}_1 = 193,7 \text{ m.}$$

Wyznamy następnie czasy i długości rozbiegu przy kilku różnych szybkościach wiatru z dokładnych wzorów (18a) i (19), poczem przeliczymy je z powrotem na bezwietrzną pogodę, korzystając najpierw ze wzorów Mathias'a (14, 15), następnie z wzorów dokładniejszych (23, 24). Wyniki zestawione są w następującej tabelce:

w m/sek.	t ₁ sek. wg. (18a)	s ₁ ^v m. wg. (19)	t ₁ przeliczone		s ₁ przeliczone	
			wg. wzoru Mathias'a (14)	wg. (23)	wg. wzoru Mathias'a (15)	wg. (24)
2,5	13,19	159,2	14,56	14,45	193,9	193,7
5,0	11,93	127,8	14,71	14,46	194,4	193,7
7,5	10,65	99,5	14,92	14,47	195,4	193,7
10,0	9,34	74,6	15,19	14,47	197,2	193,8
12,5	7,99	52,9	15,53	14,48	199,9	193,9
15,0	6,59	34,6	16,00	14,53	204,1	194,4

Jak widać, przeliczenie według wzorów (23, 24) jest nadzwyczajnie dokładne, według wzorów Mathias'a — znacznie gorsze, jednak zupełnie wystarczające w praktyce. Jeszcze przy szybkości wiatru 7,5 m/sek. błąd na długości rozbiegu wynosi niecałe 2 metry; dopiero przy większych szybkościach wiatru błędy silnie wzrastają. Jeżeli jeszcze zważyć, że wzięliśmy tu stosunkowo znaczną wartość β , to widać, jak znikoma jest możliwość poważniejszych odchyłań.

Z kolei musimy zająć się przeliczaniem długości wzlotu s_2 (rys. 1), przy czym czas trwania tego okresu oznaczmy przez t_2 . Przeliczenie nie nastęrcza żadnych trudności: ruch samolotu względem powietrza nie różni się tu niczem w przypadku startu pod wiatr lub bez wiatru, więc przy danej wysokości bramki, czas t_2 nie zależy zupełnie od wiatru. Natomiast dystans s_2 zmienia się z wiatrem, gdyż w ruchu bezwzględnym składowa pozioma szybkości jest przy starcie pod wiatr o w mniejsza, niż w przypadku startu bez wiatru; można uważać poprostu, że wiatr w czasie wzlotu „znosi” samolot wstecz o w m/sek. W ciągu czasu t_2 zmniejszenie drogi przebytej wynosi wt_2 , jeżeli więc długość wzlotu bez wiatru oznaczmy przez s_2 , to otrzymamy odrazu:

$$\bar{s}_2 = s_2 + wt_2. \quad (25)$$

Weźmy teraz pod uwagę całkowitą długość startu pod wiatr (rys. 1):

$$l = s_1 + s_2 \quad (26)$$

i odpowiednio całkowitą długość startu bez wiatru:

$$\bar{l} = \bar{s}_1 + \bar{s}_2. \quad (27)$$

Dodając stronami równania (15) i (25) z uwzględnieniem (27), otrzymamy ostateczny wzór dla przeliczania całkowitej długości startu:

$$\bar{l} = s_1 \left(1 + \frac{wt_1}{2s_1} \right)^2 + s_2 + wt_2. \quad (28)$$

Aby móc korzystać z tego wzoru, należy zmierzyć w czasie próby szybkość wiatru w , długości s_1 , s_2 i czasu t_1 , t_2 .

Wzór (28) można jeszcze przepisać w postaci następującej:

$$\bar{l} = (s_1 + s_2) + w(t_1 + t_2) + \frac{w^2 t_1^2}{4s_1},$$

albo po uwzględnieniu (26) i wprowadzając całkowity czas startu $T = t_1 + t_2$:

$$\bar{l} = l + wT + \frac{w^2 t_1^2}{4s_1}. \quad (28a)$$

Gdyby szybkość wiatru była nieznaczna, to ostatni wyraz we wzorze (28a) byłby bardzo mały i możnaby go od biedy pomijać. Otrzymalibyśmy wtedy wzór nadzwyczaj prosty:

$$\bar{l} \cong l + wT, \quad (29)$$

który nie wymagałby mierzenia cząstkowych dróg s_1 , s_2

i czasów t_1 , t_2 , a tylko całkowitej długości startu l i całkowitego czasu T , co oczywiście byłoby bez porównania łatwiejsze. Jednakże tego *prymitywnego wzoru (29) zalecać nie należy*, gdyż błąd popełniony przez odrzucenie trzeciego wyrazu może być już przy średnich szybkościach wiatru bardzo pokaźny. Tak np., biorąc za podstawę dane z wyżej umieszczonej tabelki, stwierdzimy, że przy szybkościach wiatru:

2,5 5,0 7,5 10,0 12,5 15,0 m/sek.

wyraz ten wynosi odpowiednio:

1,7 7,0 16,0 29,2 47,1 70,6 m,

a więc przybiera ogromne wartości i do pomijania bynajmniej się nie nadaje.

Ten trzeci wyraz wzoru (28a) jest nieco kłopotliwy, gdyż — bądź co bądź — dokładne zmierzenie dystansu s_1 i czasu t_1 nie jest łatwe, a w każdym razie znacznie trudniejsze, niż pomiar wielkości l i T ; trudno jest mianowicie uchwycić ściśle moment oderwania samolotu od ziemi. W związku z tem, wysuwano u nas ostatnio propozycję zastąpienia tego wyrazu przez jakiś inny przybliżony. Nasuwa się tu myśl następująca: gdy parametr β jest mały, to rozbieg jest w przybliżeniu jednostajnie przyspieszony z przyspieszeniem A , można więc w przybliżeniu napisać:

$$s_1 \cong \frac{At_1^2}{2},$$

a wobec tego wzór (28a) przybrałby postać:

$$\bar{l} \cong l + wT + \frac{w^2}{2A}.$$

W przykładzie naszym uproszczony trzeci wyraz przybierałby — przy założonych wyżej szybkościach wiatru — odpowiednio wartości:

1,6 6,3 14,1 25,0 39,1 56,0 m.

Widzimy, że błędy byłyby jednak spore — szczególnie przy większych szybkościach wiatru. Wprawdzie w omawianym przykładzie β miało znaczną wartość; przy β blizkiem zera przybliżenie byłoby bardzo dobre. Jednakże w uproszczonym trzecim wyrazie figuruje wielkość A (wzór 8a), która bez dodatkowych pomiarów nie jest znana, a która bywa *niewątpliwie niejednakowa dla różnych samolotów*. Wobec tego cała próba uproszczenia upada, i zmuszeni jesteśmy zatrzymać się na wzorze (28) wzgl. (28a), a więc mierzyć z konieczności s_1 i t_1 . Nie należy przytem obawiać się grubych niedokładności z powodu nieściśłego uchwycenia momentu oderwania, byleby tylko mierzyć *odpowiadające sobie wartości* s_1 i t_1 . Rozbieg bowiem o tyle mało różni się od ruchu jednostajnie przyspieszonego, że stosunek drogi do kwadratu czasu w ciągu krótkiej chwili, jaka może tu wzbudzać wątpliwość, bardzo mało tylko może się zmienić, a właśnie tylko ten stosunek figuruje w trzecim wyrazie wzoru (28a).

II. LĄDOWANIE.

Zasadniczy bieg rozumowania pozostaje przy lądowaniu taki sam, jak przy starcie. Wobec tego Mathias

bez żadnej dyskusji proponuje te same wzory przeliczeniowe, co dla startu. Zobaczymy jednak, że właśnie przy lądowaniu wzory wzbudzają więcej wątpliwości.

Całą długość lądowania podzielimy znów na dwie części: *długość opadania* s_3 (od bramki do pierwszego zetknięcia z ziemią) oraz *długość dobiegu* s_4 (od zetknięcia do końca ruchu). Odnośne czasy, zmierzone przy próbie, oznaczymy przez t_3 i t_4 , szybkość względną w chwili zetknięcia przez u'_a . Dla długości opadania otrzymamy oczywiście wzór przeliczeniowy zupełnie analogiczny do (25):

$$\bar{s}_3 = s_3 + w t_3. \quad (30)$$

Dobieg nasuwa znowu nieco trudności. Przede wszystkim po pierwszym uderzeniu (szczególniej po strzemi opadaniu) w związku z działaniem amortyzatorów reakcja pionowa, wywierana przez grunt na samolot, waha się początkowo w szerokich granicach; chwilami przekracza ona znacznie nadwyżkę ciężaru nad siłą nośną, w innych momentach jest od niej mniejsza, a nawet spada do zera, co powoduje podskoki. Wynika stąd bardzo nieregularny przebieg zmian siły tarcia, który może być jeszcze bardziej zakłócony przez nierównomierne działanie hamulców, o ile dany samolot jest w nie zaopatrzone. Rozumie się, że tych wszystkich czynników nie można i zresztą niema potrzeby brać pod uwagę; doprowadziłoby to do niezmiernie zawilej teorii i zmusiło do uwzględnienia indywidualnych cech konstrukcyjnych każdego poszczególnego aparatu. Musimy przyjąć, że siła tarcia wyraża się tak samo, jak w równaniu (3), tylko współczynnik tarcia μ może przybierać teraz bez porównania większe wartości. Wynika to już stąd, że przy lądowaniu na trzy punkty część reakcji pionowej przypada na płożę, która podlega tarcia poślizgowemu, a nie tarcia toczenia; ponadto, jeśli samolot posiada hamulec na koła, to tarcie kół o ziemię wzrasta także znacznie, dochodząc nieraz aż do wartości tarcia poślizgowego. W związku z tem ogólny współczynnik tarcia może wahać się mniejwięcej od 0,05 do 0,3, a niekiedy i wyżej.

W równaniu ruchu zajdzie poza tem zmiana, spowodowana zatrzymaniem silnika; wypadnie więc w równaniu (7) pominąć wyraz S_0 , natomiast wyraz ze współczynnikiem c_s („opór śmigła”) lepiej zachować nie przesadzając zresztą, czy współczynnik ten ma wartość liczbową tę samą, co przy starcie. Biorąc jeszcze pod uwagę, że dobieg odbywa się przy innym kącie natarcia i_4 (z reguły większym od i_1) i oznaczając odnośne współczynniki aerodynamiczne przez c_{y4} i c_{x4} , otrzymamy — zamiast (7) — równanie ruchu następujące:

$$\frac{dv}{dt} = -\mu g - g \frac{c_s + c_{x4} - \mu c_{y4}}{c'_{ya}} \cdot \frac{u^2}{u'^2_a} = -A' \left(1 + \beta' \frac{u^2}{u'^2_a} \right) \dots (31)$$

gdzie znowu dla skrócenia wprowadzono oznaczenia:

$$A' = \mu g, \dots (32a)$$

$$\beta' = \frac{c_s + c_{x4} - \mu c_{y4}}{\mu c'_{ya}} \dots (32b)$$

Parametr A' oznacza teraz wartość opóźnienia przy $u = 0$ (t. j. w końcowej chwili, o ile niema wiatru); może on przybierać bardzo różne wartości, mniejwięcej od 0,05 g do 0,3 g, a nawet więcej. Parametr β' jest znówu „spółczynnikiem zmian opóźnienia przy dobiegu”. Pożądane jest, aby był on dodatni i (przy danem μ) możliwie największy, gdyż wtedy opóźnienie początkowe $A' (1 + \beta')$ jest stosunkowo wielkie. Z tego względu korzystne jest, aby samolot, opierając się o płożę, posiadał jaknajwiększy kąt natarcia — w miarę możności większy od krytycznego, gdyż wtedy w (32b) wyraz c_{x4} może być duży i nieraz znacznie większy od μc_{y4} . Otóż ważne jest, że w przypadku, gdy c_{x4} jest wielkie a jednocześnie współczynnik tarcia μ mały, współczynnik β' może przybierać bardzo duże wartości, o wiele większe od jedności, a dochodzące niekiedy do (+ 4). Na odwrót, gdy współczynnik tarcia jest wielki a kąt natarcia w czasie dobiegu stosunkowo mały (co może mieć miejsce szczególnie przy lądowaniu na koła z zastosowaniem hamulców, a zresztą także przy lądowaniu na 3 punkty, o ile podwozie jest niskie), to współczynnik β' może stać się ujemny, oczywiście nie dochodząc nigdy do (- 1); jako dolną granicę, przyjąć tu można mniejwięcej (- 0,4). Najczęściej współczynnik β' waha się w węższych granicach, niekiedy też może on być bliski zera. W dyskusji ogólnej należy jednak liczyć się i ze skrajnemi wartościami⁸⁾.

Całkowanie równania (29) wykonać można zupełnie podobnie, jak to miało miejsce dla startu, pamiętając tylko, że u zmienia się teraz od u'_a do w . Dokładne rozwiązania są następujące:

Czas dobiegu pod wiatr wyraża się w jednej z dwóch postaci (zależnie od znaku β'):

$$t_4 = \frac{u'_a}{2 A' \sqrt{-\beta'}} \left(\ln \frac{1 + \sqrt{-\beta'}}{1 - \sqrt{-\beta'}} - \ln \frac{1 + \sqrt{-\beta'} \cdot \frac{w}{u'_a}}{1 - \sqrt{-\beta'} \cdot \frac{w}{u'_a}} \right) \quad [\beta' < 0] \quad (33a)$$

$$t_4 = \frac{u'_a}{A' \sqrt{\beta'}} \left(\arctg \sqrt{\beta'} - \arctg \sqrt{\beta'} \cdot \frac{w}{u'_a} \right) \quad [\beta' > 0] \quad (33b)$$

Czas dobiegu bez wiatru:

$$\bar{t}_4 = \frac{u'_a}{2 A' \sqrt{-\beta'}} \ln \frac{1 + \sqrt{-\beta'}}{1 - \sqrt{-\beta'}} \quad [\beta' < 0] \quad (33a)$$

$$\bar{t}_4 = \frac{u'_a}{A' \sqrt{\beta'}} \arctg \sqrt{\beta'} \quad [\beta' > 0] \quad (33b)$$

⁸⁾ Niech będzie np. $c_{y4} = 1,2$, $c_{x4} = 0,28$, $c_s = 0,04$, $c'_{ya} = 1,3$, $\mu = 0,05$; z (32b) otrzymamy wtedy $\beta = 4$. Założmy natomiast $c_{y4} = 1,3$, $c_{x4} = 0,2$, $c_s = 0,03$, $c'_{ya} = 1,3$, $\mu = 0,3$, to znajdziemy $\beta' = - 0,41$.

Długość dobiegu pod wiatr:

$$s_4 = \frac{u'_a{}^2}{2A'\beta'} \ln \frac{1 + \beta'}{1 + \beta' \frac{w^2}{u'_a{}^2}} - w t_4 \quad (34)$$

Długość dobiegu bez wiatru:

$$\bar{s}_4 = \frac{u'_a{}^2}{2A'\beta'} \ln (1 + \beta'). \quad (34)$$

W przypadku, gdy współczynnik β' jest mniejszy od jedności, wzory powyższe można znowu rozwinąć w szeregi według potęg β' , poczem, zachowując tylko pierwsze potęgi β' , otrzymujemy wzory przybliżone zupełnie analogicznie do (20, 21):

$$t_4' = \frac{u'_a - w}{A'} \left[1 - \frac{\beta'}{3} \left(1 + \frac{w}{u'_a} + \frac{w^2}{u'_a{}^2} \right) \right] \dots (35)$$

$$\bar{t}_4 = \frac{u'_a}{A'} \left(1 - \frac{\beta'}{3} \right) \dots (35)$$

$$s_4 = \frac{(u'_a - w)^2}{2A'} \left[1 - \frac{\beta'}{2} \left(1 + \frac{2w}{3u'_a} + \frac{w^2}{3u'_a{}^2} \right) \right] (36)$$

$$\bar{s}_4 = \frac{u'_a{}^2}{2A'} \left(1 - \frac{\beta'}{2} \right) \dots (36)$$

Zupełnie też podobnie znajdujemy wzory przeliczeniowe, analogiczne do (23, 24):

$$\bar{t}_4 = t_4 \left(1 + \frac{w t_4}{2s_4} \right) \left[1 + \frac{\beta'}{6} \cdot \frac{w}{u'_a} \left(1 + \frac{w}{u'_a} \right)^2 \right], \dots (37)$$

$$\bar{s}_4 = s_4 \left(1 + \frac{w t_4}{2s_4} \right)^2 \left[1 + \frac{\beta'}{6} \cdot \frac{w^2}{u'_a{}^2} \left(1 + 2 \frac{w}{u'_a} \right) \right], \quad (38)$$

albo — pomijając niewielkie wyrazy z czynnikiem β' — uproszczone wzory przeliczeniowe, identyczne z wzorami Mathias'a (14, 15):

$$\bar{t}_4 = t_4 \left(1 + \frac{w t_4}{2s_4} \right) \dots (39)$$

$$\bar{s}_4 = s_4 \left(1 + \frac{w t_4}{2s_4} \right)^2 \dots (40)$$

O ile rzeczywiście β' jest dostatecznie małe, to dyskusja analogiczna jak przy starcie przekonywa, że wzory Mathias'a są wystarczająco dokładne i dla dobiegu. Jednakże widzieliśmy, że β' może przybierać wartości bardzo znaczne; otóż w takich razach wzory uproszczone (35, 36) tracą wszelki sens — do tego stopnia, że np. przy $\beta' > 2$ otrzymujemy z nich ujemne długości dobiegu! Wobec tego niema już podstaw do tego, aby polegać także na wzorach (37, 38), a tembardziej na wzorach Mathias'a. Ponieważ bezpośrednie wyrugowanie A' , β' i u'_a z dokładnych równań nie jest możliwe, więc pozostaje tylko sprawdzić na przykładach, czy jednak wzory Mathias'a nie będą i w tym przypadku dostatecznie dokładne.

Przykład liczbowy. Przyjmiemy $u'_a = 20$ m/sek, $A' = 0,5$ m/sek², $\beta' = 4$. Z (33b) i (34) znajdziemy dokładnie czas i długość dobiegu bez wiatru:

$$\bar{t}_4 = 22,14 \text{ sek}, \quad \bar{s}_4 = 160,9 \text{ m}.$$

Wyznamy następnie czasy i długości dobiegu przy kilku różnych szybkościach wiatru z dokładnych wzorów (33b) i (34), poczem przeliczymy je z powrotem na bezwietrzną pogodę, korzystając ze wzorów Mathias'a (39, 40). Wyniki zestawione są w następującej tabelce:

w m/sek	t ₄ sek (33b)	s ₄ m (34)	Przeliczone ze wzorów Mathias'a	
			\bar{t}_4 (39)	\bar{s}_4 (40)
2,5	17,24	111,8	20,57	159,0
5,0	12,87	74,3	18,45	152,6
7,5	9,27	46,8	16,17	142,2
10,0	6,44	27,3	14,02	129,6
12,5	4,22	14,1	12,14	116,3
15,0	2,49	5,8	10,51	103,3

Jak było do przewidzenia, błędy możnaby tolerować jedynie przy b. małych szybkościach wiatru. Przy średnim i silnym wietrze otrzymujemy ogromne błędy, wynoszące dla długości dobiegu dziesiątki metrów. W przykładzie uwzględniono bardzo mały współczynnik tarcia (samolot bez hamulców o długim dobiegu). Dla takich samolotów byłoby więc korzystniej lądować przy silnym wietrze w razie zastosowania wzoru Mathias'a.

W praktyce okoliczność ta nie powinna odegrać większej roli, gdyż w większości przypadków samoloty, biorące udział w zawodach, będą zaopatrzone w hamulce, współczynnik tarcia będzie dla nich duży (długości dobiegu odpowiednio krótkie), a współczynnik β' — odpowiednio mały. Wtedy zaś wzory Mathias'a będą dostatecznie dokładne również i dla lądowania. Zresztą, jak widać z całej powyższej teorii, przerachowanie dokładniejsze niż przy pomocy wzorów Mathias'a nie jest wogóle możliwe, chyba że byłaby mierzona przynajmniej jedna z wielkości A' , β' lub u'_a , co zasadniczo przecież powinno być wyłączone.

Ostatecznie nie pozostaje nic innego, jak przeliczać poszczególne odcinki według (30) i (40), albo całą długość l' analogicznie do (28) według wzoru:

$$\bar{l}' = s_3 + w t_3 + s_4 \left(1 + \frac{w t_4}{2s_4} \right)^2, \quad (41)$$

albo — analogicznie do (28a):

$$\bar{l}' = l' + w T' + \frac{w^2 t_4^2}{4s_4} \dots (41a)$$

Pomijanie trzeciego wyrazu w (41a) nie może być tolerowane nawet przy krótkich dobiegach, gdyż wyraz ten już przy średnich szybkościach wiatru może wynosić dziesiątki metrów.

REDAKTOR: mjr. obs. inż. CZAPLICKI WACŁAW.

KOMITET REDAKCYJNY „WIADOMOŚCI TECHNICZNYCH LOTNICTWA“:

Płk. K. K. inż. ABCZYŃSKI HENRYK, Mjr. pil. inż. BRZAZGACZ ALEKSANDER, Ppłk. obs. inż. FILIPOWICZ CZESŁAW, Prof. HUBER MAKSYMILJAN, inż. KAPIŃSKI ADAM, Płk. pil. inż. KAPIŃSKI TYTUS, Inż. ROSINKIEWICZ ROMAN, Prof. WITOSZYŃSKI CZESŁAW.